

مراقبة وتحليل التغيرات البيئية للبحر الميت باستخدام نظم المعلومات الجغرافية
وتطبيقات الاستشعار عن بعد

إعداد

هيفاء أحمد محمد المحمد

المشرف

الدكتور حسام هشام البليسي

المشرف المشارك

الأستاذ الدكتور حسن يوسف أبو سمور

قدمت هذه الدراسة استكمالاً لمتطلبات الحصول على درجة الماجستير في

الجغرافيا

كلية الدراسات العليا

الجامعة الأردنية

آب، 2011

ب

قرار لجنة المناقشة

نوقشت هذه الرسالة/ (مراقبة وتحليل التغيرات البيئية للبحر الميت باستخدام نظم المعلومات الجغرافية وتطبيقات الاستشعار عن بعد، واجيزت بتاريخ 9-8-2011 .

أعضاء لجنة المناقشةالتوقيع

الدكتور حسام هشام البليسي ، مشرفاً

أستاذ مساعد – الاستشعار عن بعد ونظم المعلومات الجغرافية

الأستاذ الدكتور حسن يوسف ابو سمور ، مشرفاً مشاركاً

أستاذ – الجيومورفولوجيا الحيوية والموارد المائية

الأستاذ الدكتور يحيى عيسى فرحان، عضواً

أستاذ – الجيومورفولوجيا التطبيقية والاستشعار عن بعد

الأستاذ الدكتور سميح أحمد عودة، عضواً

أستاذ – الجيومورفولوجيا والخرائط

الدكتور نايف محمود الروسان، عضواً (جامعة مؤتة)

أستاذ – الاستشعار عن بعد ونظم المعلومات الجغرافية.

تعتمد كلية الدراسات العليا
هذه نسخة من الرسالة
التوقيع..... التاريخ 14/4/1431

الإهداء

إلى الرحمة المُهداة والنعمة المُسداة محمد صلى الله عليه وسلم....

إلى العلماء والأساتذة الأجلاء...

إلى من ربياني صغيراً وتعهداني كبيراً...

إلى من كانوا لي خير سند...

إخواني وأختي .

إلى هؤلاء جميعاً هدي هذا الجهد المتواضع....

شكر وتقدير

الشكر لله العلي العظيم أولاً واخيراً على ما أنعم علي وتفضل في إنجاز هذا العمل كما أتقدم بجزيل الشكر والعرفان إلى أستاذي الدكتور الفاضل حسام البليسي لتفضله بالإشراف على هذه الرسالة ، وحرصه الدائم على المشوره، والنصيحة لكل خطوه من خطوات الدراسة وإيداء التوجيهات والملاحظات، والأراء السديدة، مما كان له الأثر الواضح في إخراج هذا العمل على هذه الصورة، كما أتقدم بالشكر الجزيل إلى الاستاذ الدكتور حسن ابو سمور على تفضله بقبول الإشراف على هذه الرسالة وإيداء النصيح، والملاحظات لرفع من سوية هذا العمل، كما أتقدم بجزيل الشكر الى وزارة المياه والري الأردنية ممثلة بقسم المياه السطحية، وإدارة شركة البوتاس العربية دائره الفنية ممثلة بالمهندس محمد المومني على ما ابدوه من تعاون في الحصول على البيانات الخاصة بمنطقة الدراسة .

كما أتقدم بالشكر إلى أعضاء لجنة المناقشة الأساتذه الأفاضل : الأستاذ الدكتور يحيى فرحان، والاستاذ الدكتور سميح عوده من قسم الجغرافيا / الجامعة الأردنية والأستاذ الدكتور نايف الروسان من قسم الجغرافيا / جامعة مؤتة لتفضلهم بقبول مناقشة هذه الرسالة .

والله ولي التوفيق

الباحثة

فهرس المحتويات

| الصفحة | الموضوع |
|--------|--|
| ب | قرار لجنة المناقشة |
| ج | الإهداء |
| د | شكر وتقدير |
| هـ | فهرس المحتويات |
| ح | قائمة الجداول |
| ط | قائمة الأشكال |
| ك | الملخص باللغة العربية |
| 1 | الفصل الأول : الإطار العام للدراسة ومنهجيتها |
| 2 | المقدمة |
| 3 | مشكلة الدراسة وتساؤلاتها |
| 3 | أهمية الدراسة |
| 4 | مبررات وأهداف الدراسة |
| 5 | الدراسات السابقة |
| 11 | منهجية الدراسة |
| 13 | مخطط منهجية الدراسة |
| 14 | الفصل الثاني : البيئة الجغرافية لمنطقة الدراسة |
| 15 | الموقع والمساحة |
| 16 | الخصائص الطبوغرافية |
| 24 | التكوين الجيولوجي والتربة |
| 30 | الغطاء النباتي |
| 31 | المصادر المائية للبحر الميت |

| | |
|----|--|
| 34 | الخصائص المناخية |
| 38 | الموارد الطبيعية والصناعية |
| 40 | السجل التاريخي لإنخفاض منسوب البحر الميت |
| 41 | السكان |
| 43 | الفصل الثالث : منهجية حساب المساحات وتصنيف الأراضي باستخدام تقنيات الاستشعار عن بعد ونظم المعلومات الجغرافية |
| 44 | الإجراءات المتبعة قبل البدء بمعالجة المرئيات الفضائية |
| 48 | التصحيح الإحداثي أو الهندسي |
| 49 | مرحلة تحسين المرئيات وتفسير المرئيات |
| 50 | مرحلة التصنيف الرقمي للمرئيات الفضائية |
| 51 | الطريقة المتبعة في التصنيف الموجه |
| 52 | تقييم دقة التصنيف |
| 53 | تصنيف المرئيات المستخدم في الدراسة |
| 55 | مؤشرات حساب مساحة البحر الميت باستخدام GIS و R.S |
| 58 | الفصل الرابع : تقييم مؤشرات حساب مساحة البحر الميت وانماط تصنيف الغطاء الأرضي |
| 60 | تقييم حساب مساحة البحر الميت باستخدام GIS |
| 64 | تقييم حساب مساحة البحر الميت باستخدام الاستشعار عن بعد |
| 75 | انماط الغطاء الأرضي في منطقة البحر الميت |
| 78 | التغيرات في انماط الغطاء الأرضي في منطقة البحر الميت خلال الفترة 1987 – 2009 |
| 82 | التغيرات البيئية على مساحة البحر الميت |

| | |
|----|----------------------------------|
| 86 | الفصل الخامس : النتائج والتوصيات |
| 87 | النتائج |
| 88 | التوصيات |
| 89 | المراجع العربية |
| 92 | المراجع الأجنبية |
| 97 | الملخص باللغة الإنجليزية |

قائمة الجداول

| الصفحة | عنوان الجدول | رقم الجدول |
|--------|--|------------|
| 13 | مخطط منهجية الدراسة | 1 – 1 |
| 32 | كميات تصريف الاودية على الجانب الشرقي للبحر الميت | 1 – 2 |
| 35 | المحطات المناخية المستخدمة في الدراسة | 2 – 2 |
| 37 | معدلات الحرارة (العظمى والصغرى) لشهور كانون ثاني وآب والرطوبة النسبية ومجموع التبخر الكامن السنوي من 1980-2009 | 3 – 2 |
| 45 | البرمجيات المستخدمة في الدراسة | 1 – 3 |
| 47 | المواصفات الفنية لنطاقات Landsat TM المستخدم في مرئيات الدراسة | 2 – 3 |
| 59 | بيانات شركة البوتاس العربية مستوى سطح البحر ومعدل انخفاضه السنوي ومساحته للاعوام 1987 و 1996 و 2003 و 2009 | 1 – 4 |
| 80 | نتائج تصنيف انماط الغطاء الارضي لمنطقة البحر الميت | 2 – 4 |
| 81 | مصفوفة الخطأ وتقييم دقة التصنيف الموجه لمرئية اللاندسات لعام 1987 | 3 – 4 |
| 81 | مصفوفة الخطأ وتقييم دقة التصنيف الموجه لمرئية اللاندسات لعام 2009 | 4 – 4 |

قائمة الاشكال

| الصفحة | عنوان الشكل | رقم الشكل |
|--------|--|-----------|
| 16 | مرئية Landsat ETM توضح موقع البحر الميت | 1 – 2 |
| 18 | الوحدات الطبوغرافية لمنطقة البحر الميت | 2 – 2 |
| 19 | خارطة خطوط الارتفاعات المتساوية لمنطقة البحر الميت | 3 – 2 |
| 20 | نموذج الارتفاعات الرقمية لمنطقة البحر الميت | 4 – 2 |
| 22 | خارطة درجات الإنحدار | 5 – 2 |
| 23 | خارطة اتجاهات الإنحدار | 6 – 2 |
| 26 | التركيب الجيولوجي (الاودية والصدوع) لمنطقة البحر الميت | 7 – 2 |
| 27 | نسب التكوينات الصخرية في منطقة البحر الميت | 8 – 2 |
| 29 | التكوينات الجيولوجية | 9 – 2 |
| 36 | معدلات الأمطار في محطات دير علا ونمبييره وغور الصافي (1980 – 2009) | 10 – 2 |
| 38 | المجموع السنوي للتبخر في محطات دير علا وغور الصافي | 11 – 2 |
| 39 | كميات انتاج شركة البوتاس العربية | 12 - 2 |
| 40 | مستوى سطح البحر الميت للفترة 1976 – 2009 | 13 – 2 |
| 41 | معدلات انخفاض منسوب البحر الميت للفترة بين 1976 – 2009 | 14 – 2 |
| 46 | المرئيات المستخدمة في الدراسة وطرق المعالجة التي تمت عليها . | 1 – 3 |
| 61 | قيم المساحات المحسوبة بطريقة GIS | 1 – 4 |
| 62 | الخرائط المستخلصة لمساحة البحر الميت باستخدام GIS | 2 – 4 |
| 63 | المناطق الاكثر تأثراً وتغيراً لمساحاتها بطريقة GIS | 3 – 4 |
| 65 | قيم المساحات المحسوبة بطريقة التصنيف الغير موجه | 4 - 4 |
| 66 | الخرائط المستخلصة لمساحة البحر الميت باستخدام التصنيف الغير | 5 – 4 |

| | موجه | |
|----|--|--------|
| 68 | أكبر نسبة انعكاس على الطيف الرابع والخامس | 6 – 4 |
| 69 | قيم المساحات المحسوبة باستخدام مؤشر NDWI | 7 – 4 |
| 70 | الخرائط المستخلصة لمساحة البحر الميت باستخدام مؤشر NDWI | 8 – 4 |
| 71 | قيم المساحات المحسوبة باستخدام مؤشر MNDWI | 9 – 4 |
| 72 | الخرائط المستخلصة لمساحة البحر الميت باستخدام مؤشر MNDWI | 10 – 4 |
| 73 | نتائج الطرق الأربع المستخدمة في حساب مساحة البحر الميت | 11 – 4 |
| 76 | خارطة انماط الغطاء الأرضي لعام 1987 | 12 – 4 |
| 77 | خارطة انماط الغطاء الأرضي لعام 2009 | 13 – 4 |
| 79 | التغيرات في الغطاءين الحضري والزراعي بين الاعوام 2009-1987 | 14 - 4 |
| 84 | ظاهرة الشواطئ المتعدده صورة ملتقطة | 15 – 4 |

مراقبة وتحليل التغيرات البيئية للبحر الميت باستخدام نظم المعلومات الجغرافية وتطبيقات الاستشعار عن بعد

إعداد

هيفاء أحمد محمد محمد

المشرف

الدكتور حسام هشام البليبيسي

المشرف المشارك

الأستاذ الدكتور حسن يوسف أبو سمور

الملخص

تهدف هذه الدراسة الى تبني وتطبيق طريقة يمكن من خلالها حساب مساحة البحر الميت ، ومراقبة وتحليل التغيرات التي طرأت على مساحة البحر الميت ، والمنطقة المحيطة به في الفترة ما بين (1987 - 2009) باستخدام نظم المعلومات الجغرافية وتقنيات الاستشعار عن بعد .

اعتمدت هذه الدراسة على معالجة أربع مرئيات فضائية للقمر الصناعي اللاندسات Landsat TM للسنوات 1987 و 1996 و 2003 و 2009 لحساب مساحة البحر الميت ، تم تطبيق أربع طرق لحساب المساحات، وهي نظم المعلومات الجغرافية، وطريقة التصنيف غير الموجه ، واستخدام مؤشرا NDWI ، وMNDWI ، كذلك تم إجراء التصنيف الموجه للكشف عن التغير في أنماط الغطاء الأرضي لمنطقة البحر الميت خلال الفترة (1987 و2009)

أظهرت نتائج الدراسة إن أفضل الطرق لحساب مساحة البحر الميت باستخدام مؤشر MNDWI من خلال استخدام الطيف الموجي الأخضر والطيف الموجي تحت الاحمر المتوسط ، باستخدام بيانات القمر الصناعي Landsat TM، كما توصلت الدراسة الى حساب

نسبة التغير في أنماط الغطاء الأرضي المكون للمنطقة وهي خمسة أنماط ، منطقة البحر الميت (المياه) ، وأراضي البوتاس (التبخّر)، والأراضي الحضرية، والأراضي الزراعية والأراضي الجرداء، وكشفت الدراسة أن نسبة التغير في مساحة البحر الميت في الفترة 1987 و2009 وصلت بنحو 2.02 % وإمتداد لمساحة الأراضي الحضرية، وتناقص في مساحات الأراضي الزراعية بنحو 2.04 % عما كانت عليه عام 1987 وذلك بتأثير التغيرات البيئية على مساحة البحر من حفر إنحسافية وتدهور الغطاء الحيوي، وتناقص كميات المياه الجوفية، وجفاف بعض الينابيع المغذية للمنطقة وغيرها من الآثار والتغيرات البيئية .

الفصل الأول

الإطار العام للدراسة ومنهجيتها

1 - 1 المقدمة

1 - 2 مشكلة الدراسة

1 - 3 أهمية الدراسة

1 - 4 مبررات الدراسة

1 - 5 أهداف الدراسة

1 - 6 الدراسات السابقة

1 - 7 منهجية الدراسة

الفصل الأول

الإطار العام للدراسة ومنهجيتها

1-1 المقدمة :

طرأت تغيرات كثيرة على بيئة البحر الميت؛ نتيجة لانخفاض منسوبه، وتناقص مساحته لأسباب بشرية وطبيعية، حيث وصل مستوى مياهه نحو 423 متر تحت مستوى سطح البحر لعام 2009 وتناقصت مساحته بحدود 40 كم² بين الأعوام (1987- 2009) حتى وصلت مساحته المحسوبة إلى 630 كم²، مما نتج عنها تغيرات بيئية كثيرة، وبالتالي تعرض النظام البيئي الفريد للخطر الذي يعد ادنى بقعه على سطح الارض، كما انه فريد بتركيبه مياهه المعدنية عدا انه ارث حضاري وثقافي عالمي...الخ، ومع تطور أساليب وأدوات استخدام تطبيقات الاستشعار عن بعد، ونظم المعلومات الجغرافية في مراقبة المسطحات المائية وتحديد السواحل وحساب مساحاتها، ومن ثم رصد ومراقبة التغيرات البيئية التي تتهددها .

لذا استخدمت هذه التكنولوجيا من خلال تحليل بيانات المرئيات الفضائية بخصائصها المكانية والزمنية والطيفية، في تطوير طريقة يمكن من خلالها حساب مساحة البحر الميت باستخدام عدد من المرئيات الفضائية للقمر الصناعي لاندسات Landsat TM لما لها من فاعلية في حساب المساحات، وكشف التغيرات حتى يتسنى لصناع القرار من مراقبة التغيرات البيئية على البحر الميت التي تهدده كجسم مائي، وتؤثر على مستقبل البيئة المحيطة به .

2-1 مشكلة الدراسة :

تعددت الدراسات البحثية التي تناولت موضوع التدهور البيئي على مساحة البحر الميت ومحيطه، بفعل المؤثرات الطبيعية للعناصر البيئية، والتدخل البشري بفعل الأنشطة من إقتصادية، مما أدى الى إنخفاض منسوب البحر الميت و تقلص مساحته، وبالتالي جاءت الكثير من الدراسات لحساب مساحة البحر الميت، ومن الملاحظ من نتائج هذه الدراسات هو التباين في قيم مساحة البحر الميت المستخلصة، وبما أن الدقة في هذه المعلومات ضرورية بكونه يشهد تنقاصاً سريعاً في مساحته و تغيراً كبيراً على بيئته، فلا بد من توظيف نظم المعلومات الجغرافية، وتكنولوجيا الاستشعار عن بعد وبيانات الأقمار الصناعية المتاحة من مرئيات فضائية في تبني طريقة يمكن اعتمادها لحساب مساحة البحر الميت، والكشف عن التغيرات في أنماط الغطاء الأرضي بطريقة سريعة ودقيقة، لذا جاءت هذه الدراسة التطبيقية للإجابة عن التساؤلات الآتية :

- هل تطبيقات الاستشعار عن بعد قادرة على حساب التراجع في مساحة البحر الميت ؟
- تقييم الطرق التي يمكن استخدامها لحساب تراجع مساحة البحر الميت باستخدام نظم المعلومات الجغرافية، والاستشعار عن بعد وتحديد أفضلها .
- ما الدور الذي يمكن أن تقوم به التقنيات الحديثة في مجال مراقبة البيئة المرتبطة بانخفاض مساحة البحر الميت ؟
- ما الآثار الجغرافية الناجمة عن التغيرات في مساحة البحر الميت ؟

3-1 أهمية الدراسة :

تتبع أهمية الدراسة من خلال الكشف عن الآثار البيئية الناجمة عن التغيرات المرافقة لانخفاض مستوى منسوب البحر الميت ومساحته؛ لما يمتاز به من أهمية اقتصادية وسياحية على المستويين المحلي والإقليمي، حيث يعد البحر الميت من الأنظمة البيئية الأكثر تعقيداً على سطح الأرض، لذا تحاول هذه الدراسة رصد ومراقبة التغيرات البيئية، وما يترتب عليها من آثار باستخدام تقنيات الاستشعار عن بُعد ونظم المعلومات الجغرافية، وتقديم أحدث الطرق في إنتاج خريطة رقمية حديثة لمنطقة البحر الميت يمكن تطويرها بصورة دورية، ومعرفة الاتجاه العام للتغير في المنطقة، ومن ثم يصبح الطريق ممهداً لمساندة ودعم متخذي القرار لعمل الخطط المناسبة لتنمية المنطقة والتقليل من التأثيرات البيئية الضارة مستقبلاً .

1 - 4 مبررات الدراسة

إعتمدت الدراسة على عدد من المبررات لدراسة الموضوع والمنطقة معا من بينها مايلي :

1 - أهمية منطقة البحر الميت، فهو اخفض بقعة في العالم من الناحية الجغرافية بالإضافة إلى أهميتها السياحية كإقامة الفنادق والاقتصادية مثل إقامة بعض المصانع الحيوية كالبوتاس وغيرها

2 - ظهور عدد من المشكلات الجغرافية الناجمة عن إنخفاض مساحة البحر الميت كالحفر بالوعية أو الانخسافية (Sinkholes)، وهبوط وتشققات في المناطق القريبة من البحر الميت، وإنخفاض مستوى المياه الجوفية وغيرها .

3 - الضرورة الملحة للقيام بمثل هذه الدراسات؛ لإبراز المشكلات البيئية المستقبلية باستخدام التقنيات بدقة أكثر وبيان مدى كفاءة استخدام التقنيات الحديثة في حساب المساحات

1 - 5 أهداف الدراسة

جاءت هذه الدراسة لتحقيق الأهداف الآتية :

1 - مراقبة التغيرات البيئية الناتجة عن تراجع مساحة البحر الميت وانكماشه، وتأثيرها على الوضع الحديث لحالة الغطاء الأرضي والموارد الطبيعية للمنطقة باستخدام نظم المعلومات الجغرافية وتطبيقات الإستشعار عن بُعد خلال العقود الثلاثة الماضية.

2 - قياس درجة التناقص في مساحة البحر الميت، وحساب تلك التغيرات باستخدام التقنيات الحديثة .

3 - توفير قاعدة بيانات جغرافية تساعد صانعي القرار وواضعي السياسات التنموية بحيث تكون قابلة للتعديل والتحديث والدمج .

4 - العمل على وضع خريطة غطاء أرضي حديثة للبحر الميت بواسطة الإستشعار عن بُعد.

1 - 6 الدراسات السابقة :

تعددت الدراسات والتقارير حول دراسة المشكلات البيئية التي يتعرض لها حوض البحر الميت جراء إنخفاض منسوبه، وتقلص مساحته ومستقبل البيئة المحيطة به، وتنوعت بين الدراسات البحثية والتطبيقية مع تركيز معظمها على دراسة أسباب انخفاض منسوب البحر الميت، والآثار البيئية الناتجة عن تناقص مساحته، بالإضافة الى مناقشة الحل المقترح لهذه المشكلة .

في هذه الدراسة قُسمت الدراسات السابقة إلى قسمين، القسم الأول تناول الدراسات البحثية من حيث أسباب إنخفاض منسوب البحر الميت، والآثار الناتجة عن تناقص مساحته، ومستقبل البحر الميت، والقسم الثاني تناول الدراسات التطبيقية التي جاءت لحساب مساحة البحر الميت باستخدام التقنيات الحديثة من نظم المعلومات الجغرافية وتطبيقات الإستشعار عن بعد وهي كالآتي :

- الدراسات البحثية :

- دراسة مركز البحوث والتنمية الدولية – كندا بعنوان : " بحر عطش ونهر ملوث" – 1998، من خلال برنامج الفقر الريفي والبيئة في منطقة الشرق الأوسط، تناولت الدراسة المياه الحدودية المهددة في منطقة الشرق الأوسط، منها البحر الميت أهميته، وأسباب انخفاض مستوى سطحه، و دعت الدراسة على ضرورة حمايته من التدهور البيئي، وتوصلت من خلال توزيع إستبانة في المناطق التي يمتد بها البحر إلى أن السكان المحليين يدركون قيمة البحر الميت الاقتصادية وأهميته، وأوصت الدراسة بتسجيل البحر الميت كمحمية طبيعية لدى اليونسكو وعده أحد أهم مواقع التراث العالمي .

- وتناولت دراسة (Arkin and Gilat. (2000 بعنوان

Dead Sea Sinkholes –an ever - Developing Hazard.

أحد أهم الآثار البيئية التي انتشرت في حوض البحر الميت، الحفر البالوعية (الإنخسافية) وخطر تطورها على شواطئ البحر الميت ومخاطر تكونها والدعوة إلى إيجاد حلول بديلة

لإنقاذ البحر الميت، فوجودها من الآثار البيئية الخطيرة التي تهدد البحر الميت، والبيئتين الطبيعية والبشرية .

- وفي دراسة (2004) Lipchin, C . بعنوان :

A Future for the Dead Sea Basin: Water Culture among Israelis, Palestinians and Jordanians.

تناولت مستقبل حوض البحر الميت من حيث الأهمية الاقتصادية، وحذرت من مخاطر اختفاء البحر الميت، وقدم الباحث تحليلاً للأبعاد الاجتماعية، والثقافية من أجل تحقيق التنمية المستدامة وقدمت دراسة شاملة عن الوضع الحالي لحوض البحر الميت على الجانبين .

— دراسة Abu- karaki, et al. (2005) بعنوان :

Natural, Induced and Environmental Hazards along the Dead Sea Coast, Jordan

تناولت المخاطر الجيولوجية على امتداد 80 كم على سواحل البحر الميت، والمخاطر البيئية الناجمة عنها على طول الساحل الشرقي للبحر الميت، و دراسة أثر الأنشطة البشرية (الزراعية والصناعية)، كون منطقة البحر الميت نموذجاً على المناطق الطبيعية.

— تقرير (مكتب الأمم المتحدة للتنسيق الشؤون الإنسانية، 2007) دراسة بعنوان :

Overview on the Natural & Cultural Resources of the Dead Sea Area

هدف هذا التقرير إلى إلقاء الضوء على الموارد المائية في منطقة البحر الميت، والأنشطة الصناعية الكبرى، واقتُرحت مزيداً من الدراسات لسد التغيرات في البيانات المتاحة حول البحر الميت وموارده الطبيعية من أجل حماية الموارد والحفاظ عليها.

- وكشف تقرير آخر من (مكتب الأمم المتحدة لتنسيق الشؤون الإنسانية، 2007) في دراسة حول تقلص منسوب مياه البحر الميت، تم فيها إلقاء الضوء على المشروع المقترح لربط البحر الميت بالبحر الأحمر (قناة البحرين)، والآثار البيئية التي تحيط بمنطقة البحر الميت نتيجة؛ لتقلص منسوب مياهه، وظهور أعداد كبيرة من الحفر البالوعية خاصة على الساحل الجنوبي والشرقي للبحر الميت .

- وناقش (النواصرة، 2007) أثر إنخفاض منسوب سطح البحر الميت على جيومورفولوجية الأحواض الدنيا لأودية : الكرك، الحماد، الجرة، الشقيق، الموجب وتناولت الدراسة التسلسل التاريخي لانخفاض منسوب البحر الميت منذ (1966- 2004) وأثره على أودية منطقة الدراسة، وبيان أثر الأحداث الكارثية على ديناميكية تطور الأودية

– دراسة (2008).Closson and Abu-karaki بعنوان :

Human – Induced Geological Hazards along The Dead Sea Coast .

ناقشت الآثار الجيولوجية المؤثرة على التنمية في منطقة البحر الميت، والمخاطر الجيولوجية على الشاطئ الغربي (فلسطين المحتلة) ، والساحل الشرقي (الأردن) ، وهي المحاولة الأولى لجمع المخاطر الجيولوجية التي يسببها الإنسان على طول ساحل البحر الميت.

– دراسة (2008).Kiro, and Yeshieli بعنوان:

Time Response of the Water Table and Saltwater Transition Zone to a Base Level Drop.

تناولت مدى تأثير انخفاض منسوب البحر الميت على المياه الجوفية باستخدام التحليل النظري والمحاكاة، والبيانات الميدانية، واختبار الحساسية، وتقديم طريقة لتحليل تأثير انخفاض منسوب البحر الميت.

- الدراسات التطبيقية

- دراسة (2006) AL-Hanbali, Al-Bilbisi and kondoh. بعنوان :

Monitoring the Dead Sea Area Changes Using Remote Sensing and GIS.

هدفت الدراسة الى كشف التغيرات البيئية التي نتجت عن انخفاض مساحة البحر الميت من خلال العلاقة بين الأنشطة البشرية وعمليات التبخر، و مدى تأثيرها على مصادر المياه الجوفية باستخدام نظم المعلومات الجغرافية وتطبيقات الاستشعار عن بُعد، وتوصلت الدراسة الى ان البحار الميت فقد حوالي 30.4 % من مساحته في الفترة بين (1973-2004) وزيادة منطقة التبخر لنفس الفترة حوالي 600%، وقدمت الدراسة تصنيفاً لأنماط الغطاء الأرضي لحوض البحر الميت، وحساب مقدار التغير في المساحات باستخدام تقنيات الاستشعار عن بعد .

- دراسة (2010) AL-Bilbisi and Makhmreh , بعنوان :

A Comparison of Pixel-Based and Object-Based Classification Approaches in Arid and Semi-Arid Areas of Dead Sea Region Using Landsat Imagery .

تناولت هذه الدراسة تحليل وتصنيف الأراضي اعتماداً على طريقة وحدة الخلية / وطريقة وحدة الجسم، واستخدم البحر الميت مثالا لدراسة المقارنة بين الطريقتين، وقد توصلت الدراسة إلى أن طريقة وحدة الجسم المتكامل تعطي حدوداً دقيقة لاستعمالات الأراضي الزراعية أفضل من النتائج المتوصل إليها في الطريقة المبنية على وحدة الخلية .

- دراسة (Rababa'a and AL-Bakri , 2006) بعنوان :

Mapping Land Cover in the Dead Sea Basin From Landsat Imagery

أجريت هذه الدراسة لإستقصاء إمكانية إستخدام وسائل التصنيف الرقمي لصور الماسح الموضوعي المحمول على القمر الصناعي الأمريكي لاندسات، لإستنباط خرائط الغطاء الأرضي في حوض البحر الميت، واستخدمت هذه الدراسة طريقتي التصنيف غير المراقب باقتران المسافة الى المتوسط الحسابي، واقتران البيانات المتماثلة وطريقة توزيع مدى القيم باستخدام مؤشر الاختلاف النباتي لاستنباط الخرائط، توصلت الدراسة إلى إمكانية بيانات الاستشعار عن بعد لاستنباط خرائط الغطاء الأرضي مع التأكيد على دور البيانات الأرضية في تصحيح الخرائط الناتجة .

- دراسة خرفان ، (2004) والمعنونة ب : انحسار البحر الميت وتأثيره على المنطقة المحيطة تناولت الباحثة العوامل التي أدت إلى انحسار البحر الميت، وتقلص مساحته وحساب مساحة البحر الميت باستخدام طريقة الترقيم اليدوي وبالاعتماد على بيانات الصور الجوية وقمر اللاندسات في الفترة ما بين (1962-2001) ، وتوصلت الدراسة ان مساحة البحر الميت تناقصت من 983 كم² عام 1962 إلى 648 كم² عام 2001 بسبب النشاطات البشرية .

- هدفت دراسة (Qudah and Harahsheh , 1994) بعنوان :

.Recession of Dead Sea Through the Satellite Images

الى رصد التغيرات البيئية في منطقة البحر الميت باستخدام المرئيات الفضائية للقمر الاصطناعي اللاندسات والخرائط الطبوغرافية، والصور الجوية للأعوام (1947-1994)، وذلك بتقسيم المنطقة الى ثلاث أجزاء الجزء الشمالي والجزء الجنوبي ومنطقة التبخر، ومن خلال ترسيم حدود المياه عن طريق التفسير البصري تم حساب كل مساحة على حدى وتوصلت الدراسة الى فعالية تطبيقات الاستشعار عن بعد في تحديد وتقييم المسطحات المائية.

- هدفت دراسة (Abu Ghazleh . et al . (2010) بعنوان :

Rapidly Shrinking Dead Sea Urgently Needs Infusion of 0.9 km³/ a from Planned Red-Sea Channel: Implication for Renewable Energy and Sustainable Development

إلى تطوير نموذج يبين مدى انحسار البحر الميت باستخدام ARC GIS SRTM ، وأوضحت الدراسة مدى تأثير انحسار البحر الميت على تكون ظاهرة الشواطئ المتعددة أو المدرجات على ساحل البحر الميت، وبين الباحثون مزايا المشروع المقترح (قناة البحرين) ، على البيئة المحيطة بالبحر الميت من خلال الحد من المخاطر الطبيعية التي يسببها انحسار البحر الميت، وإنتاج الطاقة الكهرومائية، وإنتاج مياه عذبة عن طريق تحلية مياه البحر وإزالة ملوحتها .

- دراسة بورجي ، (2005) ، المعنونة ب :

تطبيق الاستشعار عن بُعد في رصد وتقييم التغيرات بساحل الحديدة – الجمهورية اليمنية .

هدفت إلى تطبيق أدوات الاستشعار عن بُعد في إنتاج خرائط غطاء أرضي، وتحديد مدى التغير في شكل الشريط الساحلي بواسطة تصنيف الأقمار الصناعية، بهدف الكشف عن التغيرات البحرية في ساحل الحديدة وحساب التغير في الزمن، وتوصلت إلى أن هناك تركيز للعناصر الثقيلة في المياه والرواسب التي انتقلت بسبب البيئة البحرية عن طريق الهواء الجوي، ومخلفات البترول التي انتقلت إليها من المناطق الجبلية شتاءً.

- دراسة Alesheikh . et al . (2007) والمعنونة ب :

Coastline Change Detection Using Remote Sensing

جاءت هذه الدراسة للكشف عن التغير بساحل بحيرة أورميا في إيران لكونها من أكبر البحيرات المالحة في العالم، وتتعرض للتدهور، استخدمت الدراسة بيانات القمر الصناعي اللانداستات للأعوام 1991 م و 2001 م باستخدام تقنيات الاستشعار عن بعد وتطبيق نموذج

مستوى العتبة ، وبينت التناقص في مساحة البحيرة بين العاملين السابقين ومقارنة دقة النتائج باستخدام بيانات قمر صناعي آخر بقدرة تمييزية حوالي 3 متر .

ما يميز هذه الدراسة :

جاءت هذه الدراسة مكملية للدراسات التطبيقية من خلال تبني طريقة يمكن من خلالها حساب مساحة البحر الميت، باستخدام تطبيقات تقنيات الاستشعار عن بعد ونظم المعلومات الجغرافية، وبالتالي يمكن من خلالها مراقبة التغيرات على مساحة البحر الميت، وتعميمها على باقي الدراسات الساحلية للمناطق ذات الظروف المشابهة، ومن ثم اتخاذ التدابير اللازمة لإدارة الموارد الطبيعية، وتفاذي بعض الأخطار البيئية المحتملة .

1 - 7 منهجية الدراسة :

تقوم منهجية هذه الدراسة على ثلاث محاور رئيسة كما في الشكل (1 - 1) :

المحور الأول : بشكل الإطار العام والنظري للدراسة من خلال دراسة ومراجعة المفاهيم والأسس النظرية لموضوع تقييم الآثار البيئية واستخدام التقنيات (GIS & R.S) ، ومراجعتها، والإطلاع على بعض الدراسات ، والأبحاث الحديثة ذات الصلة بالموضوع

المحور الثاني :

يمثل الإطار المعلوماتي، ويشمل الخصائص الطبيعية والجغرافية لمنطقة الدراسة، من خلال جمع البيانات من مصادرها .

المحور الثالث :

يشمل الجانب التحليلي، تقييم المؤشرات المستخدمة لحساب المساحة، وتبني طريقة يمكن من خلالها حساب مساحة البحر الميت باستخدام تطبيقات الاستشعار عن بعد، وتحليل أنماط الغطاء الأرضي والتغيرات على مساحة البحر الميت ، عبر مراحل زمنية باستخدام المرئيات الفضائية

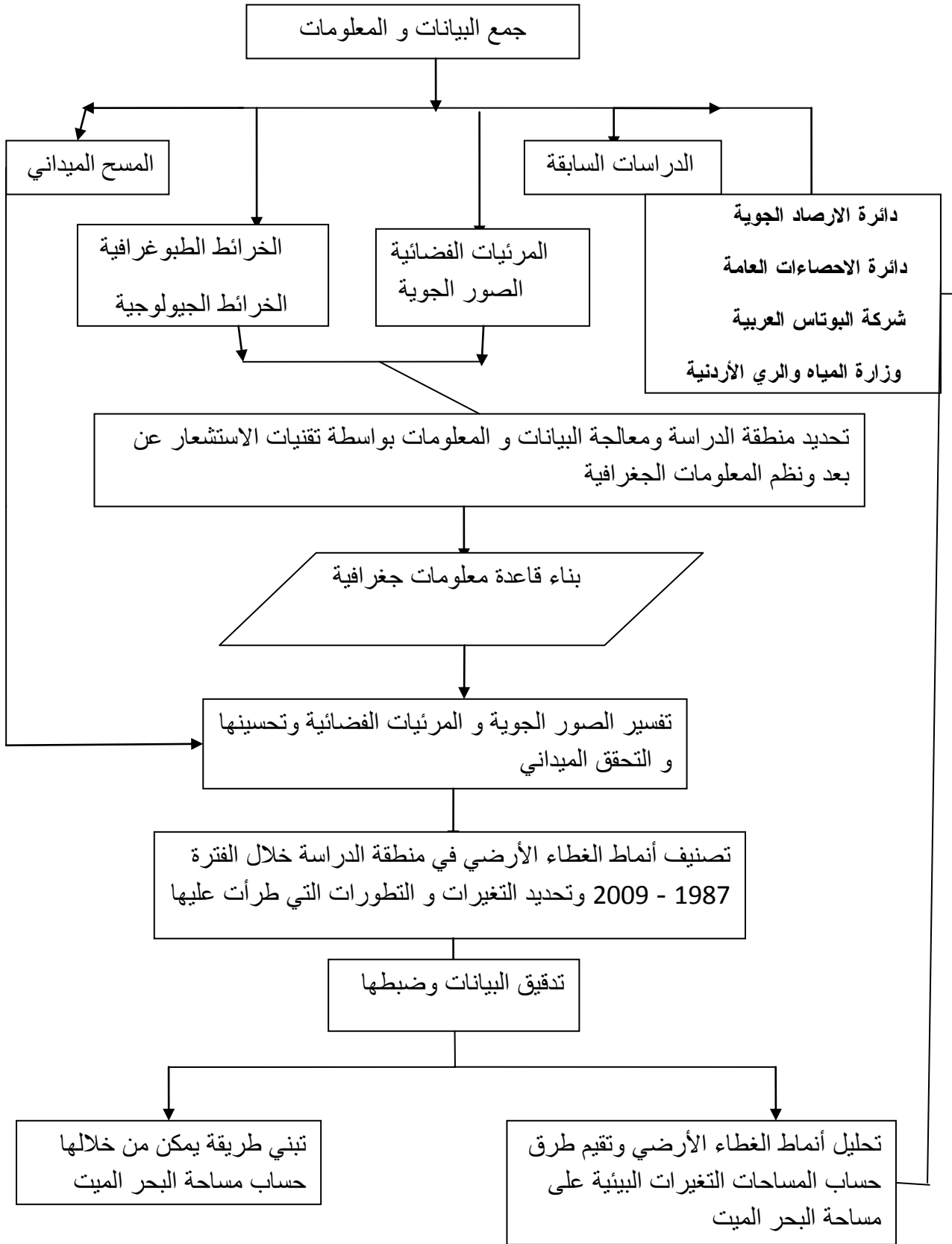
ولتحقيق أهداف الدراسة تم استخدام المناهج الآتية :

المنهج الوصفي : استخدم في وصف منطقة الدراسة طبيعياً وبشرياً .

المنهج التاريخي: استخدم لتتبع مساحة البحر الميت والآثار البيئية المترتبة على كل فترة زمنية

المنهج التحليلي : اعتمد على تحليل مرئيات الأقمار الإصطناعية، ومراجعة أحدث الطرق في حساب المساحات، والتغيرات بواسطة الأقمار الإصطناعية، من خلال تحليل أسباب التغيرات واستخدام التحليل الكمي في حساب المساحات، من معادلات ومؤشرات خاصة بحساب مساحة المسطحات المائية واستخراج النسب والمساحات، وتقدير دقة التصنيف لنتائج الغطاء الأرضي في حوض البحر الميت . ولتطبيق المناهج السابقة أخضعت الدراسة الى المراحل الآتية :

- مرحلة جمع البيانات والمرئيات الخاصة بمنطقة الدراسة .
- مراجعة أهم الأدبيات السابقة الخاصة بالمنطقة والموضوع والدراسات المحلية، والإقليمية ، وعلى المستوى العالمي من جميع المصادر .
- مرحلة الحصول على الخرائط والمرئيات الفضائية الخاصة بمنطقة الدراسة، والتقارير الخاصة بالمنطقة التي استخدمت لتوضيح البيئة الجغرافية لحوض البحر الميت .
- الخرائط الجيولوجية وتقاريرها، مصدرها (سلطة المصادر الطبيعية) بمقياس 1:50000 لوحات مادبا والكرك والرقة .
- المرئيات الفضائية المتاحة مرئية ASTER من موقع ASTERGDEM .
- المرئيات الفضائية المستخدمة في الدراسة من Landsat (TM) Thematic Mapper للسنوات 1987 و 1996 و 2003 و 2009 وهي التي تمكنا من الحصول عليها وقد تم الحصول على المرئيتين 2003 و 2009 بقدرة تمييزية 30 م من موقع اللاندسات بإشراف جامعة متشغان الأمريكية .
- البيانات المناخية تم الحصول عليها من منشورات دائرة الأرصاد الجوية والمتمثلة ببيانات المحطات المناخية (ديرعلا وغور الصافي) وهي بيانات الأمطار، والحرارة والتبخر والرطوبة النسبية للفترة من (1980 – 2009) ، أما بيانات محطة شركة البوتاس تم الحصول عليها من شركة البوتاس العربية واشتملت على بيانات هطول مطري فقط.
- تم الحصول على بيانات مناسيب البحر الميت ومساحته التقديرية من شركة البوتاس العربية .
- أما البيانات الخاصة بالسكان فتم الحصول عليها من دائرة الإحصاءات العامة



الشكل (1 - 1) يوضح مخطط منهجية الدراسة .

الفصل الثاني

البيئة الجغرافية لمنطقة البحر الميت

- 2 - 1 الموقع والمساحة
- 2 - 2 الخصائص الطبوغرافية
- 2 - 3 التكوين الجيولوجي و التربة
- 2 - 4 الغطاء النباتي
- 2 - 5 الخصائص المناخية
- 2 - 6 المصادر المائية للبحر الميت
- 2 - 7 الموارد الطبيعية والصناعية
- 2 - 8 السجل التاريخي لإنخفاض منسوب البحر الميت
- 2 - 9 السكان

الفصل الثاني

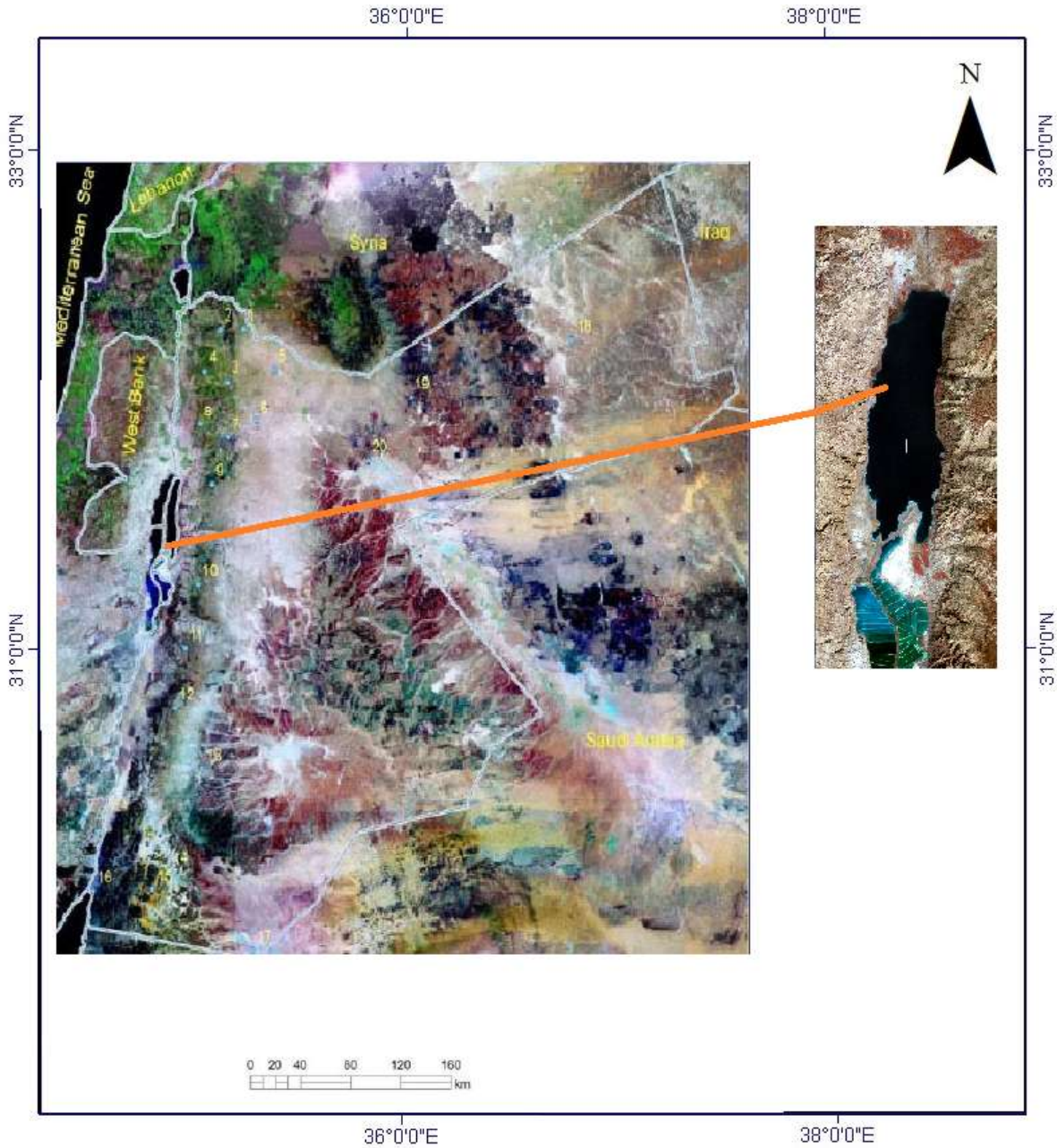
البيئة الجغرافية لمنطقة البحر الميت

التمهيد:

البحر الميت بيئة مناخية وجيولوجية فريدة، تعرضت الى التغير حيث انخفض منسوب البحر الميت و تقلصت مساحته، بتأثير العوامل المناخية المتمثلة في تناقص كميات الأمطار وارتفاع درجات الحرارة، وبالتالي زيادة كميات التبخر الطبيعي، والعوامل البشرية المتمثلة في تحويل أكثر من 95% من المياه الرافدة للبحر الميت، من خلال إقامة عدد من المشاريع المائية على الرافد الرئيسي للبحر الميت (نهر الأردن) من قبل الجانب الإسرائيلي، وزيادة كميات التبخر من شركات البوتاس على الجانبين وغيرها من الصناعات (وزارة المياه والري الأردنية، 2009)، وللوصول إلى تقييم مناسب للآثار البيئية لانخفاض مساحة البحر الميت والمناطق المحيطة به، خصص هذا الفصل لفهم الخصائص الطبيعية والبشرية والمتمثلة فيما يأتي :

2 - 1 الموقع والمساحة :

البحر الميت بحر مغلق، يمثل أدنى بقاع الأرض، حيث يقع على الحدود الفاصلة بين المملكة الأردنية الهاشمية من الشرق، وفلسطين المحتلة من الغرب، ويقع فلكياً بين خطي طول (22° 55' - 35° 12' 39") ودائرتي عرض (31° 59' 53" - 30° 59' 42") شمالاً و شرقاً جغرافياً يقع البحر الميت بين جبال القدس والخليل من الغرب، وجبال البلقاء ومؤاب والطفيلة من الشرق، وجبال شرق البحر الميت أعلى قليلاً من جبال الجانب الغربي، وأودية وجبال الجانب الغربي أكثر وعورة من الجانب الشرقي، وأعمق نقطة فيه تقع في الجزء الشمالي الشرقي منه (عابد، 1985) .



الشكل (1 – 2) مرئية ETM - Landsat موقع البحر الميت فلكياً

المصدر : التقرير الأولي للبيئة 2008 م .

2 - 2 الخصائص الطبوغرافية :

البحر الميت بحيرة مغلقة و جزء من حفرة الانهدام الآسيو- أفريقية، التي تمتد حتى مسافة 6000 كم من تركيا شمالاً حتى نهر الزامبيزي في أفريقيا جنوباً (Neev and Emery,1967) .

الأراضي الناتجة عن تراجع مساحة البحر الميت :

- الحوض الشمالي :

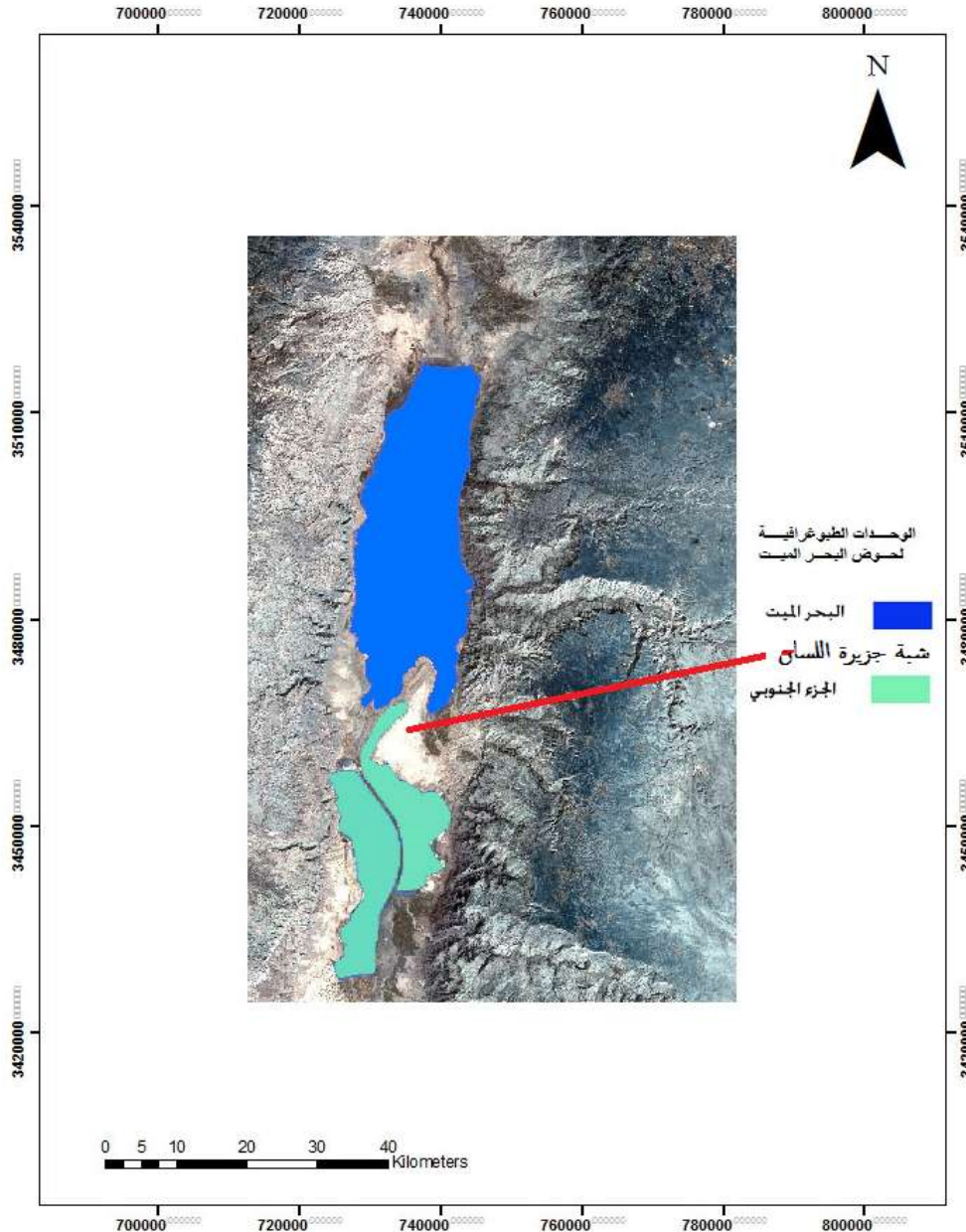
هو الحوض الرئيس ، منخفض منبسط القاع، مستطيل الشكل باتجاه الشمال والجنوب وهو أكثر انبساطاً وعرضاً واتساعاً، وعمقاً من الجزء الجنوبي، بسبب رسوبيات نهر الأردن، حيث يصل أقصى عمق الى 400 متر وأعمق نقطة تقع على بعد 5 كم غرب مصب نهر زرقاء ماعين، ولقد قدرها لنش عام 1849م ب 399م تحت مستوى سطح البحر، وتضاريسه أكثر تعرجاً من الحوض الجنوبي (عابد، 1985) ، كما في شكل (2 - 2) الذي يوضح الوحدات الطبوغرافية التي تكونت نتيجة تراجع مساحة البحر الميت .

- شبه جزيرة اللسان :

وهو مرتفع يفصل الحوض الشمالي عن الجنوبي اللذين يتصلان عبر مضيق اللسان، ويزداد طول اللسان مع زيادة جفاف البحر الميت، ويبلغ عرض شبه الجزيرة 7 كم وطولها 20 كم (خرفان، 2004) ، وتقع اضيق نقاط البحر الميت عند مضيق اللسان بعرض حوالي 2 كم (حبيب والكيلاني ، 2007).

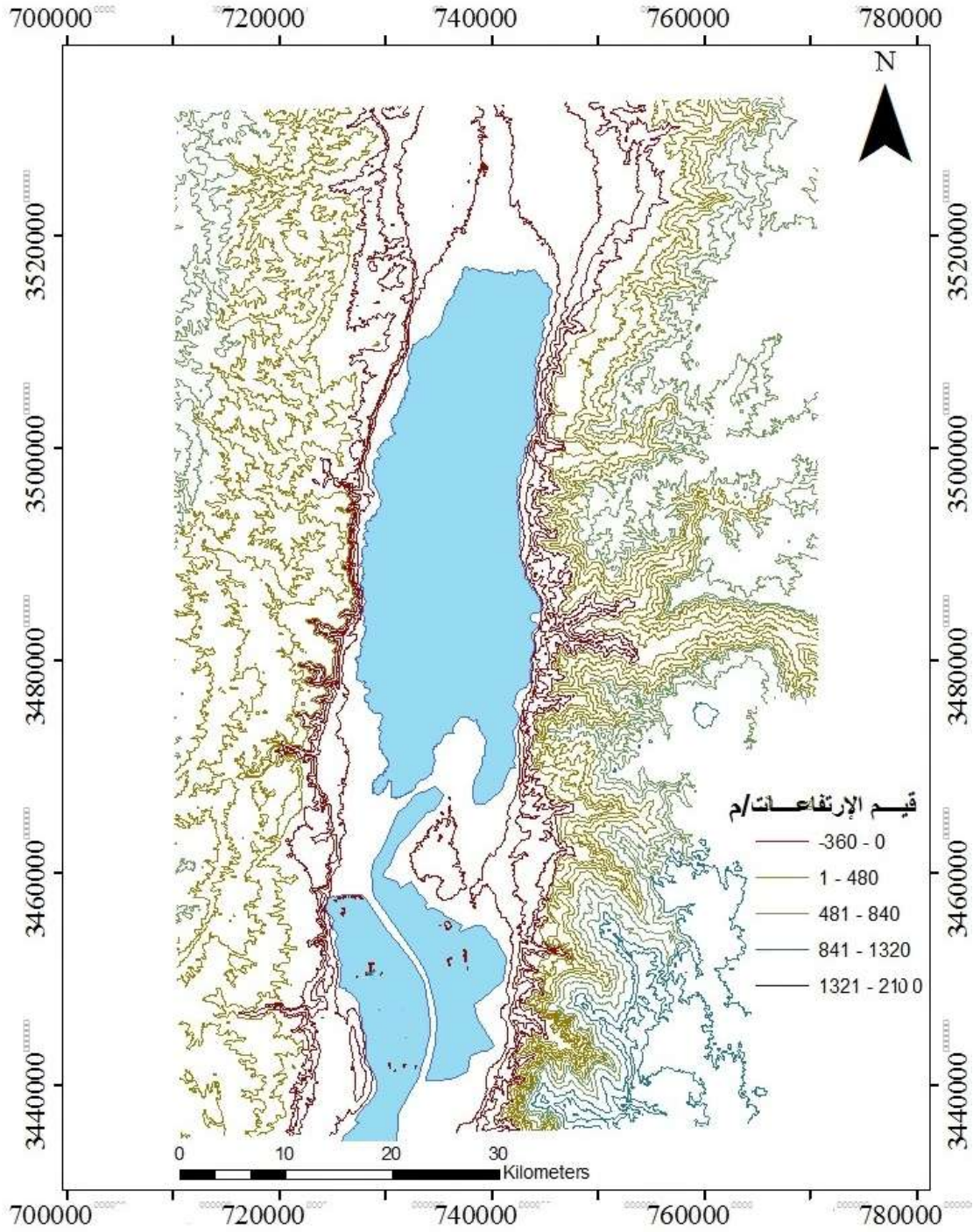
- الحوض الجنوبي :

يمتد من جنوب اللسان وحتى غور الصافي وهو أقل اتساعاً وعمقاً من الحوض الشمالي الذي لا يزيد عمقه عن 10 م، وقد جف الحوض نهائياً، وتحول إلى برك صناعية واسعة لاستخراج البوتاس (خرفان ، 2004).



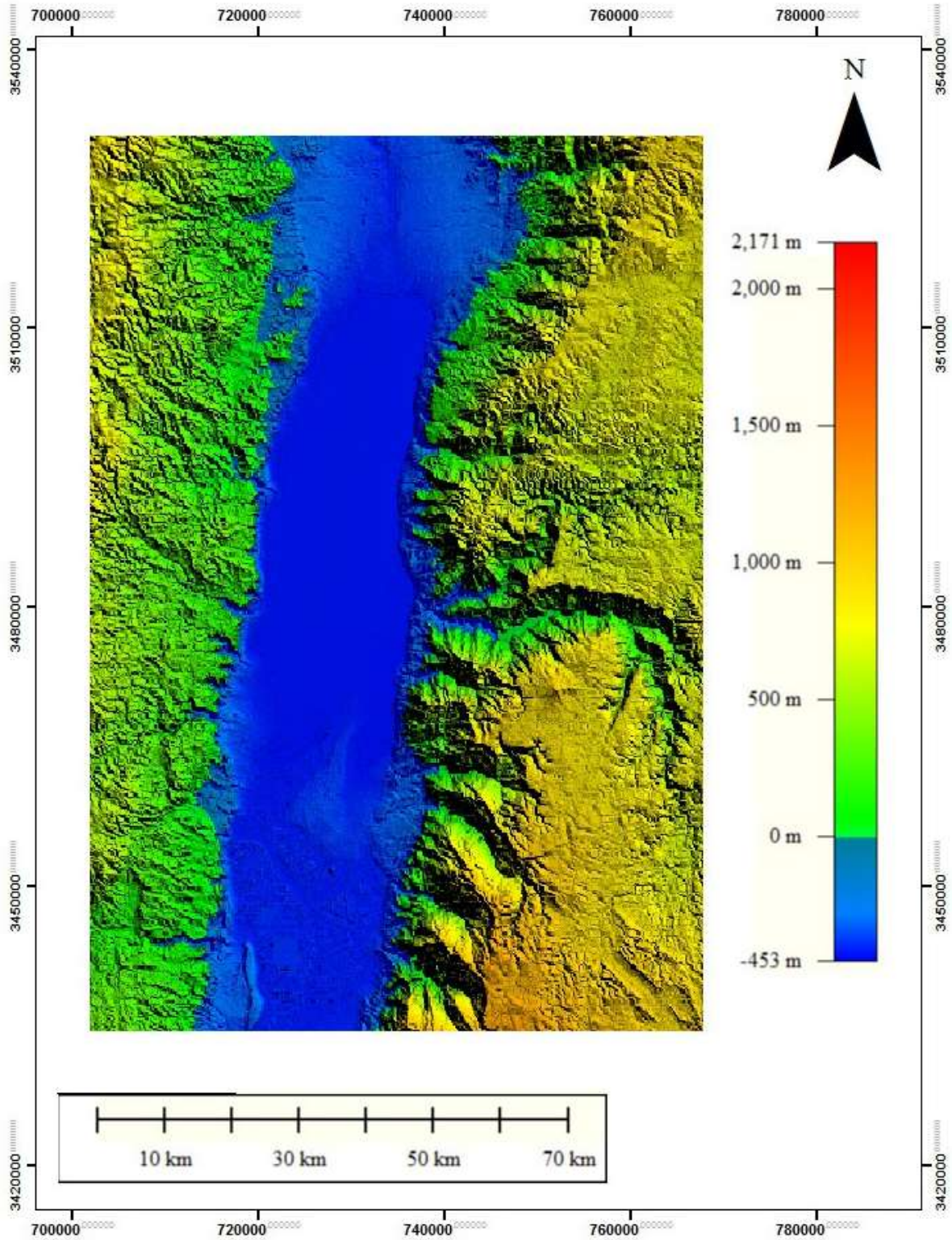
الشكل (2-2) الاراضي الناتجة عن تراجع مساحة البحر الميت مرئية 2009 Landsat TM
المصدر : إعداد الباحثة .

تتراوح مناسيب سطح حوض البحر الميت بين 360 م تحت مستوى سطح البحر في المناطق القريبة من البحر الميت على الجانبين، وحوالي 2100 م فوق مستوى سطح البحر في الأجزاء الجنوبية الشرقية، وبذلك يتراوح فرق الارتفاع بين أعلى نقطة، وأقل نقطة حوالي 1740 متر، والشكل (2-3) يمثل خطوط الإرتفاعات المتساوية (الكنتور) بينما شكل (2-4) يمثل نموذج الارتفاعات الرقمي يظهر من خلاله قيم الارتفاعات في المنطقة .



الشكل (2-3) خارطة خطوط الارتفاعات المتساوية لمنطقة الدراسة .

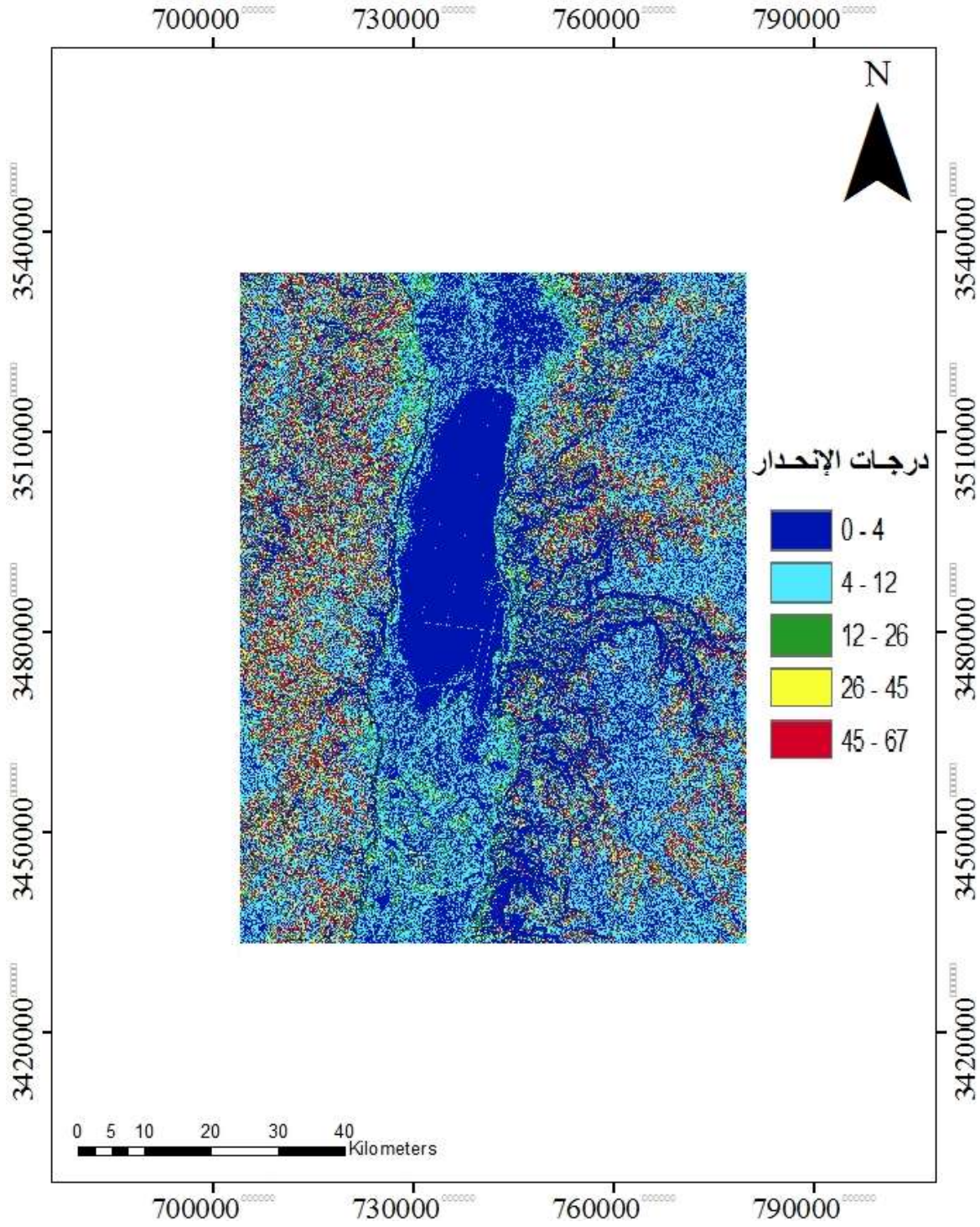
المصدر : إعداد الباحثة بالاعتماد على مرئية ASETER من موقع ASTGDEM.



الشكل (2 - 4) خارطة نموذج الإرتفاعات الرقمية لمنطقة لدراسة.

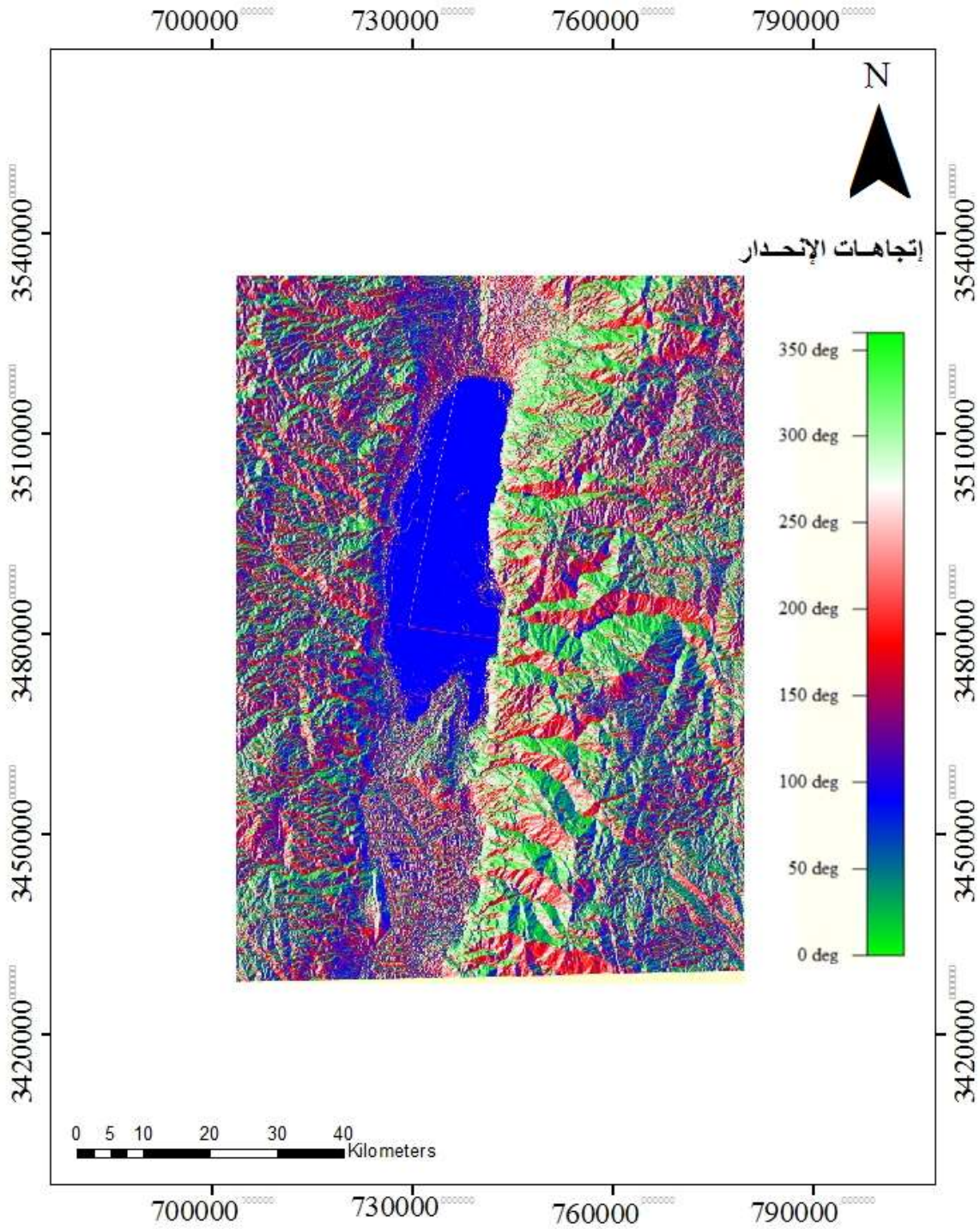
المصدر : إعداد الباحثة بالاعتماد على مرئية القمر الاصطناعي - ASTER - ASTGDEM

تتراوح قيم درجات الانحدار بين (0 - 67) درجة وفقاً لخارطة درجات الانحدار المشتقة من نموذج الارتفاع الرقمي لمنطقة البحر الميت كما في الشكل (2 - 5) ويلاحظ وجود تفاوت في الانحدار ما بين جانبي البحر الميت، أي حوالي 67% تقريباً من منطقة البحر الميت يصل إنحداره إلى أقل من 10 درجات، حيث المرتفعات الشرقية أكثر إنحداراً وارتفاعاً من مرتفعات الجانب الغربي، وتزداد درجات الانحدار كلما ابتعدنا عن البحر الميت باتجاه الغرب والجنوب الشرقي، أما اتجاه الانحدار في الجانب الشرقي فيزداد باتجاه الجنوب والجنوب الشرقي، وفي الجانب الغربي يكون باتجاه الشرق وجنوب شرق أي مع امتداد الأودية شكل (2- 6) .



الشكل (2 - 5) درجات الإنحدار لمنطقة الدراسة .

المصدر: إعداد الباحثة بالاعتماد على مرئية ASTER - موقع ASTGDEM



الشكل (2 - 6) خارطة إتجاهات الإنحدار لمنطقة الدراسة .

المصدر : إعداد الباحثة بالاعتماد على مرئية ASTER - موقع ASTGDEM

(2 - 3) التكوين الجيولوجي والتربة :

حوض البحر الميت عبارة عن سلسلة من الأحواض الضحلة، الممتدة من بحيرة طبريا شمالاً حتى موقعه الحالي، ففي فترة الميوسين الأوسط أي منذ نحو 21 مليون سنة، إتسعت رقعته واتصلت اجزائه وغطت مياهه منطقة واسعة من شمال بحيرة طبريا حتى جنوب حدوده الحالية بنحو 30 كم، ثم تقلصت مساحته بسبب تحول المناخ التدريجي نحو المناخ الجاف منذ 50 ألف سنة، وتزامن ذلك مع نشوء نهر الأردن ولم يبق منه إلا بحيرة طبريا في الشمال والبحر الميت في الجنوب، ووجد ثلاث مستويات تدل على فترات تغير مستوى سطح البحر، وتعرف بالمصاطب والتي يتراوح إرتفاع أعلاها بين (200 - 210 م)، وأوسطها بين (310 م و 339 م)، أما أدناها هو مستوى سطح البحر الحالي فيتراوح عمقه بين (380 م و 424 م) (أبو العنين، 1982).

ويمكن تلخيص التاريخ الجيولوجي للبحر الميت في أن أجساما مائية مالحة أونصف مالحة أو عذبة قد احتلت هذه المنطقة، ففي الفترات المطيرة كانت المنطقة رطبة ورسوبياتها هي رسوبيات المياه العذبة، وفي الفترات بين الجليديه سادت المنطقة ظروف القحط والجفاف وترسبت رسوبيات الجبس والملح والرسوبيات الكميائية (عابد، 1985).

وبالاعتماد على التقارير الجيولوجية ومشروع البحر الميت يتشكل البحر الميت جيولوجيا من التكوينات التالية :

(2 - 3 - 1) التراكيب الجيولوجية :

أهم التراكيب الجيولوجية في منطقة البحر الميت هي الصدوع والالتواءات، أما الطيات المحدبات والمقعرات فأقل أهمية من الصدوع (عابد، 1985).

- الصدوع : Faults

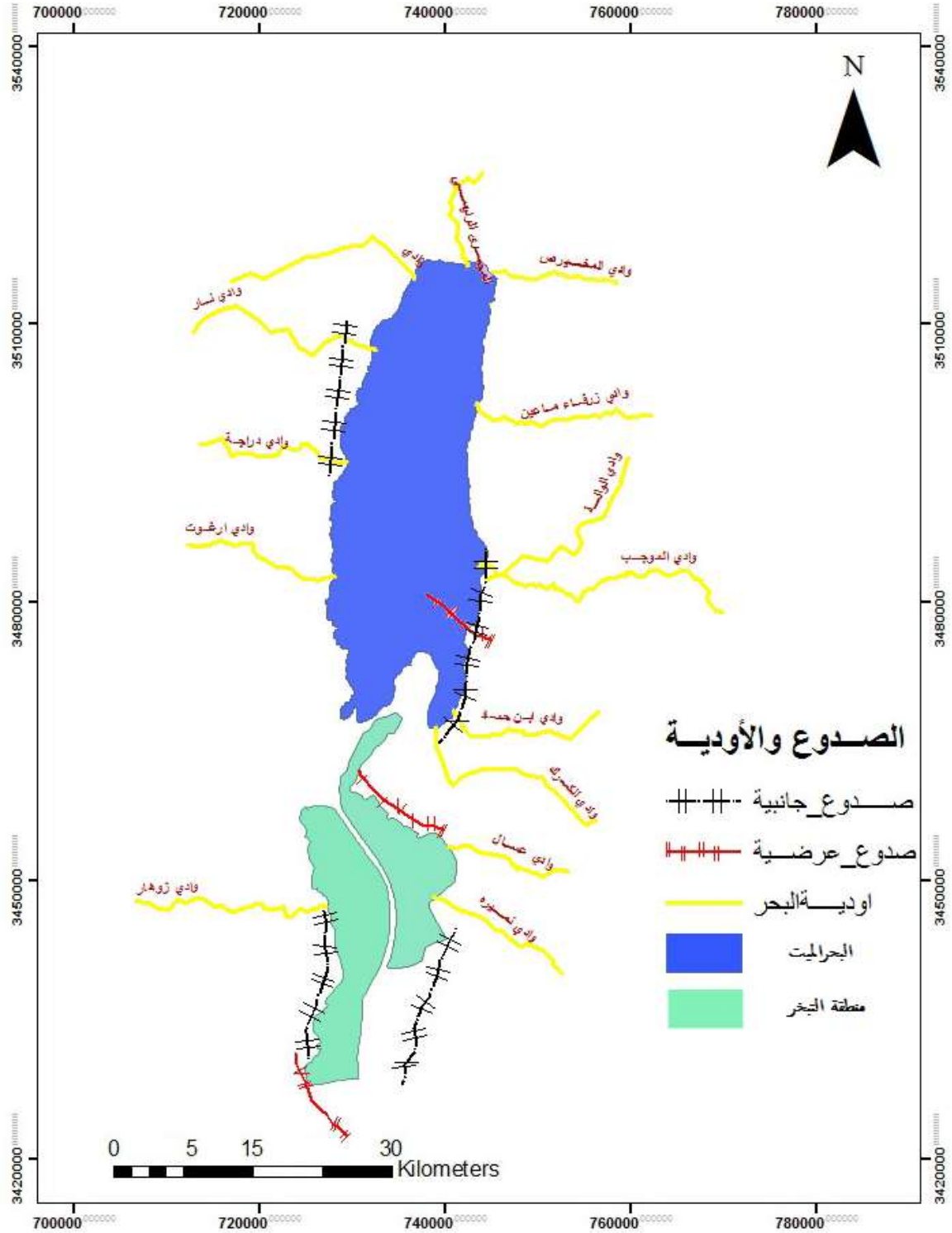
تكونت الصدوع في منطقة البحر الميت بسبب موقع البحر الميت بين حافتين انكسارتين، ويقدر فرق الإرتفاع بين أعلى نقاط الجبال الشرقية والغربية من جهة وقاع البحر الميت حوالي 1740 م تقريبا، في منطقة الدراسة هذا الفارق أعطى تفسيراً لظاهرة الصدوع وهي نوعان كما في الشكل (2 - 7).

- الصدوع الجانبية :

تكونت على جانب البحر من الجهة الشرقية والغربية، بين نهايات الجبال و البحر الميت، ويوجد صدعان جانبيين أحدهما على الجانب الشرقي والآخر على الجانب الغربي صدع الجانب الشرقي تكون على شكل قبتين أو قوسين في منطقة وادي الموجب، والثاني تكون في وادي الحسا شرق غور الصافي، أما على الجانب الغربي للبحر الميت فهناك صدعا جانبيا ممتداً شمال جنوب ، ويرتفع حوالي 200 م فوق مياه البحر .

- الصدوع العرضية :

هذه الصدوع مائلة بزاوية كبيرة على الصدوع الجانبية، وناتجة عن حركة التضاغط على طول الصدوع الجانبية ،وهناك عدد من الصدوع الجانبية في منطقة البحر الميت، منها جرف خنيزيرة الى الجنوب من غور فيفا، وصدع جنوب اللسان، وآخر شماله، ومعظمها تمتد شمال غرب - جنوب شرق التي يبدو أن لها علاقه في تشكل حوضي البحر الميت (عابد،1985) .

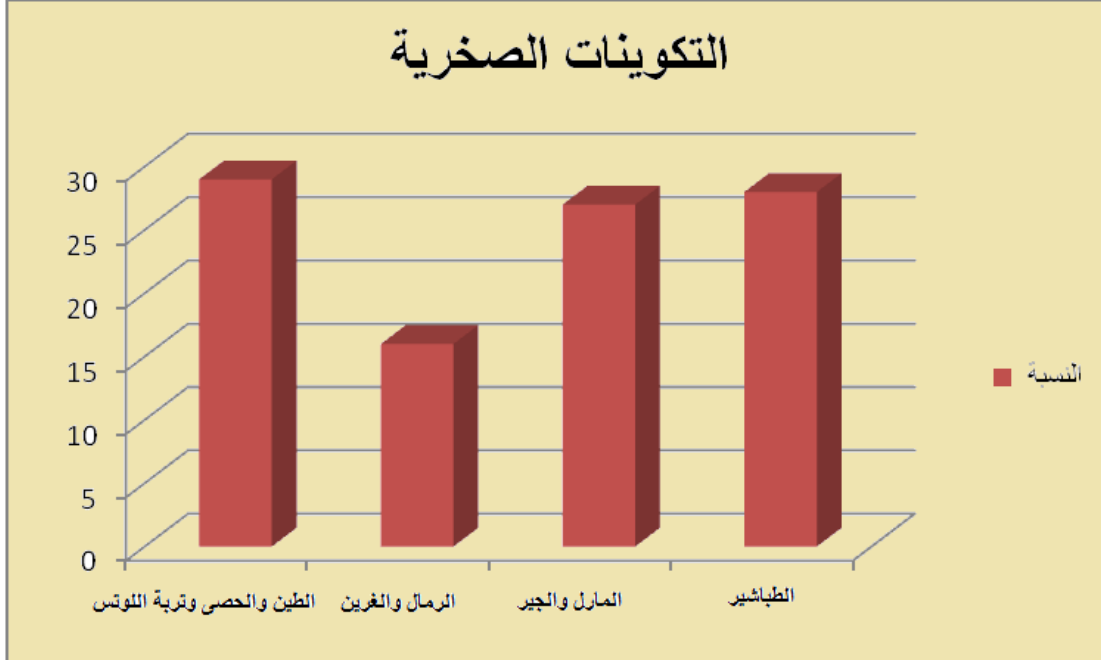


الشكل (2 - 7) التركيب الجيولوجي لأهم (الصدوع والأودية) في منطقة البحر الميت .
المصدر: إعداد الباحثة اعتماداً على بيانات وزارة المياه والري الأردنية (2009 – 2010) .

2 - 3 - 2 التكوينات الصخرية :

أكثر التكوينات الصخرية إنتشاراً ترسبات اللسان وتظهر على الساحل الجنوبي الشرقي للبحر الميت على بعد 3 كم من منطقة اللسان، وهي ترسبات بيضاء اللون خليط من معدن الأرغوانيت والجبص، وتعرف محليا باسم الحور وتنتشر في منطقة طواحين السكر، و قرب إسكان مدينة البوتاس وتتكون المناطق القريبة من البحر الميت من صخور صوانية ، وجيرية وصخور الحجر الرملي وتمتد على المجاري المائية ، وبطون الأودية وبالذات على طول المجاري المائية النشطة (النواصرة، 2009)، وفي المناطق المحاذية للبحر الميت تماماً تظهر ترسبات البحر الميت على شكل أملاح رمادية اللون وبسبب تناقص كميات المياه تنتشر ترسبات ملحية بيضاء في النهايات الدنيا لمصببات أودية الكرك ووادي حماد وزرقاء ماعين ودلتا وادي المخيرص (عوذه، 1996).

تنتشر التكوينات الحصوية فوق دلتا وادي الموجب، والشقيق، وأبوخشيبة، والمخيرص وفي وادي الكرك حتى منطقة الخرزة (عابد، 1985)، وعموماً 28% من منطقة البحر الميت تتكون من الطباشير و 27% من تكوينات المارل ، و 16% الرمال والغرين والتكوينات الكلسية و 29% من الطين والحصى وتربة اللوتس شكل (2- 8).



شكل (2- 8) نسب التكوينات الصخرية في حوض البحر الميت .

المصدر : إعداد الباحثة إعتامدا على بيانات (Dead Sea Project, 2005)

(2 - 3 - 3) التربة :

تتكون في المناطق المحيطة بالبحر الميت من المناطق الجافة مناخياً أنواعاً من التربة الجافة منها :

- التربة الرملية : تسود جنوب البحر الميت خصوصاً غور فيفا والمعموره، وأجزاء من غور الصافي بسبب الترسيب الريحي، وقربها من وادي عربة الذي تنتشر فيه التربة الرملية .
- التربة الملحية : تنتشر على شكل سبخات في المناطق التي تشهد إنحساراً للمياه، مما شكل بيئة من التربة التي تحتوي على مستويات عالية من الأملاح القابلة للذوبان بالماء مثل كلوريدات الصوديوم والمغنيسيوم، وبروميد المغنيسيوم التي تتواجد شمالاً حتى غور حديثة .
- التربة المنقولة المختلطة بالأملاح تشكلت نتيجة فيضانات الأودية، وتزداد هذه التربة من الشرق إلى الغرب، ثم تعاود التربة الملحية بالظهور عند المياه الساخنة في الزارة، كما تتواجد في شمال البحر الميت في غورسويمه على شكل سبخات ملحية (عابد، 1985) .

- التربة الجبسية الجافة: Gypsiorthids

تتواجد هذه التربة مصاحبة للتربة الكلسية والكامبية الجافة، وغالباً تتكون ضمن مجموعات التربة التي يكثر فيها الجبس والتي تتواجد في ترسبات اللسان .

- التربة الملحية الجافة: Salorthids

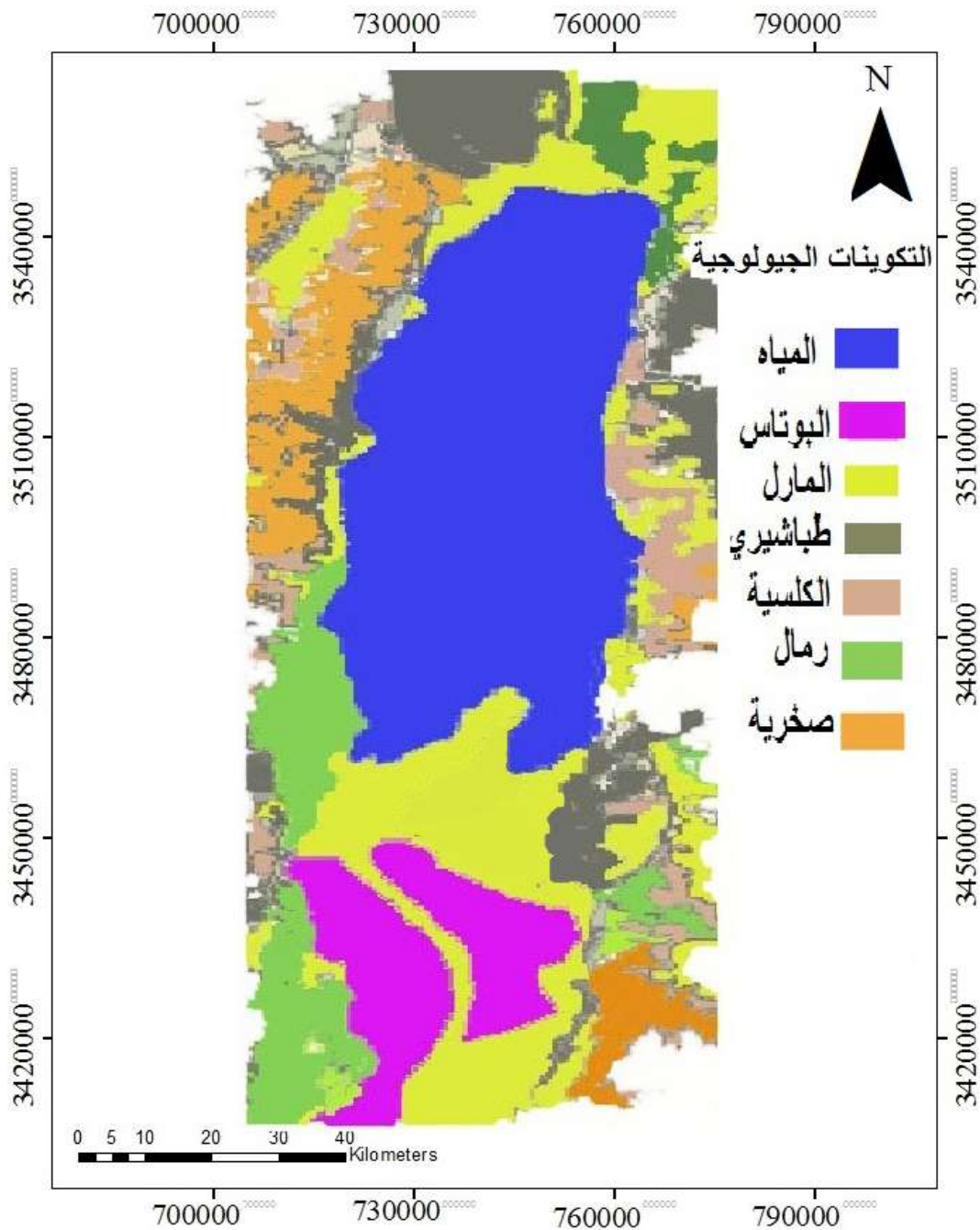
تتواجد بالقرب من البحر الميت بخاصة غور الصافي .

- التربة الغدقة : Hydroquents

تتواجد على طول حدود البحر الميت حيث تكشف إلى السطح بانخفاض مستوى المياه ، تتميز بقوام طيني ، وترسبات بحرية ، ومحتواها عالٍ من المادة العضوية ؛ بسبب جريان مياه الأمطار القادمة من المرتفعات المحاذية عبر الدلتاوات بالقرب من البحر الميت .

- التربة الرسوبية الغورية: Ustifluvents

محصورة في نهايات الأودية الرئيسية ذات قوام حصوي، عدسية الشكل ليست مألحة (المشروع الوطني لخارطة التربة واستعمالات الأراضي ، 1993).



الشكل (2 - 9) التكوينات الجيولوجية لمنطقة البحر الميت

المصدر : اعداد الباحثة بالاعتماد على (Dead Sea Project ,2005)

2 - 4 الغطاء النباتي :

البحر الميت بيئة فريدة لا يضاهيها بيئة في العالم، فهو أدنى نقطة على سطح الأرض يتصف مناخه بالجفاف ، والحرارة المرتفعة والتراب المالحة ، وتبلغ نسبة ملوحة مياهه عند السطح حوالي 30% وعند الأعماق تصل الى 34% ؛ أي عشرة أضعاف المسطحات المائية

الأخرى، وتتركب مياهه من مجموعة من المعادن والأملاح التي تستخدم للصناعة والإستشفاء من الأمراض (AbuGhazielh,et.2009) .

يرجع أحد أسباب تسميته بالميت لأن مياهه لا تسمح للكائنات المائية بالعيش فيه إلا بعض أنواع البكتيريا ، والطحالب ، وبعض النباتات التي تتحمل الملوحة العالية والجفاف .
قسم **AL-Eisawi** الأنواع النباتية في حوض البحر الميت الى :

1 - النباتات الملحية : هذا النوع يتواجد في شمال البحر الميت و جنوبه، بسبب تركيبته التي تحتوي على عصاره ملحية عالية ، وتعد من نباتات التحمل ، هذا النوع يتواجد على بعد 50 – 100 م عن البحر ، منها الغرقد ، والأثل ، والعكرش وغيرها .

وكلما ابتعدنا عن المياه المالحة تنمو نباتات مختلفه منها الشنان ، والسدر او الدوم والعرطه .
في الجزء الجنوبي خصوصا في منطقة غور الصافي قبل شركة البوتاس العربية ينمو نبات القطف والشيخ ، وشجر السدر وغيرها .

2 – النباتات المائية والينابيع : حيث تتواجد حول الأودية على طول الجانب الشرقي للبحر الميت وفي الوسط تتواجد مجموعة من المياه الساخنة والينابيع وأكبرها الزارة حيث تنمو النباتات المدارية والأعشاب الأرضية المختلطة منها الحور الفراتي ، والصفصاف، والطرفه ، وعلى بعد بضع مترات تنمو أشجار السمر (الطلح) والسدر ، وشجيرات الدفلى ، والزقوم .
كما تنمو بعض الشجيرات الصغيرة على مجاري الأودية (وادي الكرك وابن حماد) منها نباتات القطف والحميض ، والحرمل .

3 - النباتات الصخرية : التلال حول البحر الميت ذات تربة فقيرة وجافة ومتدهورة؛ بسبب التعرية والرعي الجائر والتحطيب، وتنمو فيها بعض الأعشاب الصغيره منها الشنان
(AL-Esawi,1996) .

2-5 المصادر المائية للبحر الميت :

تعرضت مصادر المياه في منطقة البحر الميت إلى عمليات استنزاف، مما سرع عملية انخفاض منسوب البحر الميت وبالتالي تناقص مساحته وتدهور البيئة المحيطة به .
تأتي معظم المياه الى البحر الميت من مناطق الكثافة المطرية النسبية لمجرى نهر الأردن، حيث تبلغ مساحة منطقة الرغد المائي حوالي 40.650 كيلومتر مربع .

(Salameh and EL-Nasser, 2000) .

المصادر الرئيسية لمياه البحر الميت هي : المياه السطحية والمتمثلة في نهر الأردن ، والأودية والينابيع الجانبية والمصدر الثاني المياه الجوفية وهي كالتالي :

2 - 5 - 1 مصادر المياه السطحية :

من أهم مصادر المياه السطحية المغذية للبحر الميت نهر الأردن، والأودية الجانبية وقد كان إجمالي تدفق المياه السطحية في مراحل الاستنزاف الأولى حوالي 1670 مليون متر مكعب /السنة منها حوالي 1370 مليون متر مكعب من نهر الاردن قبل إقامة المشاريع المائية عليه بنسبة 69% (Salameh and EL – Naser, 2000) .

- نهر الاردن :

يعتبر نهر الأردن الرافد الرئيسي لمياه البحر الميت حيث يمد البحر بأكثر من 75% من مياهه والباقي يأتيه عن طريق الأودية الجانبية، ويرفده نهر اليرموك في الشمال ، ونهر الزرقاء في الجنوب وقد أقيم عليهما عدد من المشاريع المائية، بقصد توفير المياه للشرب والزراعة لباقي المناطق، مما أثر على كمية المياه المتدفقة للبحر الميت، وبالتالي ساهمت في تراجع منسوبه وتسريع عملية تقلص مساحته الى ثلث ما كانت عليه قبل 40 عاماً، وقد قدرت الطاقة الإستيعابية لهذه السدود حوالي 160 مليون متر مكعب (Abu Sharar, 2004) ومنذ عام 1964 قامت اسرائيل بتحويل ما بين 600-700 مليون متر مكعب من مياه نهر الأردن لغايات الزراعة والشرب في الأراضي التابعة لها (عابد، 1990) بالنسبة للجانب الأردني فقد أقام عدداً من السدود على نهر اليرموك بسعة تخزينية حوالي 326 مليون متر مكعب ، وأقامت سوريا عدداً من المشاريع المائية مما أدى الى خفض كمية المياه المتدفقة للبحر الميت من 1600 مليون متر مكعب الى حوالي 150 مليون متر مكعب (وزارة المياه والري الاردنية، 2010م).

- الأودية :

تتدفق الى البحر الميت كميات من المياه من الأودية التي تضاءلت بعد بناء السدود على مجاري الأودية في كلا الجانبين والجدول (2 - 1) يوضح كميات تصريف الأودية في شرق البحر التي تصب في البحر الميت منها وادي الموجب حيث يبلغ إجمالي تصريفه في البحر حوالي 1659.9 م³ مكعب حتى عام 2007 ، وادي الوالة بلغ إجمالي تصريفه حوالي 711.3 م³ حتى عام 2003 ، وادي الكرك 1326.9 م³ ، وادي الملاقى حيث يبلغ إجمالي تصريفه حوالي 4623.2 م³ تصل الى البحر الميت مباشرة، وادي الحسا بلغ إجمالي تصريفه حوالي

450.5 م³، أما غرباً فتأتيه كميات لا بأس فيها من عين الجدي وبعض الأودية الجانبية الغربية ، و الشكل (2 - 7) توزيع الأودية على الجانبين للبحر الميت حسب بيانات (وزارة المياه والري الأردنية ، 2010 م).

الجدول (2 - 1) أودية الجانب الشرقي للبحر الميت وكميات تصريفها

| الأودية | كميات التصريف/متر مكعب/ سنويا | فترة التسجيل |
|--------------|----------------------------------|--------------|
| وادي الوالة | 4711.3 | 2003 - 1984 |
| وادي الموجب | 1659.9 | 2007 - 1984 |
| وادي الكرك | 1326.9 | 2007 - 1984 |
| وادي الملاقي | 4623.2 | 2009 - 1984 |
| وادي نميره | 238.3 | 1999 - 1984 |
| وادي عسال | 337.6 | 1999 - 1984 |
| وادي الحسا | 450.5 | 2009 - 1984 |

المصدر : إعداد الباحثة بالإعتماد على بيانات وزارة المياه والري الاردنية ، 2010 م .

2 - 5 - 2 الينابيع في حوض البحر الميت :

تشتهر منطقة البحر الميت محلياً وعالمياً بالينابيع الطبيعية، إذ بلغ مجموعها على الجانب الشرقي حوالي 200 نبع، وهي نوعان، الينابيع الساخنة والتي تنبع من المياه الجوفية العميقة ، والينابيع العذبة التي مصدرها طبقات المياه الجوفية ، وتصل درجة حرارة الماء في هذه الينابيع بين 35 درجة مئوية و 63 درجة مئوية في منطقة الزارة والتي يبلغ عددها حوالي 43 نبعا متسلسلا، وحجم متوسط تصريفها حوالي 80 مليون متر مكعب (وزارة المياه والري الأردنية، 2010)، اما بالنسبة لينابيع الجانب الغربي، هناك مجموعة من الينابيع الممتدة من الشمال إلى الجنوب منها عين السلطان، و زوهار و الينابيع الساخنة منها عين تمارا، والعوجا .

2 - 5 - 3 موارد المياه الجوفية في حوض البحر الميت :

تتواجد كميات المياه الجوفية في جزئين من التكوينات الصخرية في منطقة البحر الميت حيث يتواجد الأول منها في الجزء العلوي من تكوينات الحجر الجيري ، والثاني في تكوينات الحجر الرملي وهما منفصلين عن بعضهما .

الجزء العلوي من المياه الجوفية المتجددة المصدر الرئيس لتغذيتها الأمطار وتستخدم للأغراض المنزلية ، وأغراض الري وسمك المتوسط منها بين (200 - 250 م) ، أما الجزء السفلي في طبقة الحجر الرملي تستخرج مياهها للأغراض المنزلية والزراعية والصناعية، أما بالنسبة لينايبع الجانب الغربي مصدر تغذيتها الأمطار، ويلعب التركيب الجيولوجي دوراً في تحديد اتجاه تدفق المياه الجوفية، ففي المنطقة الشمالية تتدفق المياه الجوفية من الشمال والشمال الشرقي حيث قامت اسرائيل بحفر ما يزيد على 100 بئر؛ لسحب المياه التي تغذي البحر الميت والمنطقة الوسطى غرب وادي الاردن تتدفق شرقاً وجنوب شرق، أما في المنطقة الجنوبية تتدفق من المرتفعات الى البحر الميت (Dead Sea Project, 2005).

وبسبب الاستنزاف في استخدام المياه الجوفية وتناقص كميات المياه المغذية لها انخفضت من 220 م³ في سنوات الاستنزاف الأولى إلى 70 م³ حتى عام 1998 .

(Salameh and EL-Naser, 2000) .

1 - 6 الخصائص المناخية

يعد المناخ من أهم العوامل الطبيعية التي أثرت في إنحسار مساحة البحر الميت، وانخفاض منسوبه، ويعد البحر الميت مؤشراً ممتازاً للتغيرات المناخية الحديثة التي طرأت على منطقة بلاد الشام (النواصرة ، 2009)، فهو مناخ متغير بدرجة كبيرة، فنتيجة لإزدياد التساقط المطري في بعض الأزمنة ارتفع مستوى سطحه، وكذلك تناقص الأمطار أدى الى تناقص مساحة البحر الميت وبالإضافة الى ارتفاع درجات الحرارة، وإزدياد عمليات التبخر يسود المناخ المداري الجاف الحار في معظم مناطق البحر الميت والذي يمتاز بندرة الأمطار وتباينها من سنة لأخرى، ويقل المعدل السنوي للأمطار في هذا المناخ عن 100 ملم (شحاده، 1990)، عموماً يتصف مناخ البحر الميت بالجاف الحار صيفاً والمعتدل قليل الأمطار شتاءً حيث يبلغ معدل الحرارة السنوي أكثر من 25 درجة مئوية.

ولتحليل معدلات الأمطار والحرارة والتبخر السنوية والرطوبة النسبية، أستخدمت بيانات محطات الرصد المناخية من منطقة الرصد المائي في شمال البحر الميت الى محطات جنوب البحر الميت، وهي محطة ديرعلا شمال البحر الميت على منسوب 224م تحت مستوى سطح البحر، ومحطة نميره (بيانات هطول مطري فقط) والتي تقع على منسوب 342م تحت مستوى سطح البحر، ومحطة غور الصافي في جنوب البحر الميت وتقع على منسوب 350 م تحت مستوى سطح البحر في الفترة ما بين (1980 – 2009م) كما في جدول (2 – 2).

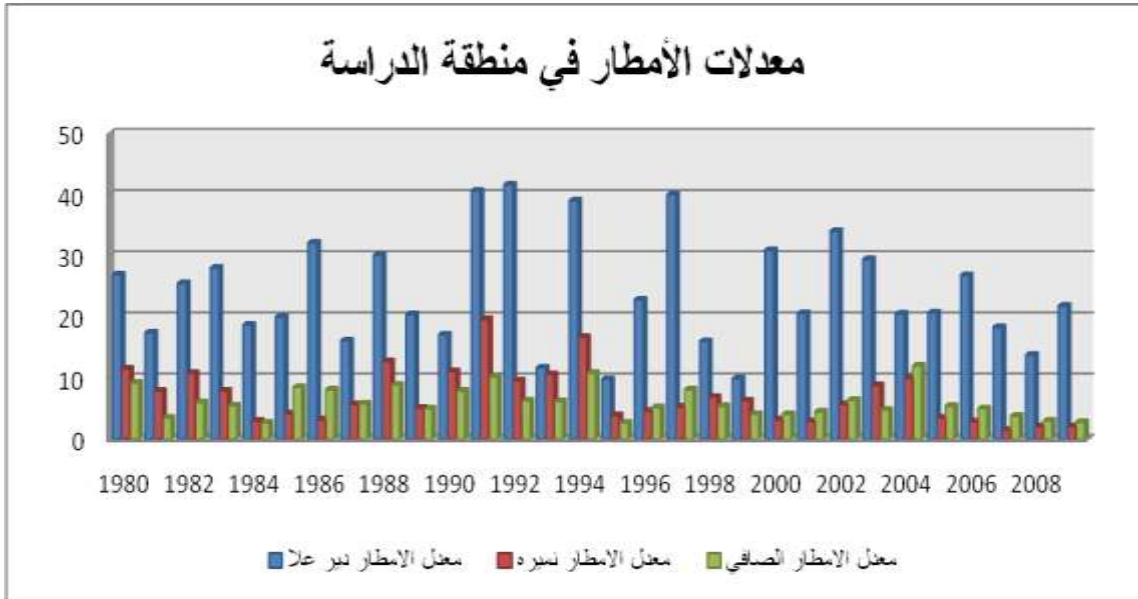
الجدول(2-2) المحطات المناخية المستخدمة في الدراسة وفترات تسجيلها .

| المحطة | خط الطول/ شرق | | دائرة العرض/ شمال | | المنسوب /تحت مستوى سطح البحر(م) | فترة التسجيل |
|--------------|---------------|------|-------------------|------|---------------------------------|--------------|
| | دقيقة | درجة | دقيقة | درجة | | |
| ديرعلا | 37` | 35° | 13` | 32° | -224 | 1980 - 2009 |
| شركة البوتاس | 31` | 35° | 08` | 31° | -342 | 1980 - 2009 |
| غور الصافي | 28` | 35° | 02` | 31° | -350 | 1980 - 2009 |

المصدر :إعداد الباحثة اعتماداً على نشرات دائرة الارصاد الجوية وشركة البوتاس العربية(2009م)

2 - 6 - 1 الأمطار:

يتضح التغير في متوسط الهطول المطري على طول التدرج الجغرافي للمنطقة ، وإختلاف معدلات الهطول المطري من الشمال الى الجنوب ، والملاحظ تناقص الهطول المطري كلما اتجهنا الى الجنوب، حيث يبلغ الحد الأقصى لهطول الأمطار حوالي 270ملم في محطة ديرعلا في الشمال عام 1991 م بمعدل 42 ملم، والذي يعد أكثر سنوات الدراسة تساقطاً للمطر، ففي محطة شركة البوتاس وصلت معدلات الهطول المطري إلى 19.5 ملم في العام نفسه، يفسر هذا التباين بتذبذب تأثير المنخفضات الجوية، وبالتالي تغير المناخ من مناخ البحر المتوسط الى المناخ المداري الجاف، أما محطة غور الصافي فقد بلغ معدل الهطول السنوي حوالي 34.2 ملم شكل (2 - 10) وبشكل عام حوالي أكثر من 60% من الهطول المطري يتمركز في الأشهر كانون أول وكانون ثاني وشباط وآذار في كل محطات منطقة الدراسة.



شكل (2-10) معدلات الأمطار السنوية في محطات ديرعلا والبوتاس وغور الصافي (1980-2009)

المصدر: إعداد الباحثة اعتماداً على بيانات النشرات السنوية لدائرة الارصاد الحوية وشركة البوتاس العربية، 2009م .

2-6-2 الحرارة:

تعد درجة الحرارة المرتفعة من المميزات الخاصة بمنطقة البحر الميت صيفاً، وإعتدالها شتاءً، مما أضفى على هذه المنطقة سمة التميز المناخي بإعتبارها منطقة جذب سياحي خصوصاً في فصل الشتاء إضافة الى السياحه العلاجية، وساهمت درجات الحرارة المرتفعة في زيادة نسبة التبخر الطبيعي في منطقة البحر الميت، مما أدى الى تسارع انخفاض منسوبه و تناقص مساحته، ويتضح تأثير العوامل الطبيعية من خلال درجات الحرارة المسجلة حيث تتزايد معدلات درجات الحرارة العظمى الشهرية كلما اتجهنا من الشمال إلى الجنوب، حيث بلغت معدلات درجات الحرارة في كانون الثاني 10 درجات مئوية في المنطقة الشمالية، أما في المنطقة الجنوبية فتصل الى حوالي 20 درجة مئوية في نفس الشهر، وفي شهر آب ترتفع الى 25.7 درجة مئوية في شماله وبمعدل 29.2 درجة مئوية في جنوبه، وبالتالي فان موسم الجفاف يبدأ من شهر نيسان حتى شهر تشرين أول حوالي 7 شهور، وفي بعض المناطق الشرقيه تصل شهور الجفاف الى 10 أشهر، وتكون درجة حرارة البحر أدنى من درجة حرارة الأرض في فصل الشتاء، والعكس خلال فصل الصيف وهذا نتيجة المحدودية في كميات المياه وكثافتها .

الجدول (2 - 3) معدلات الحرارة الصغرى والعظمى لشهور كانون ثاني وآب والرطوبة النسبية و مجموع التبخر الكامن من (1980 - 2009 م) .

| المحطة | درجات الحرارة العظمى شهر (آب) درجة مئوية | درجات الحرارة الصغرى شهر (كانون ثاني) درجة مئوية | الرطوبة النسبية %/ | مجموع التبخر مم سنوياً |
|------------|---|---|-----------------------|---------------------------|
| دير علا | 25.7 | 10 | 54.5 | 2000 |
| غور الصافي | 29.2 | 20 | 51.1 | 2200 |

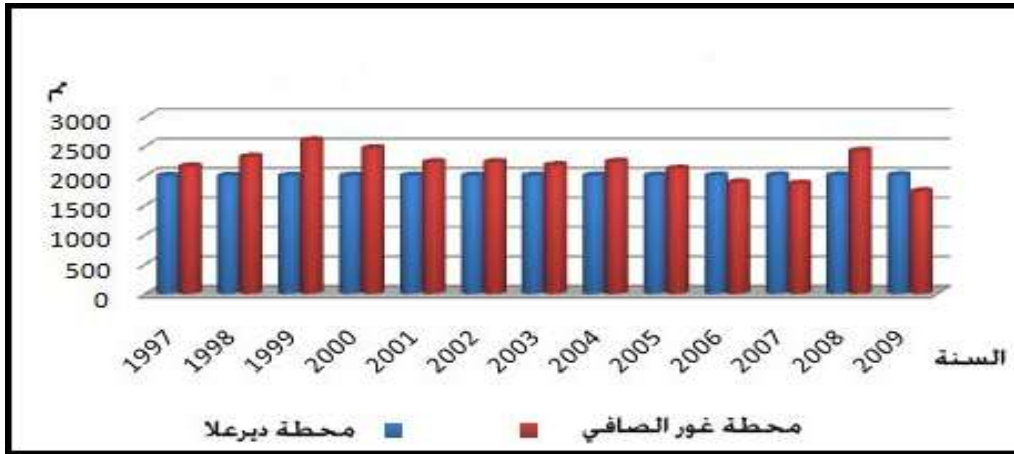
المصدر: اعداد الباحثة إعتماًداً على النشرات السنوية دائرة الارصاد الجوية، 2009م

2 - 6 - 3 الرطوبة النسبية :

تتباين الرطوبة النسبية ما بين المناطق الشمالية والجنوبية، في محطات منطقة الدراسة حيث وصلت الرطوبة النسبية في جنوب البحر الميت محطة غور الصافي الى 51 % وترتفع أحياناً لتصل الى 60%، وسبب ارتفاعها هو الاستجابة لعنصر الارتفاع عن مستوى سطح البحر ما بين المناطق الشمالية والجنوبية وتأثير العناصر المناخية الأخرى .

2 - 6 - 4 التبخر :

تعتمد كميات التبخر على العناصر المناخية الأخرى من درجات حرارة ورطوبة نسبية وسرعة الرياح بالإضافة الى درجة حرارة سطح المياه وملوحتها حيث يتراوح مجموع التبخر الكامن بين 2000 ملم/ سنوياً في محطة ديرعلا و 2200 ملم /سنوياً في محطة غور الصافي والشكل (2 - 11) يوضح معدلات التبخر في الفترة بين (1997 - 2009) لمحطات ديرعلا وغور الصافي حيث يلاحظ ارتفاع معدلات التبخر في جنوب البحر الميت عن شماله وهذا يفسر تأثير عنصر التبخر على تناقص مساحة البحر الميت في المنطقة الجنوبية عنها في الشمالية وتأثر السواحل الجنوبيه عن الشمالية بالانحسار مساحاتها .



الشكل (2 - 11) المجموع السنوي للتبخر في محطات ديرعلا وغور الصافي الأرصاد الجوية 2009م.

2 - 7 الموارد الطبيعية والصناعية :

البحر الميت غني بالموارد المعدنية والأملاح، من البوتاس والبروميد والمغنيسيوم والأملاح وغيرها من المعادن، وقد تم إستغلالها على نطاق واسع من خلال شركات استثمارية، مما ساهم في خفض منسوب البحر الميت وتقلص مساحته، ومن هذه الأنشطة الصناعية الكبرى والتي تتواجد على طول الساحل الجنوبي للبحر الميت :

- **استخراج المعادن :** أنشأت شركة البوتاس العربية على الجانب الشرقي ويبلغ إجمالي الإنتاج الحالي من البوتاس والأملاح حوالي مليونين طن/سنويا من البوتاس وغيرها من الأملاح ، وهي في تزايد مستمر كما في شكل (2 - 12) حيث تزداد كميات الإنتاج من عام لآخر، وهذا يعني زياده في عمليات التبخر وبالتالي تسريع عملية إنخفاض منسوب البحر وتقلص مساحته، وتراوحت كميات المياه المستهلكة على الجانب الاردني حوالي 200 مليون متر مكعب سنويا، بالمقابل على الجانب الغربي شركة البوتاس الاسرائيلية، التي بلغ إجمالي إنتاجها من البوتاس حوالي 2.5 مليون طن/سنويا وكميات المياه المستهلكة حوالي 250 مليون متر مكعب (البوتاس، 2010)، وقد تأسست جملة من الشركات في المجال نفسه منها شركة مصنع البروميد، ومصنع ملح الصافي والتي تمتلك قدره على إنتاج 1.5 مليون طن من الاملاح الصناعية وغيرها من أصناف الملح للغذاء .



الشكل (2 - 12) كميات إنتاج شركة البوتاس العربية من (1986 - 2009 م) .

المصدر : إعداد الباحثة بالإعتماد على بيانات شركة البوتاس العربية 2009م .

- صناعة مستحضرات التجميل :

أنشئ على الجانب الشرقي العديد من المصانع الصغيرة التي تعمل في مجال صناعة مستحضرات التجميل، إنتاجها منخفض لا يغطي سوى نسبة قليلة من السوق الدولي لمنتجات البحر الميت، أما على الجانب الغربي هناك عدداً من مصانع مستحضرات التجميل وكميات إنتاجها مرتفعة يغطي حوالى 58 % من السوق الدولية لمنتجات البحر الميت ويصدر حوالى 91 % من انتاجه (Dead Sea Report, 2005) .

- إستخراج المواد الخام :

تركز هذه الصناعات على إستخراج الغرين ، والرمل ، والحصى كمواد أساسية للبناء وتوجد في مناطق غور الرامة والكرامة وماعين .

- الزراعة الصناعية :

أقيمت مصانع لتعبئة الفواكة والخضروات وتصنيفها ، بالإضافة الى بعض الصناعات التي تدعمها منها مصانع البوليسترين على كل من الجانبين وغيرها من الصناعات الناشئة .

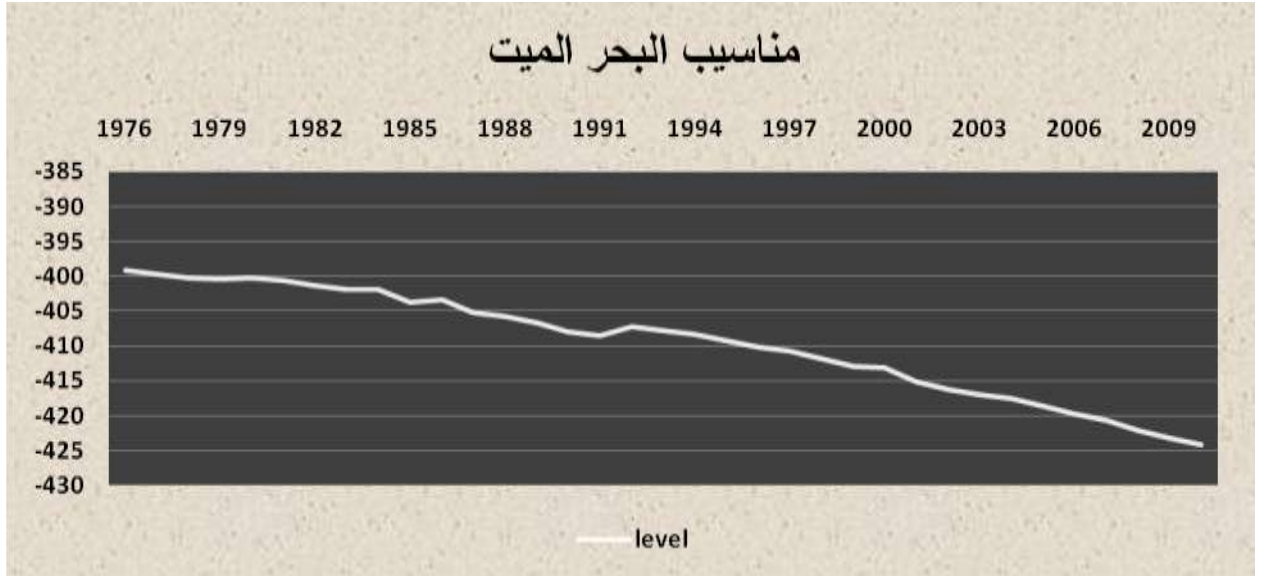
(FOEME ,1996) .

8 - 2 السجل التاريخي لإنخفاض منسوب البحر الميت :

تغير منسوب البحر الميت مرات عديدة في الأزمنة السابقة ، ففي الفترة الممتدة بين 1400 ق.م إلى 800 ق.م وصل فيها مستوى سطح البحر ، بحدود 385م تحت سطح البحر ، ومن القرن الأول الميلادي الى عام 1950 م، وصل مستوى سطح البحر حوالي 392 م تحت مستوى سطح البحر، وكانت العوامل المناخية وارتفاع نسبة التبخر وتباين كميات الأمطار من أهم العوامل التي أثرت في إنخفاض منسوب البحر (Frumkin.et al .2001) .

في الفترات السابقة كانت نسبة ما يفقده البحر الميت بالتبخر تقريبا مساوية لما يتدفق اليه من مياه ، وبعد عام 1963 ونتيجة لتحويل مياه الرافد الرئيس للبحر الميت (نهر الأردن) وإقامة المشاريع المائية على مصادر المياه التي تغذي مياه البحر الميت وبالتالي انخفض منسوبه وتناقصت مساحته حتى جف الجزء الجنوبي نهائيا في عام 1990 م .

الشكل (2 - 13) يوضح مستوى سطح البحر الميت بين أعوام 1976 م - 2010 م ، نلاحظ التدرج في انخفاض منسوب البحر الميت ، حيث إنخفض منسوب البحر الميت حوالي 25م تحت مستوى سطح البحر خلال 34 عاما ، ويلاحظ مقدار تأثير عام 1991 م على إرتفاع منسوب البحر حيث شهدت تلك السنة هطولا كثيفا للأمطار.



الشكل (2 - 13) مستوى سطح البحر الميت للفترة من (1976 - 2010 م) .

المصدر : إعداد الباحثة اعتماداً على بيانات شركة البوتاس العربية 2010 م

أما بالنسبة لمعدلات انخفاض منسوب البحر الميت لنفس الفترة (1976 – 2010 م) كما في الشكل (2- 14) يتضح ان المعدل العام لانخفاض مساحة البحر الميت بمعدل 80 سم سنوياً وتعد سنة 1980 أقل السنوات إنخفاضاً في المنسوب إذ وصل بحدود 30 سم فيها وأعلاها كانت في سنة 1987 والتي كانت بداية إختفاء الجزء الجنوبي حتى اختفى نهائياً في عام 1990



الشكل (2 - 14) معدلات إنخفاض منسوب البحر الميت (1976 – 2010) .

المصدر : إعداد الباحثة إعتماًداً على بيانات شركة البوتاس العربية 2009 .

2 - 9 السكان

يتمركز السكان في المناطق المحيطة بالبحر الميت على الجانبين الشرقي والغربي، الأردنيون على الجانب الشرقي ، والفلسطينيون والإسرائيليون على الجانب الغربي ، سكان حوض البحر الميت مختلفو الثقافات والأقتصاد والسياسة ، ويعتمد السكان بالدرجة الاولى على زراعة المحاصيل الغذائية، وأكبر نشاط اقتصادي هو إستخراج المعادن وأهمها البوتاس والبروميد، وتعد السياحة مورداً هاماً في هذه المناطق ومساهما في الناتج الاجمالي المحلي.

(DeadSea Report,2006)

- السكان على الجانب الشرقي (الأردنيين) :

يقدر عدد السكان بحوالي 54000 نسمة، ففي المناطق القريبة من الساحل يبلغ عدد سكانها حوالي 17 ألف نسمة موزعين على النحو التالي، منطقة غور المزرعة، وهي أقرب المناطق الى الساحل حيث تبعد 2 كم عن الساحل ويسكنة حوالي 5500 نسمة، غور الصافي

يبعد حوالي 30 كم ويبلغ عدد سكانه حوالي 9500 نسمة، أما مدينة البوتاس العربية تبعد حوالي 10 كم وعدد سكانها 2000 نسمة (دائرة الإحصاءات العامة، 2010)، يعمل غالبيتهم في زراعة الفواكة والخضروات، وتشهد هذه المناطق كثافة سكانية أعلى منها في الجانب الغربي. وتقع شركة البوتاس العربية على الجانب الشرقي من البحر الميت، وتوظف حوالي 300 شخص بالإضافة إلى إقامة بعض الفنادق على هذا الجانب، ويتميز سكانه بانخفاض معدل دخلهم المعيشي (شركة البوتاس العربية، 2010).

- السكان الفلسطينيون: على جانب البحر الميت الغربي يقيمون في تجمعات حضرية، وريفية وفي مخيمات اللاجئين، وقدراً أعداد السكان في عام 2002 حوالي 512.238 نسمة، وتقع معظم التجمعات في الجزء الغربي، ويعتمدون على تربية المواشي (الأغنام والماعز)، ويمارسون الزراعة الحقلية والصناعات التحويلية وبشكل عام مستوى دخلهم المعيشي منخفض جداً.

- الإسرائيليون: على الجانب الغربي أيضاً يوجد مجموعة من المستوطنات الإسرائيلية الزراعية التي تسمى (الكيوتسات)، ويسكن فيها حوالي 1500 نسمة أقل كثافة سكانية من المناطق الأخرى، يزرعون الخضروات، وأكبر نشاط صناعي هو التعدين في البوتاس، والمستوى المعيشي مرتفع مقارنة بباقي سكان المنطقة (Dead Sea Report, 2006).

الفصل الثالث

منهجية حساب المساحات وتصنيف الأراضي في منطقة البحر الميت باستخدام تقنيات الاستشعار عن بعد ونظم المعلومات الجغرافية .

3 - 1 تمهيد

3 - 2 الإجراءات المتبعة لمعالجة المرئيات الفضائية وتفسيرها

3 - 3 تصنيف المرئيات الفضائية

3 - 4 مؤشرات حساب مساحة البحر الميت باستخدام تقنيات (GIS & R.S)

3- 1 تمهيد:

يختلف تفاعل الأشعة الكهرومغناطيسية مع أسطح الأهداف الأرضية؛ وذلك لأن الغطاء الأرضي عبارة عن المواد والأجسام المكونة له، وبذلك يختلف تفاعل الأشعة الكهرومغناطيسية الساقطة على هذه الأجسام من انعكاس وامتصاص حسب خصائص الأجسام وصفاتها، وبذلك يمكن تمييز المعالم الأرضية من تربة ونبات وماء من خلال الانعكاسات الطيفية المختلفة التي تظهر على المرئية وتساعد تقنيات الاستشعار عن بعد ونظم المعلومات الجغرافية في مراقبة الظواهر وتحليلها على الأرض ويمكن من خلال تقنيات الاستشعار عن بعد ونظم المعلومات الجغرافية من مراقبة وحساب مساحات المسطحات المائية وتصنيف الغطاءات الأرضية ، وحساب نسبة التغير في كل الأصناف المكونة للغطاء الأرضي والتي تؤثر في تشكيلها (Lillesand,et.,2004).

3- 2 الإجراءات المتبعة قبل البدء بمعالجة المرئيات

3- 2- 1: البرمجيات المستخدمة في الدراسة Pre-processing Step

الجدول (3- 1) يوضح البرمجيات المستخدمة وطرق المعالجة التي تمت عليها والمرئيات التي تم استخدامها لتحقيق أهداف الدراسة.

3- 2- 2: المرئيات الفضائية المستخدمة في الدراسة :

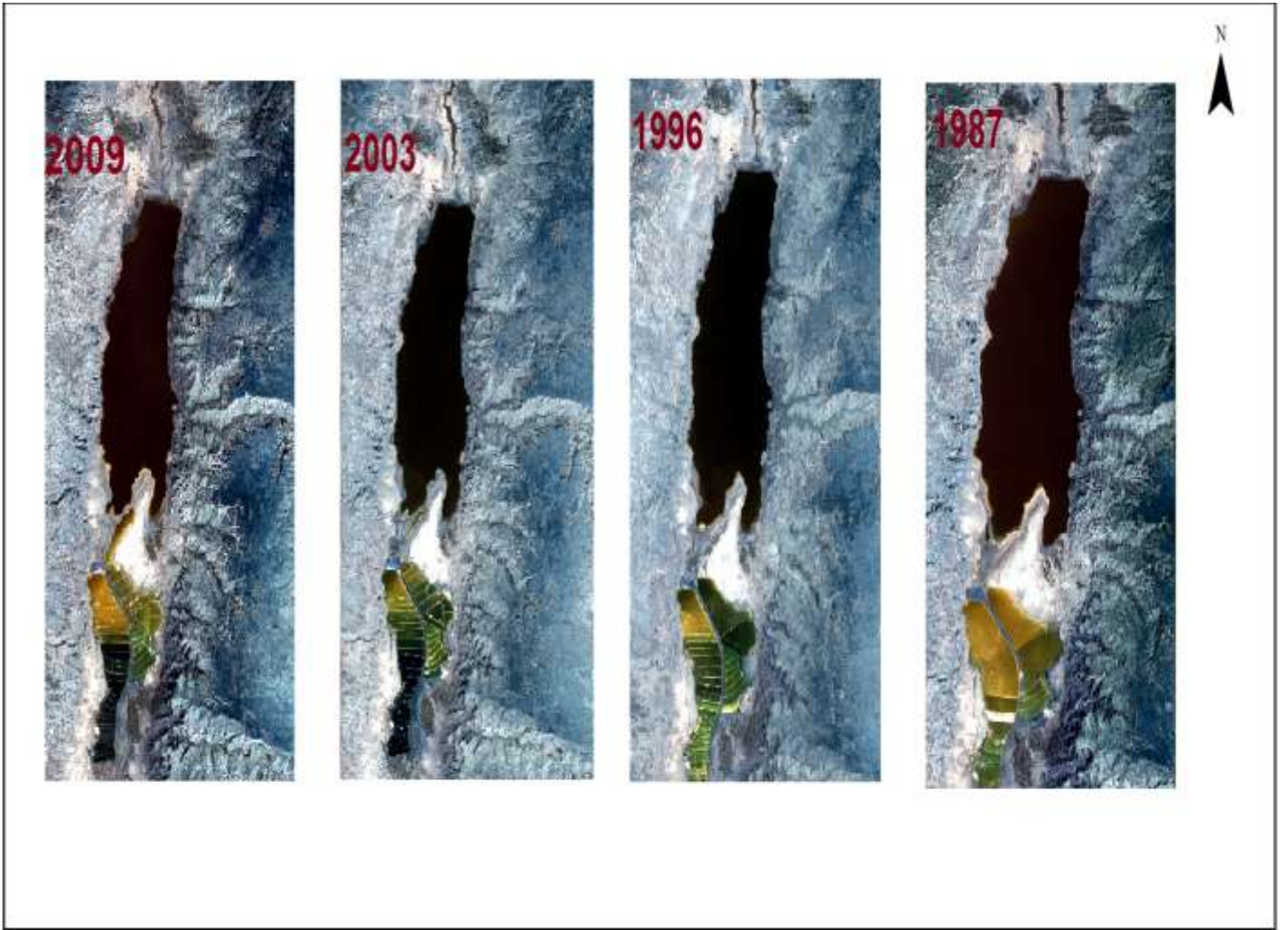
استخدمت أربع مرئيات فضائية لمنطقة البحر الميت من القمر الصناعي لاندسات -Landsat TM - Thematic Mapper (التي استطاعت الباحثة من الحصول على بعضها وشراء بعضها) بيانات خالية من السحب، والملتقطة في سنوات مختلفة وهي آذار 1987 تموز 1996، وتشيرين أول 2003 وكانون ثاني 2009، كما في الشكل (3- 1). تتميز بيانات Landsat TM بتعدد أبعادها الطيفية وإتساعها، (أطوال الموجات التي تم التقاط البيانات عليها)، حيث يسجل البيانات على سبعة موجات طيفية، ثلاث منها في الجزء المرئي وموجه تحت الحمراء القريبة وموجتان تحت الحمراء المتوسطة، وموجة تحت الحمراء الحرارية، حيث ان الموجتان تحت الحمراء المتوسط تعطيان تمييزاً أعلى وأفضل، مما يوفر أكبر قدر من المعلومات عن منطقة الدراسة وله القدرة على تمييز مكونات السطح على مساحة 30 متراً في جميع النطاقات

إلا النطاق السادس حيث تبلغ الدقة المساحية له 120م، والجدول (3 - 2) والذي يبين المواصفات الفنية للاقط TM- landsat وقد استخدمت جميع الموجات باستثناء الحزمة تحت الحمراء الحرارية في حساب مساحات البحر الميت وتصنيف الغطاء الأرضي للمنطقة كما ويبلغ متوسط إرتفاع المدار لقمر اللاندسات حوالي 705كم، أما مجموع العرض الكلي للمرئيات الفضائية حوالي 185كم، وفترة تغطيته للأرض حوالي 16يوم .

الجدول (3 - 1) البرمجيات المستخدمة في الدراسة و طرق المعالجة التي تمت عليها .

| الرقم | اسم البرمجية | طرق المعالجة التي تمت عليها | المرئية المستخدمة |
|-------|------------------|--|---|
| 1 | Arc GIS | بناء قاعدة بيانات جغرافية حساب مساحة البحر الميت لسنوات الدراسة انتاج خرائط الخصائص الطبيعية، درجات الانحدار وخطوط الإرتفاعات الرقمي | مرئيات القمر الإصطناعي الراسم الموضوعي Landsat TM لسنوات 1987 1996 ، 2003 و 2009 |
| 2 | Geomatica PCI | قص المرئيات، حساب المساحات باستخدام المعادلات الخاصة بكل مؤشرون مؤشرات المستخدمة NDWI MNDWI ، التصنيف الغير موجه والتصنيف الموجه | Landsat TM لسنوات 1987 1996 ، 2003 و 2009 |
| 3 | Envi 4 .5 | تجميع المرئيات Layer Stacking التصحيح الإحداثي | LandsatTM 2003 و 2009 |
| 4 | Global Mapper | انتاج خرائط الخصائص الطبيعية نموذج الارتفاعات الرقمية وعمل shapefile لمنطقة البحر الميت | مرئيات القمر الاصطناعي Aster-2009 |
| 5 | Photoshop | الإخراج النهائي لبعض الخرائط | جميع المرئيات المستخدمة السابقة |

المصدر : إعداد الباحثة



الشكل (3 - 1) المرئيات الفضائية المستخدمة في الدراسة للقمر لاندسات Landsat TM من خلال تركيب لوني حقيقي (R.G.B) .

الجدول (3 – 2) المواصفات الفنية لنطاقات مرئيات اللاندسات Landsat TM المستخدمة

| النطاق | المنطقة الطيفية | الإستخدام |
|--|---------------------------|--|
| TM1 (الأزرق) | 0.45 – 0.52 μm | التمييز بين التربة/ والنبات/والمناطق الحضرية والدراسات الساحلية |
| TM2 (الأخضر) | 0.52 – 0.6 μm | التمييز بين الأنواع النباتية/تحديد المناطق الحضرية |
| TM3 (الأحمر) | 0.63 – 0.69 μm | الدراسات الحيوية/تمييز المناطق المزروعة من غير المزروعة |
| TM4 (تحت الحمراء المنعكسة /القريبة) NIR | 0.76 - 0.9 μm | التمييز بين الأنواع النباتية/والمناطق الحضرية /ترسيم المياه والرطوبة |
| TM5 (الموجة تحت الحمراء المتوسطة) MIR | 1.55 - 1.75 μm | التمييز بين السحب والجليد |
| TM6 (تحت الحمراء الحرارية TIR) | 10.4 – 12.5 μm | الدراسات الحرارية/المناطق الحضرية /المياه |
| TM7 (تحت الحمراء المنعكسة / المتوسطة) MIR | 2.08 – 2.35 μm | دراسات الأرض/ تمييز الصخور وانواعها |

المصدر: (Lillesand,et.,2004)

2-2-3 التصحيح الاحداثي أو الهندسي (Geometric Correction)

تحتوي المرئية الخام على تشوهات جيومترية، بحيث لا يمكن أن نتخذ منها خرائط أو قياسات مباشرة، وتصنف هذه التشوهات إلى تشوهات داخلية ناتجة عن تصميم المجس، وتشوهات خارجية ناتجة عن تغير ارتفاع منصة المجس، وارتفاع القمر الصناعي بحيث تتغير مواقع الوحدات الأساسية للخلايا المكونة للمرئية الفضائية عن مواقعها الجغرافية الحقيقية مما يؤدي الى تغيير إحداثياتها الرأسية والأفقية (المقطيري ، 2004) ، والهدف من التصحيح الهندسي هو تصحيح هذه التشوهات بحيث تكون الصور المصححة موحدة إحداثياً مع الخارطة، ينفذ التصحيح الجيومتري عن طريق ربط المرئية بنقاط الضبط المعروفة بنقاط التحكم الأرضي Ground Control Points (GCPs) واختيار معادلة للتحويل بحيث تصبح هذه البيانات الرقمية ممثلة للواقع وتعرف هذه العملية بالمعالجة الأولية (Pre-processing)

(المقطيري، 2004) .

في هذه الدراسة تم تنفيذ عملية التصحيح الجيومتري للمرئيات الفضائية بتحديد الإحداثيات الفلكية للمرئيات المستخدمة غير مصححة 1987، 1996، 2003 بتجميع نقاط التحكم الأرضي من خلال المرئية الفضائية المصححة 2009 بحيث أختيرت نقاط ثابتة ومتميزة ضمن خطأ متوسط الجذر التربيعي (Root Mean Square Error- RMSE) أقل من نصف بكسل وموزعة بشكل جيد للمرئيات وفي هذه المرحلة تم توحيد وتحويل النظام الإحداثي للمرئيات المستخدمة في الدراسة الى نظام ميركاتور المستعرض العالمي Universal Transverse Mercator (UTM Zone 36N) وذلك لانه من أكثر الأنظمة شيوعاً وإستخداماً، ضمن نطاق (36 N)، مما يسهل تطابق ودمج قاعدة البيانات الجغرافية باستخدام برمجيات نظم المعلومات الجغرافية، وبرمجيات الاستشعار عن بعد ومن ثم عمل قص لمنطقة الدراسة (Image Subset) بتحديد الإحداثيات.

3 - 2 - 3 مرحلة تحسين المرئيات الفضائية : Image Enhancement

تمت هذه العملية بعد إنجاز المعالجة الأولية (التصحيح الهندسي) ، يهدف تحسين المرئية إلى تعزيز قابلية التفسير البصري للمرئية بزيادة التميز بين المعالم عن طريق التضخيم البصري للاختلافات الضئيلة بين المعالم في التدرج الرمادي ، لتسهيل إمكانية ملاحظتها .

ومن العمليات المعروفة تحسين التباين (Contrast Enhancement)، باستعمال طريقة ضبط مخطط توزيع التباين أو المدرج التكراري، وقد أجري في هذه الدراسة تحسين للمرئيات الفضائية Landsat – TM المستخدمة للفترة 1987 و 1996 و 2003 و 2009 باستخدام مقياس اللون الرمادي (Gray Scale Conversion) لعدد من النطاقات الطيفية لكلا المرئيتين وكذلك تغيير مخطط التوزيع مخطط المدرج التكراري (Histogram Conversion) الذي يعمل على تجميع القيم الرمادية المتجاورة للحزمة الطيفية ووضعها ضمن مجموعات محددة مما ينتج مستوى طيفيا جديدا بالإضافة الى استخدام التركيب اللوني (Color Composition) لمعظم النطاقات بإجراء تركيب لوني حقيقي (True Color Composition) باستعمال الأحزمة الطيفية 1 . 2 . 3 (R.G.B) على التوالي لرؤية أنماط الغطاء الأرضي بألوان أقرب ما تكون الى الواقع كما أجري تركيب لوني زائف (False Color Composition) باستعمال الأحزمة الطيفية 4.2.1 (R.G.B) على التوالي للكشف عن حالة الغطاء النباتي ومدى انتشاره بالإضافة الى إجراء تركيب لوني زائف (F.C.C) باستعمال الأحزمة الطيفية 7.4.2 (R.G.B) على التوالي للكشف عن المناطق الحضرية المبنية وتوزعها، وذلك بهدف تصنيف أنماط الغطاء الأرضي في منطقة الدراسة وإجراء التصنيف الرقمي لمنطقة الدراسة و الشكل (3-1) الذي يوضح المرئيات المستخدمة في الدراسة بتركيبها اللوني الحقيقي .

3 - 2 - 4 تفسير المرئيات Image Interpretation

تفسير المرئية هو عملية قراءة واستخلاص نوعي وكمي للمعلومات من المرئية وتحويله إلى هيئة خرائط خاصة بالشكل، والمواقع ، والبنية، والوظيفة ، والحالة أو النوعية بين الأهداف بواسطة استخدام بيانات إستدلالية إنشادية معيارية باستخدام المعرفة البشرية أو الخبرة بينما يتضمن تحليل المرئيات الفضائية الفهم الخاص للعلاقة بين المعلومات المفسرة والحالات الفعلية او الظاهرة الطبيعية، وتمثيل المعلومات المستخلصة بصورة نهائية في هيئة خرائط

تفسيرية أو تحليلية تمتاز بدقة منخفضة لا تفي بالغرض المطلوب دون الدراسات الميدانية،
الضرورية لتأسيس مفاهيم وإعداد خريطة الأساس الأولية لموضوع الدراسة
(المقطيري, 2004).

أجري في هذه المرحلة تفسير للمرئيات الفضائية المستخدمة في الدراسة، بالإضافة إلى استخدام
الصور الجوية المتاحة عبر الشبكة العنكبوتية من خلال رابط برنامج (Google Earth)
كخطوة أولية لتحديد أصناف الغطاء الأرضي .

3 - 3 التصنيف الرقمي للمرئيات الفضائية

يتم استخدام بيانات متعددة الأطياف في عملية التصنيف، لأن النمط الطيفي يحدد
تصنيف كل خلية وتعد هذه التقنية من أفضل الأساليب المتبعة في تحويل بيانات المرئية إلى
معلومات، بهدف وضع جميع خلايا المرئية في مجموعات حسب تجانسها وتمائلها على كل
خريطة وتمثيلها على شكل خريطة تصنيف يتم من خلالها تحديد المعالم وأصناف غطاءات
الأرض التي تمثلها خرائط كشف التغير في أنماط الغطاء الأرضي واستعمالات الأرض كذلك
فان الدقة في إنتاج مثل هذه الخرائط تعتمد بشكل أساسي على مقدار دقة عملية تصنيف مرئية
الدراسة، وهناك أسلوبان رئيسان في إجراء التصنيف الرقمي وهما التصنيف الموجه و
التصنيف غير الموجه (Lillesand,et al.,2004).

3 - 3 - 1 التصنيف الموجه Supervised Classification

يعتمد هذا الأسلوب على اختيار مواقع صغيرة وهي عبارة عن مجموعات من العينات
المتجانسة داخل المرئية بالاعتماد على الخرائط، والمسح الميداني والخبرة في أصناف الغطاء
الأرضي لمنطقة الدراسة، بحيث تمثل مختلف أنماط الغطاء الأرضي واستعمالات الأرض في
منطقة الدراسة، وتشير هذه العينات إلى ما يسمى بمناطق التدريب Training area المناطق
المتشابهة طيفيا اعتمادا على بياناتها الرقمية ثم تحديد كل خلية في مجموعة معطيات المرئية في
نمط غطاء الأرض الأقرب لها من الناحية الطيفية (Lillesand, et al , 2004) وهذا
التصنيف يعطي نتائج دقيقة إذا كانت حقول التدريب تمثل الظواهر السطحية في المرئية جيدا .

3- 2- التصنيف غير الموجه Unsupervised Classification

تقوم هذه العملية على إظهار الخلايا الغير معروفة في المرئية ومن ثم تجميعها داخل صفوف وتعرف الأصناف الناتجة عن هذا التصنيف على أساس تقارب بياناتها الرقمية وتشابها في القيمة الرقمية أصناف طيفية، وهويتها غير معروفة وهنا يأتي دور المحلل لكي يحدد هوية الأصناف الطيفية وقيمة معلوماتها من خلال مقارنتها ببعض المعطيات المرجعية البسيطة كالصور والخرائط ذات المقياس الكبير، ومن هنا يتضح الفرق بين التصنيف الموجه والتصنيف غير الموجه ففي التصنيف الموجه تحدد المواقع داخل المرئية بالإعتماد على الخرائط و البيانات المأخوذة من العمل الميداني الحقلية، بينما في التصنيف غير الموجه تجمع المعالم الطيفية في المرئية وتوضع في صفوف منفصلة في البداية ثم نستخدم الخرائط وحقول الدراسة بناء على المعرفة المسبقة في ربط الأصناف الطيفية بأنماط الغطاء الأرضي ويستخدم التصنيف غير الموجه في المناطق التي تفتقر إلى معلومات أولية ولا تتوفر فيها مجموعة بيانات حقلية (المقطيري، 2004).

3 - 3 - 3 ترشيح او تصفية المرئية Image Filtering

تحتوي المرئيات المصنفة على خلايا لا تتبع لأصناف مشابه لصفاتها الطيفية فتتأثر على المرئية والهدف من الترشيح هو تحسين ظواهر معينة مثل مواقع المناطق الحضرية وتمييزها عن المواقع الأخرى (ALBilbisi & Tateishi, 2003).

3 - 3 - 4 الطريقة المتبعة في تصنيف مرئيات منطقة الدراسة :

تم الإعتماد في هذه الدراسة في عملية تصنيف بيانات القمر الصناعي الفضائية لاندسات لمنطقة الدراسة على طريقة احتمالية غاوس العظمى Maximum Likelihood classifier، كإحدى أساليب التصنيف الموجه حيث يتم وضع كل خلية في الصنف الأكثر احتمالية بالإعتماد على قيم إنعكاس هذه الخلايا . نتائج استخدام هذا الأسلوب اظهرت دقة بالنسبة للمياه وحدودها ، لذلك تم استخدام أسلوب احتمالية غاوس العظمى في عملية التصنيف الموجه .

- مناطق التدريب Tanning Area

في هذه المرحلة تحدد الفئات المتشابهة أو المتقاربة في النمط، وهذه العملية تتطلب تفاعلا كاملا بين المحلل والمرئية، كما يتطلب تحديد عينات التدريب معطيات مرجعية إحدائية، ومعرفة جيدة بمنطقة الدراسة، فعند جمع البيانات يؤخذ بعين الاعتبار أهم العوامل المؤثرة في غطاء الأرض واستخداماته؛ لأن معظم المعالم الطبيعية على سطح الأرض غير ثابتة ومتغيرة مع الوقت، وتظهر أهمية مناطق التدريب في اعتماد التصنيف الموجة للمرئية الفضائية عليها كليا وبالتالي تتوقف دقة نتائج الدراسة عليها، ولذلك تم الاعتماد في هذه الدراسة على مصادر بيانات ومعلومات مرجعية لتحديد مناطق التدريب أهمها المرئيات الفضائية المتاحة لحوض البحر الميت من القمر الصناعي لاندسات والملقطة في شهر آب 1987 وكانون ثاني 2009 والصور الجوية المتاحة عبر الشبكة العنكبوتية من خلال رابط Google Earth .

إضافة لإجراء التفسير البصري لتحديد نقاط التدريب بحيث تكون واضحة وممثلة لأنماط الغطاء الأرضي في منطقة الدراسة تم تحديد (100) عينة تدريب لتصنيف المرئيات الفضائية للكشف عن التغير في أنماط الأرض والذي تأثرت بإنخفاض منسوب البحر الميت وتقلص مساحته مع مراعاة التوزيع المكاني الجيد على إمتداد منطقة الدراسة والتركيز على إختيار مناطق تدريب تمتاز بالنقاء والوضوح حتى لا يحدث تداخل بين أنماط الإستجابة الطيفية في منطقة الدراسة والوصول الى دقة تصنيف عالية، وقد مثلت عينات التدريب جميع أنماط الغطاء الأرضي في منطقة الدراسة والتي بلغت خمسة أنماط وهي المياه وتمثل البحر الميت، الأراضي الحضرية والأراضي الزراعية والأراضي الجافة الجرداء ومنطقة التبخر (البوتاس)، وقد أختيرت عينات تدريب من منطقة الدراسة بالكامل .

تقييم دقة التصنيف Classification Accuracy Assessment

يتم تقييم دقة النتائج المخرجة لتحديد وحصر نسبة الخطأ في الخرائط المصنفة بمقارنة بيانات الخريطة المصنفة مع ما يقابلها من بيانات مرجعية من خلال النتائج التي تم الحصول عليها لاختبار الغطاء الأرضي .

أنواع دقة التصنيف المستخدمة في الدراسة :

- الدقة الكلية Overall Accuracy

يتم حسابها عن طريق استخدام مصفوفة الخطأ Error Matrix، تحسب بقسمة مجموع الخلايا التطابقية على المجموع الكلي لقيم الخلايا لذلك تسمى هذه العملية التقييم الكلي لتصنيف المرئية .

التقييم الجزئي : من خلاله يتم التعرف على مدى تقدير دقة التصنيف لكل نمط من - الأصناف ويتم بطريقتين هما:

- دقة المستخدم User Accuracy :

تمثل النسبة المئوية المتوقع أن تكون نمط إستخدام معين، وتحسب دقة المستخدم لكل نمط باستخدام مصفوفة الخطأ رقم الخلية القطري مقسوما على العدد الكلي للصنف الواحد .

- دقة المنتج Producer Accuracy :

وهي الخلايا التي تمتلك تصنيفا صحيحا في أنماط إستخدام الأرض، وتحسب من خلال قسمة رقم الخلية القطري على العدد الكلي للعمود الواحد.

مصفوفة الخطأ Error Matrix

تحتوي على مقارنة المرئية المصنفة مع البيانات المرجعية لأنماط الإستخدام الفعلي للغطاء الأرضي لمنطقة الدراسة التي تم الحصول عليها اثناء الدراسة الميدانية

(Lillesand,et al .,2004).

تصنيف المرئيات المستخدم في الدراسة:

تعددت أساليب تصنيف الغطاء الأرضي واستعمالات الأراضي حسب الهدف الذي وضعت من أجله ومستوى المساحة التي يمكن أن يغطيها التصنيف سواء أكان عالمي أم إقليمي أم محلي ونمط أساليب التصنيف من حيث الأصناف والمجموعات الرئيسية والفرعية التي يمكن تحديدها في كل مستوى من المستويات، وقد استخدم في هذه الدراسة أسلوب تصنيف الأراضي

التابع لمصلحة المساحة الجيولوجية الأمريكية (USGS) الذي وضعته جمعية الجغرافيين الأمريكيين والإتحاد الجغرافي العالمي ، بهدف إنتاج خرائط توزيع استعمالات الأراضي بالإعتماد على نظم المعلومات الجغرافية وتطبيقات الاستشعار عن بعد، يعد هذا التصنيف سهل ويمكن تعديله بما يتلائم مع ظروف منطقة الدراسة وإمكانياته الكبيرة في تصنيف جميع أشكال أنماط الغطاء الأرضي واستعمالات الأرض المساحية ،والخطية، والنقطية، ويتضمن تسعة أصناف رئيسية (Lillesand,et al.,2004).

وفي هذه الدراسة تم استخدام التصنيف الآتي لملائمته أنماط الغطاء الأرضي في منطقة الدراسة وهي :

- الأراضي الحضرية (Built Up Area)

وتشمل جميع المنشآت الحضرية وتضم المساكن المفردة أو المتعددة الطوابق والمباني الصناعية والتجارية والطرق والمواقف .

- الأراضي الزراعية (Agricultural Lands)

وتشمل جميع الأراضي المزروعة سواء أكانت محاصيل أم أشجار أم شجيرات وأعشاب .

- الأراضي الجرداء (Bare Lands) :

وتشمل الأراضي المغطاة بالصخور والرمال بجميع أنواعها.

- المسطحات المائية (Water) :

وتشمل في هذه الدراسة مياه البحر الميت حتى تتمكن الباحثة من حساب مساحتها الفعلية دون تدخل باقي المصادر المائية الأخرى المتوفرة في منطقة البحر الميت .

- أراضي وبرك البوتاس (التبخّر) Evaporation Ponds :

وتشمل مناطق التبخر والمستغلة من قبل الشركات الصناعية بمختلف منتجاتها .

للكشف عن التغير في أنماط الغطاء الأرضي في حوض البحر الميت صنفت مرئيات القمر للكامين آذار 1987- وكانون ثاني 2009 باستخدام التصنيف الموجه Land sat –TM

بطريقة إحصائية غاوس العظمى، وقد تم الاعتماد على أسلوب كشف التغير (DetectionsChange)، بإستخدام طريقة السلاسل الزمنية المتعددة

3 - 4 مؤشرات حساب مساحة البحر الميت المستخدمة في الدراسة :

3 - 4 - 1 تمهيد :

استخدمت تطبيقات الاستشعار عن بعد في تقييم وإدارة الموارد المائية، وإدارة المناطق الساحلية من خلال مراقبة وترسيم المياه المفتوحة، وقياس مساحات المسطحات المائية وتحديد أعماقها، ودراسة التغيرات التي تحدث في الشواطئ والجزر، واستخلاص مساحات المياه بعدة مؤشرات من بيانات المرئيات الفضائية وتمييزها عن باقي الأصناف الأخرى.

(Xu. H ,2006)

إن التغيرات التي حصلت على مساحة البحر الميت بسبب إنخفاض منسوبه و تقلص مساحته تتطلب مراقبة ورصد مساحة البحر من خلال الأقمار الصناعية وما تنتجه من مرئيات فضائية تسهل علينا عملية حساب مساحته، وبالتالي معرفة مقدار التغير على مساحة البحر الميت وتأثيره على البيئة المحيطة به، وتجري شركة البوتاس قياسات لمساحة البحر الميت، وتقدرها كل عام حسب معدل ومستوى انخفاض منسوب البحر، وقد جاءت دراسات عديدة لحساب مساحة المياه.

في هذه الدراسة تم استخدام عدة مؤشرات لقياس مساحة البحر الميت بناء على الصفات الطيفية للأشعة المنعكسة باستخدام بيانات القمر الصناعي لاندسات لسنوات متعددة ومقارنتها بالقياسات السابقة لمعرفة الطريقة المناسبة لحساب المساحة، أما السنوات التي اعتمدت لحساب مساحة البحر الميت فكانت 1987 و 1996 و 2003 و 2009 أول هذه المؤشرات :

3 - 4 - 2 بناء قاعدة معلومات جغرافية و حساب المساحات باستخدام GIS

تكمن أهمية نظم المعلومات الجغرافية في قدرتها على تنظيم البيانات والتحليل والمعالجة، من خلال برنامج Arc GIS، تم بناء قاعدة بيانات لكل سنوات الدراسة، وتصحيح الخريطة، وحتى يتسنى توضيحها أكثر تم عمل تحسين للمرئية، ومن ثم بناء الطبقات لجميع سنوات الدراسة، وتتبع مساحة البحر الميت من خلال عملية الترقيم On Screen Digitizing للخرائط المدخلة وحساب مساحاتها وعمل مطابقة لهم، ومن ثم الربط بين البيانات المستخلصة باستخدام

GIS والبيانات المستخلصة بواسطة الإستشعار عن بعد ومقارنة بين المساحات المستخلصة .

3- 4- 3 المؤشرات المستخدمة في الإستشعار عن بعد :

- طريقة التصنيف غير الموجه :

حسبت مساحة البحر الميت من خلال التصنيف غير الموجه باستخلاص المياه، حيث استخدم فيه خمسة اصناف ومن خلال 16 محاولة لإجراء التصنيف .

- مؤشر الاختلاف المائي المعايير NDWI

(Normalized Differences Water Index)

إن معظم الإشعاع الساقط على المياه تمتصه المياه أو تنفذه وقليل منها تعكسه، فالمياه تمتص معظم الموجات تحت الحمراء، مما جعل التباين بينها وبين مواد السطوح الأخرى كبيراً ، وينعكس منها حوالي 50 % في المرئيات المأخوذة في نطاق إشعاع الموجات تحت الحمراء القريبة والذي ينفذ الماء أغلبه منها (Curran ,1987).

مؤشر NDWI يمثل نسبة الفرق بين الانعكاسات الطيفية عند الطول الموجي تحت الحمراء القريبة والطول الموجي تحت الحمراء المتوسطة مقسوماً على مجموعهما، وفقاً للمعادلة التالية

$$NDWI = (NIR - MIR) / (NIR + MIR) \quad (Gao, 1996)$$

و يمثل في اللاندسات Landsat TM

$$NDWI = (TMB4 - TMB5) / (TMB4 + TMB5)$$

NIR = تمثل الأشعة تحت الحمراء القريبة وهو يمثل القيمة الانعكاسية على القناة الرابعة .

MIR = يمثل الأشعة تحت الحمراء المتوسطة ، ويمثل القناة الانعكاسية الخامسة .

حيث يستخدم للكشف عن المياه في المناطق التي يختلط فيها استخدام المياه مع الاستخدامات الأخرى (H.XU, 2006) .

مؤشر الاختلاف المائي المعايير المعدل :

(The Modified Normalized Differences Water Index)

يمثل نسبة الفرق في الانعكاسات الطيفية عند الطيف الأخضر والطول الموجي الأحمر المتوسط مقسوما على مجموعهما وفقا للمعادلة التالية :

$$MNDWI = (Green - MIR) / (Green + MIR)$$

ويمثل في Landsat TM

$$MNDWI = (TM B2 - TMB5) / (TMB2 + TMB5)$$

وقد استخدم هذا المؤشر لحساب مساحة المياه واستخلاصها من المناطق المبنية حيث يعطينا أكبر إستخلاص للمياه على الأشعة المنعكسة عن الطيف الأخضر (XU. H,2006)

الفصل الرابع

تقييم مؤشرات حساب مساحة البحر الميت
وتصنيف الغطاء الأرضي في حوض البحر الميت

4 - 1 التمهيد

4-2 تقييم مؤشرات حساب مساحة البحر الميت والآثار البيئية على تناقص مساحته

4 - 3 أنماط الغطاء الأرضي في منطقة البحر الميت .

4 - 4 التغيرات البيئية بين عامي 1987 و2009 والمشروع المقترح لحل مشكلة تناقص مساحته.

المؤشرات المستخدمة في حساب مساحة البحر الميت :

4 - 1 التمهيد :

يتناول هذا الفصل نتائج المؤشرات التي استخدمت في حساب مساحة البحر الميت باستخدام تقنيات نظم المعلومات الجغرافية، وتطبيقات الإستشعار عن بعد ومقارنتها ببعض طرق حساب المساحات التي قدمتها بعض الدراسات السابقة وبيانات شركة البوتاس العربية ، إضافة إلى اقتراح أفضل هذه المؤشرات والطرق في حساب مساحة البحر الميت والمساحات المائية ذات الظروف المتشابهة الطرق التي اتبعت من قبل بعض الدراسات السابقة لحساب مساحة البحر الميت :

- شركة البوتاس العربية : تجري الشركة حسابات لقياس مساحة البحر الميت سنوياً بناء على التغير في مستوى مياهه حيث تكون قياسات تقديرية بناء على المعدل في انخفاض مساحة البحر لسنوات بعيدة .

الجدول (4 - 1) يوضح مساحة البحر الميت ومعدل انخفاض منسوبه في السنوات المختارة للدراسة من خلال حسابات شركة البوتاس .

| السنة | مستوى سطح البحر / م | المعدل / سنوياً | المساحة / كم ² |
|-------|---------------------|-----------------|---------------------------|
| 1987 | -405.1 | -1.7 | 680 |
| 1996 | -410.1 | -0.8 | 660 |
| 2003 | -416.3 | -0.5 | 657 |
| 2009 | -423.2 | -1.3 | 600 |

المصدر : إعداد الباحثة بالإعتماد على بيانات شركة البوتاس العربية 2010 .

- حسابات هيئة المساحة الجيولوجية الإسرائيلية (2005) : قامت بحساب مساحة البحر الميت من خلال تقنيات نظم المعلومات الجغرافية من خلال Dead Sea Project .

- دراسة (AL-Hanbali . et al ,2006) من بين نتائج الدراسة توصل الباحثين لحساب مساحة البحر الميت من خلال الاستشعار عن بعد بطريقة التصنيف الموجه .

- دراسة (Qudah and Harahsheh,1994) قامت هذه الدراسة لحساب مساحة البحر الميت من خلال تقنيات نظم المعلومات الجغرافية واستخلاص مساحات للبحر الميت .

- (دراسة خرفان ،2004) قدمت الباحثة نتائج لمساحة البحر الميت المحسوبة لسنوات الدراسة باستخدام طريقة التقييم اليدوي باستخدام الطيف تحت الأحمر القريب NIR- B4 من مرئيات اللاندسات .

- دراسة (Anti and Shasha , 1989) قدمت هذه الدراسة تقديرات لمساحة البحر الميت بناء على ما تتعرض لها المنطقة من ظروف طبيعية خصوصا معدلات التبخر، والتساقط المطري، وكميات المياه المغذية للبحر الميت .

في هذه الدراسة تم حساب مساحة البحر الميت بعدة طرق باستخدام بعض المؤشرات مع مميزات كل طريقة والمآخذ عليها وهي كالآتي :

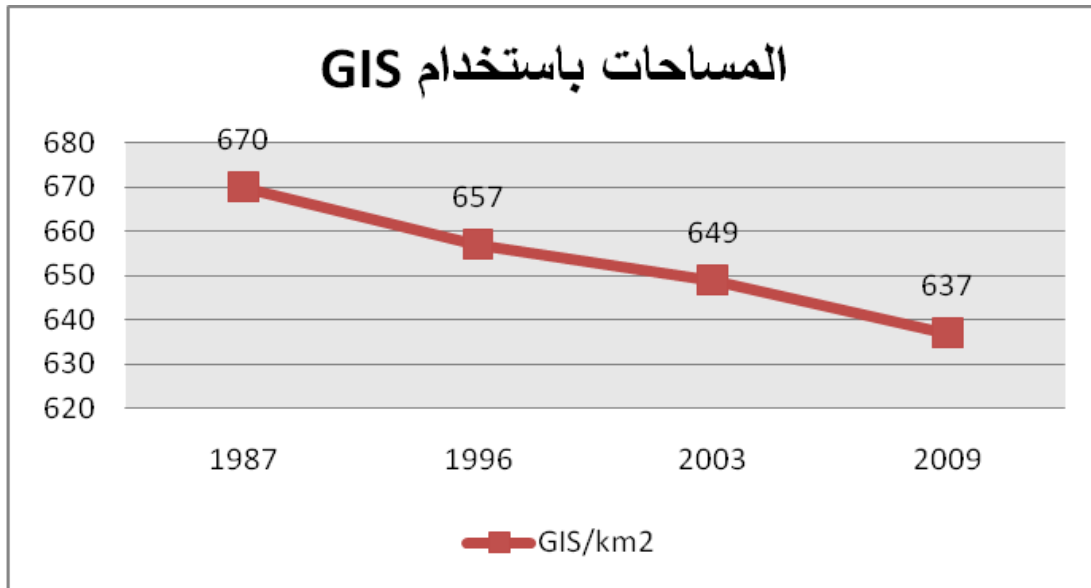
4 - 2 تقييم حساب مساحة البحر الميت باستخدام برنامج (GIS) :

تسهم نظم المعلومات الجغرافية في دعم وتحويل البيانات في هيئة Vector Data الى بيانات معرفة تنظيمية، تكمن أهميتها في قدرتها على تمثيل المعالم الجغرافية تمثيلاً دقيقاً مما يجعلها مفيدة في مهام التحليل المكاني والتي تتطلب تحديد المواقع بدقة، كما في التطبيقات الهندسية والمساحية، لذا تم استخدامها كإحدى الطرق لحساب مساحة البحر الميت وقد توصلت الدراسة الى النتائج الآتية :

الشكل (4 - 1) يوضح قيم المساحات المحسوبة للبحر الميت باستخدام برنامج GIS نلاحظ ان مساحة البحر الميت لعام 1987 حوالي 670 كيلومتر مربع، وفي عام 1996 وصلت إلى حوالي 657 كيلو متر مربع ، وفي عام 2003 وصلت الى 649 كيلومتر مربع وفي عام 2009 بلغت حوالي 637 كيلو متر مربع، حيث يظهر المنحنى في الشكل (4-1) تناقصاً واضحاً في المساحات بين فترات الدراسة، أما الشكل (4 - 2) يوضح الخرائط المستخلصة لمساحات البحر الميت المحسوبة بطريقة نظم المعلومات الجغرافية، حيث نلاحظ التناقص في مساحة البحر بين عامي 1987 و1996 حوالي 13 كم² وهذه الفترات شهدت إختفاء الجزء الجنوبي نهائياً بسبب المشاريع المائية التي أقيمت على المصادر المائية المغذية للبحر الميت من هذه

المشاريع سد وادي العرب المقام على وادي العرب وسد الكرامة في حوض الملاحه عام 1997 (وزارة المياه والري الأردنية، 2010) ، وازداد التناقص بين عامي 1996 و 2003 كمحصلة للتناقص خلال فترة الدراسة بين عامي 1987 و 2009 و التي بلغت حوالي 33 كم² نتيجة للأسباب البشرية التي لعبت الدور الرئيسي في تناقص منسوبه وتقلص مساحته .

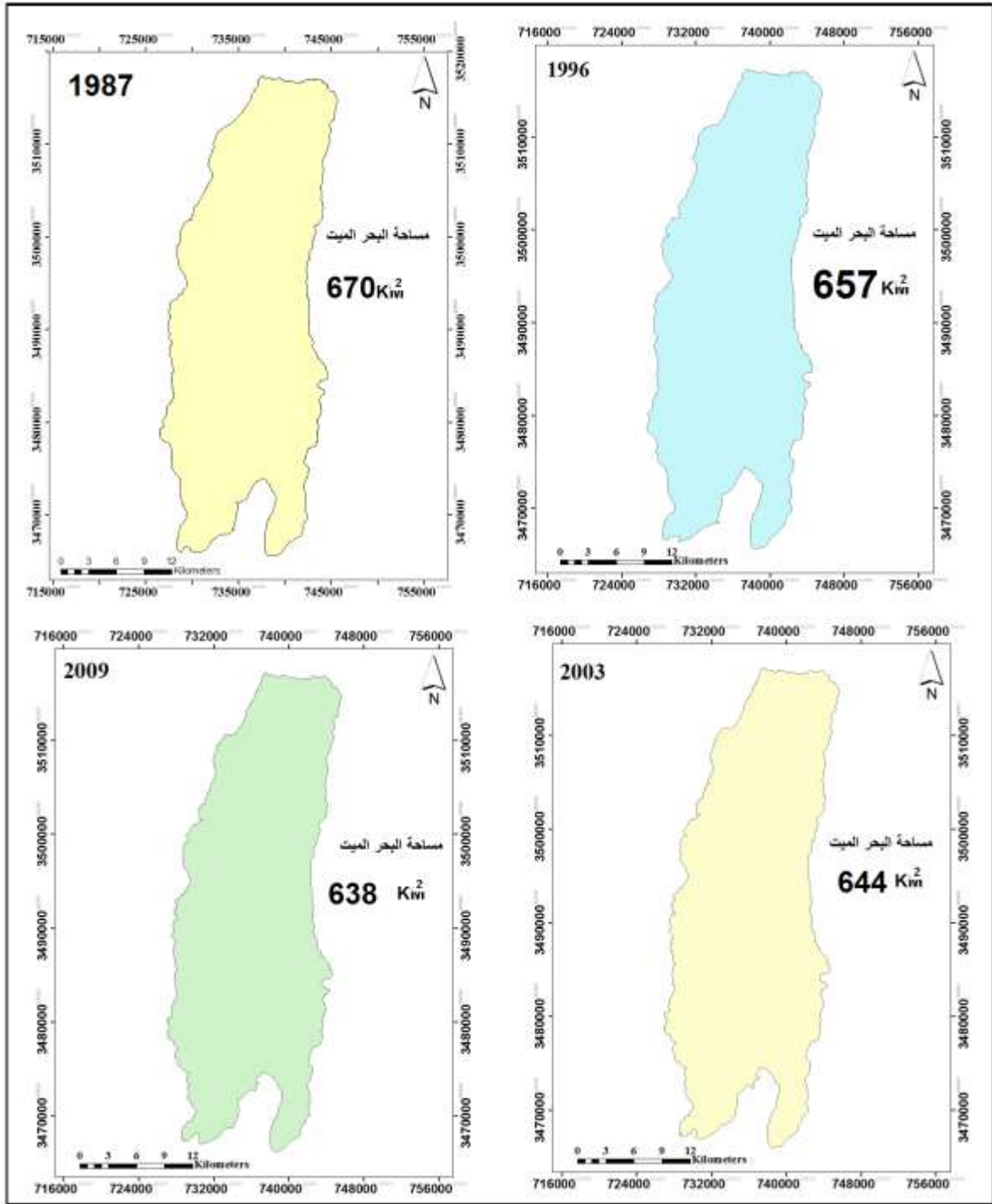
ما يميز طريقة GIS بناء قاعدة بيانات جغرافية يمكن الاستفادة منها في عمليات التحليل المكاني لمعظم التطبيقات ، من خلالها تم التعرف على أكثر سواحل البحر الميت تغيراً وتأثراً بتناقص مساحته من المآخذ على هذه الطريقة هو الاعتماد على قاعدة بيانات مرتبطة بقدرة تمييزية حوالي 30 متراً وهي متوسطة نسبياً، مما يصعب تمييز بعض الخلايا بعد التكبير عند حد معين، وإحتمال حدوث الخطأ البشري من خلال عملية الترقيم وفقدان بعض البيانات عند الرسم، مما يجعلنا نبحث عن طرق أخرى لحساب المساحة باستخدام برمجيات الاستشعار عن بعد والشكل (3 - 4) يمثل أكثر سواحل البحر الميت تغيراً وتأثراً والتي استخلصت بطريقة GIS.



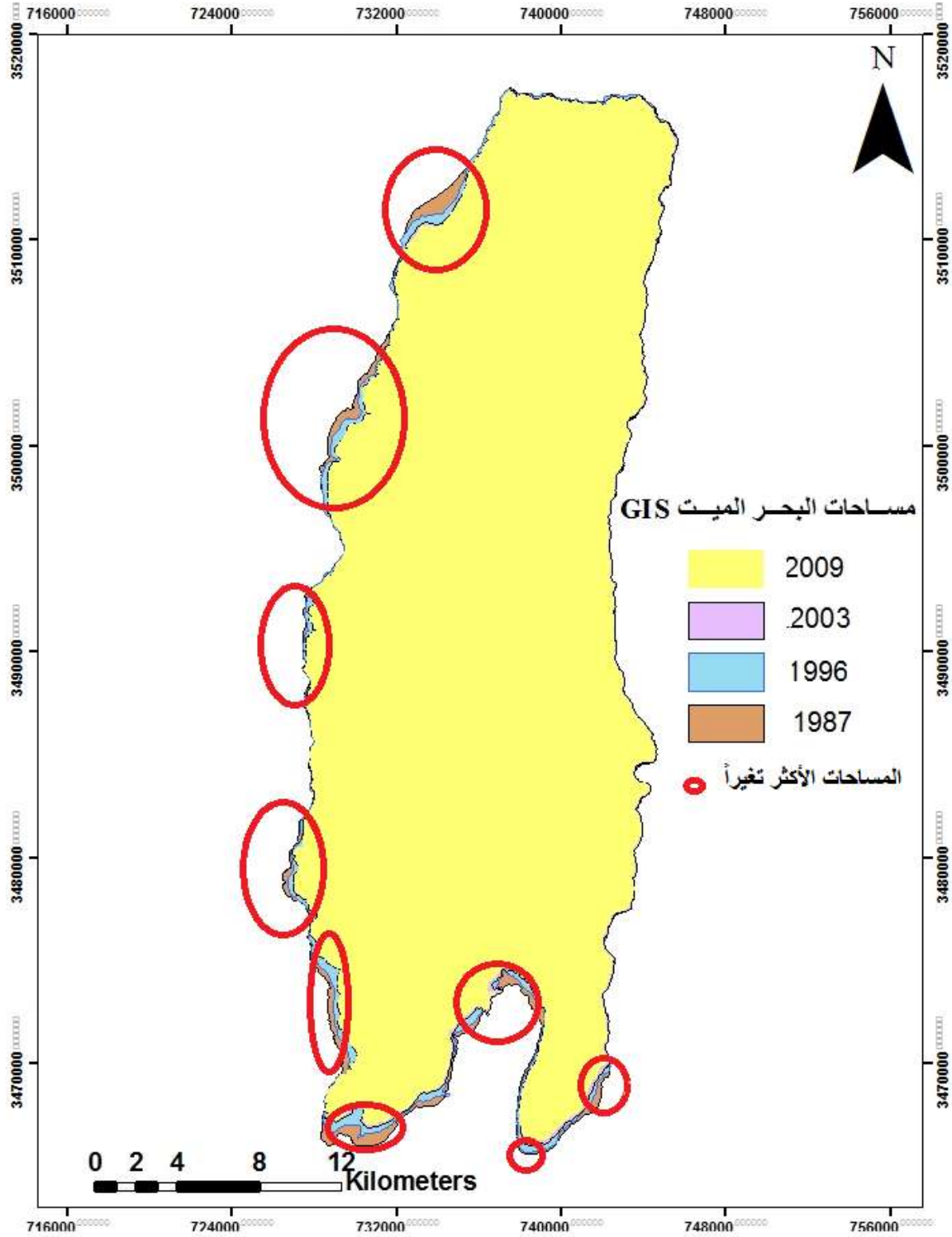
الشكل (4 - 1) قيم المساحات المحسوبة باستخدام برنامج GIS

المصدر: إعداد الباحثة

من الملاحظ أن الجزء الجنوبي أكثرها تناقصاً وتأثراً وخصوصاً مناطق أطراف منطقة اللسان من كل الجوانب، كما يلاحظ مقدار التغير في المساحات في الجانب الغربي من ساحل البحر الميت، كما في منطقة عين الجدي ومسعده .



الشكل (4 - 2) يوضح الخرائط المستخلصة لمساحات البحر الميت المحسوبة باستخدام GIS
المصدر : إعداد الباحثة



الشكل (3 - 4) المناطق الأكثر تغيراً وتأثيراً لمساحاتها بناء على طريقة GIS
المصدر : إعداد الباحثة

4 - 3 تقييم مؤشرات حساب مساحة البحر الميت باستخدام الاستشعار عن بعد (R.S) :

جاءت تطبيقات الاستشعار عن بعد، لتحديد ومراقبة الكثير من الظواهر المتوزعة على سطح الأرض، ومن هذه الظواهر تحديد امتدادات المسطحات المائية، ومراقبة التغيرات في الأجسام المائية بالإعتماد على الخصائص الطيفية والزمنية والمكانية للمرئيات الفضائية، ولصعوبة تحديد المسطحات المائية وإدارتها في أغلب الأوقات، جاءت تطبيقات الاستشعار عن بعد لمعالجة الكثير من القضايا المرتبطة بإدارة السواحل والمناطق القريبة وتنميتها .

تم في هذه الدراسة حساب مساحة البحر الميت باستخدام بيانات الماسح الموضوعي اللاندسات حيث يمكن حساب مساحة المسطحات المائية بطريقتين: باستخلاص المياه باستخدام طيف واحد محدد كما في دراسة خرفان، (2004) التي تم الاشارة اليها سابقا، وباستخدام أكثر من طيف (متعدد الأطياف) بتركيبية لونية مختاره تظهر المياه أكثر وضوحا ومن ثم استخدام معادلة معينة واستخلاص المياه وحساب المساحة .

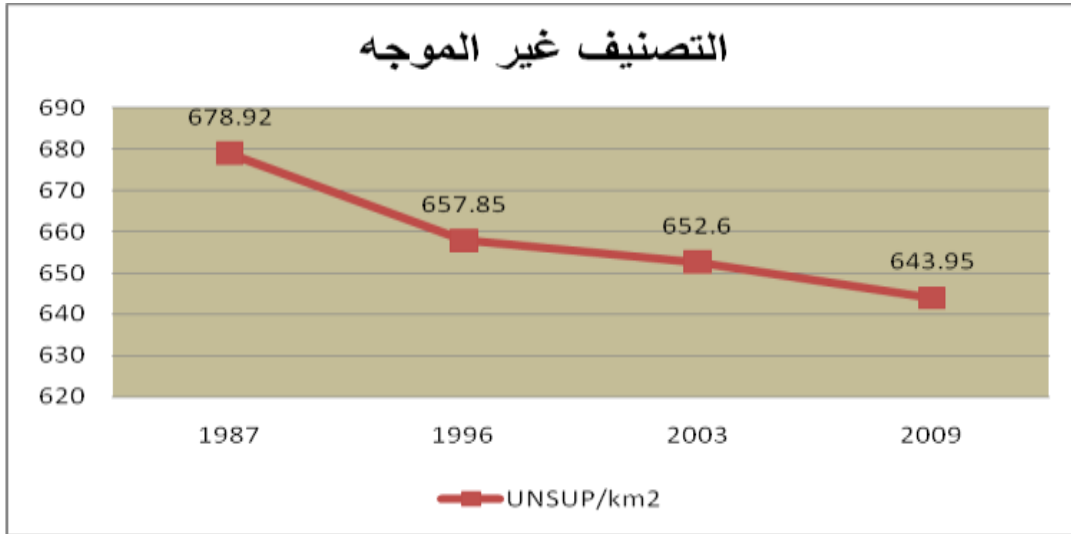
في هذه الدراسة استخدمت الباحثة عدة مؤشرات لحساب مساحة البحر الميت وهي كالتالي :

4 - 3 - 1 استخلاص المياه وحساب مساحة البحر الميت بطريقة التصنيف غير الموجه:

الشكلان (4 - 4) و (4 - 5) يوضحان نتائج حساب مساحة البحر الميت والتي كانت كالاتي:

بلغت عام 1987 حوالي 678.92 كم²، وفي عام 1996 بلغت حوالي 657.85 كم²، عام 2003 كانت المساحة المحسوبة حوالي 652.6 كم²، وعام 2009 بلغت المساحة 643.93 كم²

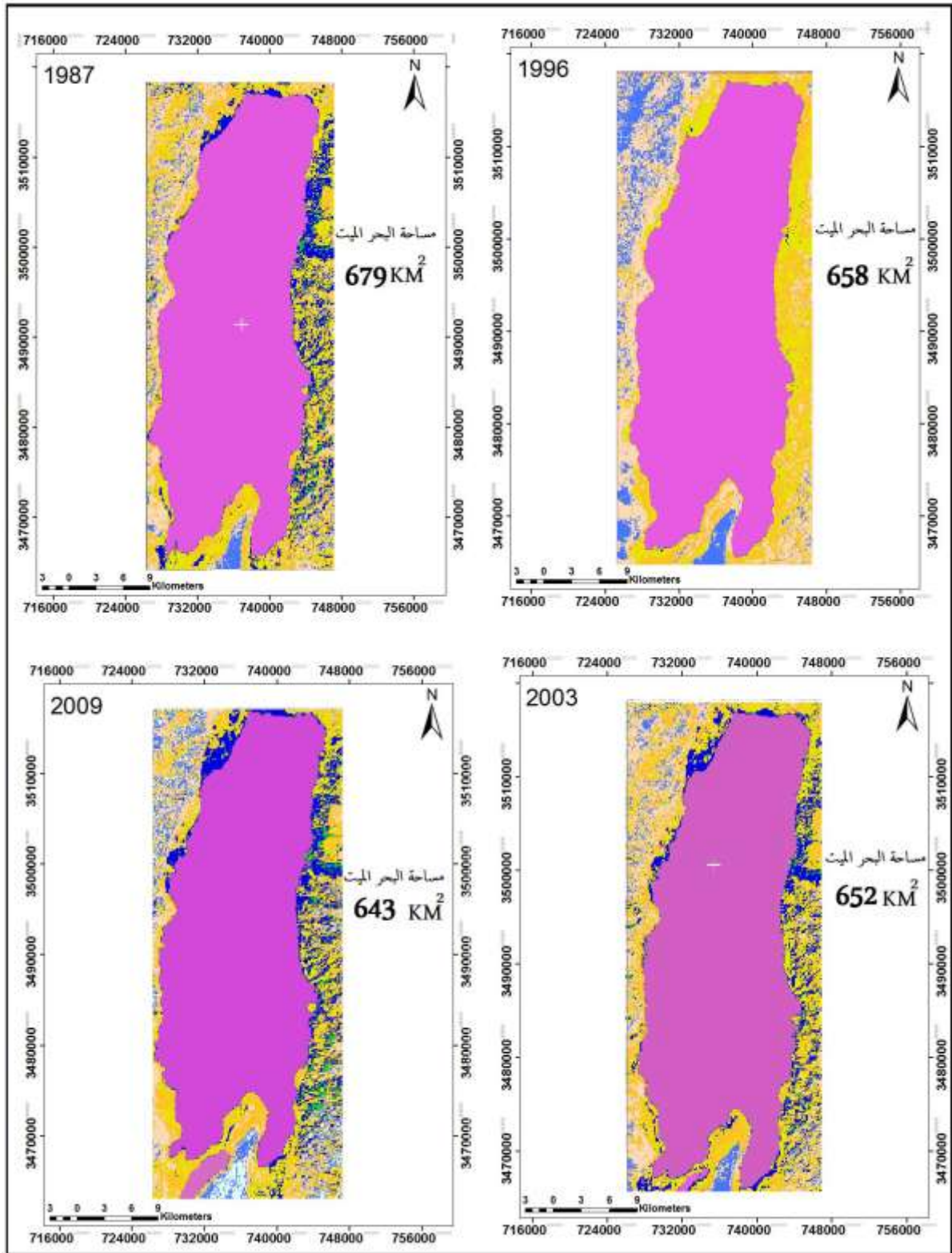
و الشكل (4- 5) يظهر نتائج حساب مساحة البحر الميت من خلال الخرائط المستخلصة .



الشكل (4 - 4) قيم مساحات البحر الميت المحسوبة بطريقة التصنيف غير الموجه .

المصدر: إعداد الباحثة

من خلال هذه الطريقة يمكننا الكشف عن أنماط الغطاء الأرضي الذي تتكون منه مناطق الدراسة، مما يمهد الطريق لإجراء التصنيف الموجه، والمأخذ على هذه الطريقة هو الخلط بين مناطق التبخر ومناطق المياه، وبالتالي يصعب إستخلاص المياه وحدها، ونتائجها كما في مرئيات 2003 و 2009 حيث حسبت أجزاء من منطقة التبخر ضمن مناطق المياه وبذلك ظهرت قيم المساحات مرتفعة نوعا ما .



الشكل (4 - 5) الخرائط المستخلصة لمساحات البحر الميت بطريقة التصنيف غير الموجه
المصدر : إعداد الباحثة

4 - 3 - 2 مؤشر الاختلاف المائي المعيار

(Normalized Differences Water Index) (NDWI)

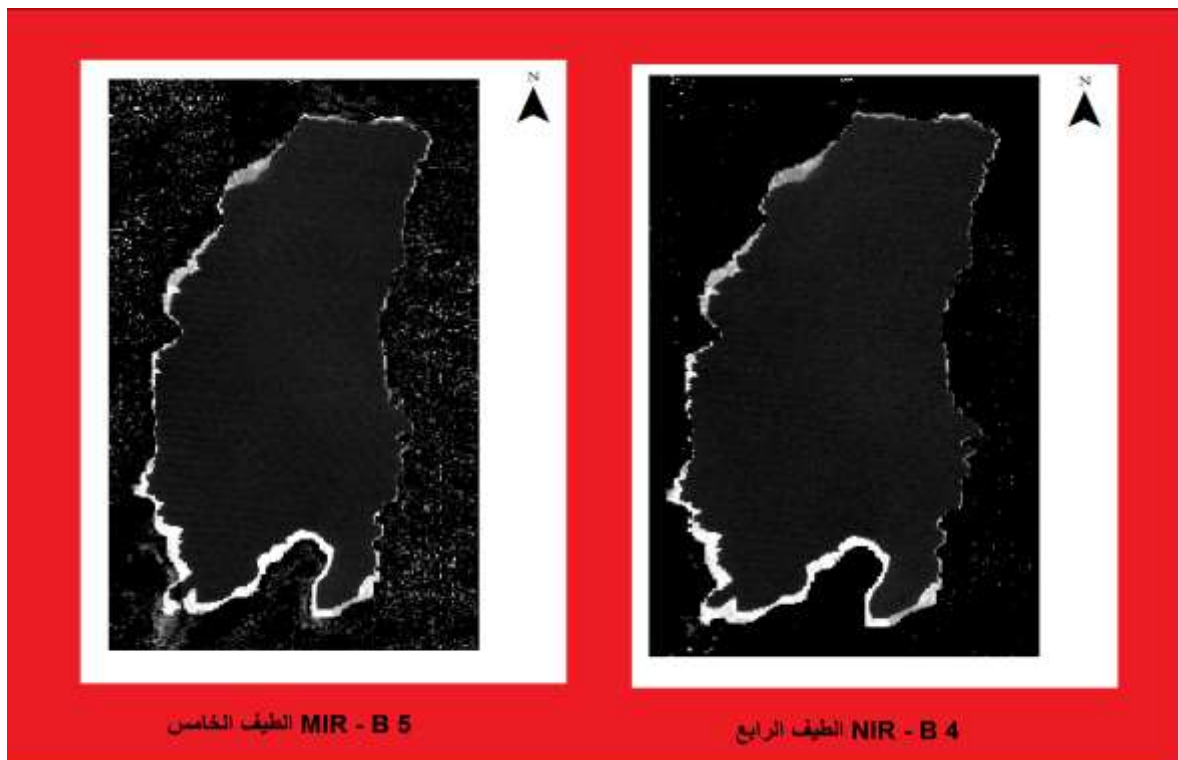
استخدم هذا المؤشر لحساب مساحة المياه عن طريق استخلاصها بتطبيق المعادلة الآتية واستخدم طريقة الأطياف المتعددة من خلال برنامج Geomatica PCI:

$$NDWI = (NIR - MIR) / (NIR + MIR) \quad (1996, Gao)$$

يمثل في اللاندسات Landsat TM

$$NDWI = (TMB4 - TMB5) / (TMB4 + TMB5)$$

في هذا المؤشر استخدم الطيف الرابع الأشعة تحت الحمراء القريبة، والتي تتميز بقدرتها على إستخلاص أكبر قدر من المياه واعطائها قيمة موجبة والطيف الخامس هو الطيف الأحمر المتوسط والذي يعطي المناطق التي لا تحتوي على مياه قيمة سالبة وقد سبق تطبيق هذه المعادلة عملية استخلاص للمياه من خلال الطيف الرابع والطيف الخامس كل على حده، والشكل (4 - 6) يوضح استخلاص أكبر نسبة انعكاس للأشعة تحت الحمراء القريبة وتحت الحمراء المتوسطة من خلال التفسير البصري .

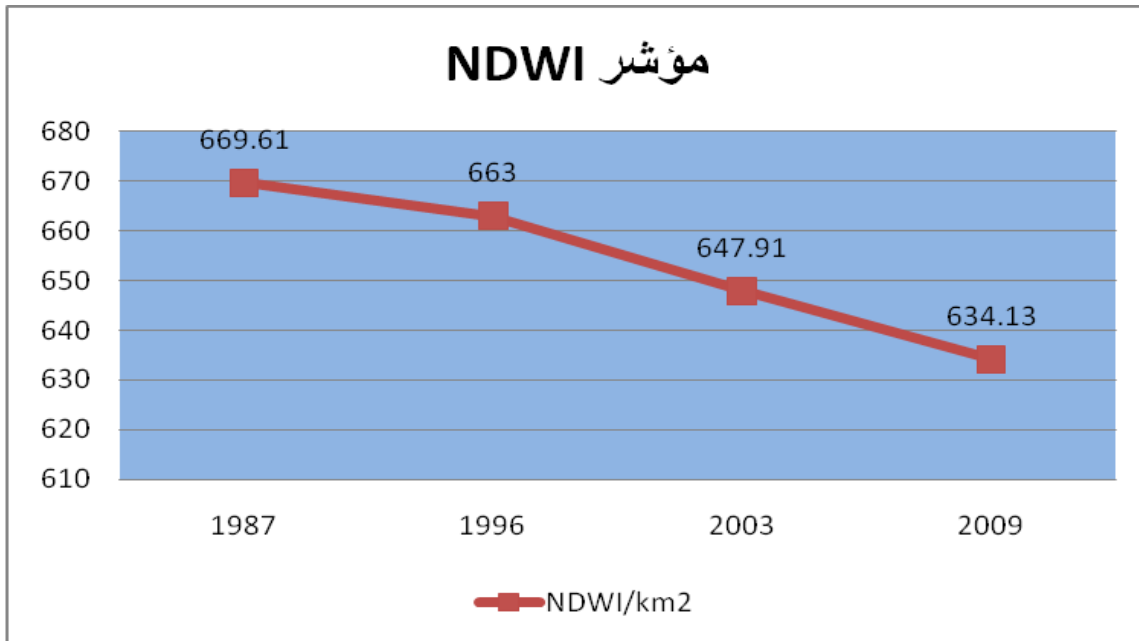


الشكل (4 - 6) اكبر نسبة انعكاس للمياه على الطيف الرابع والخامس للقمر اللاندسات

المصدر : اعداد الباحثة .

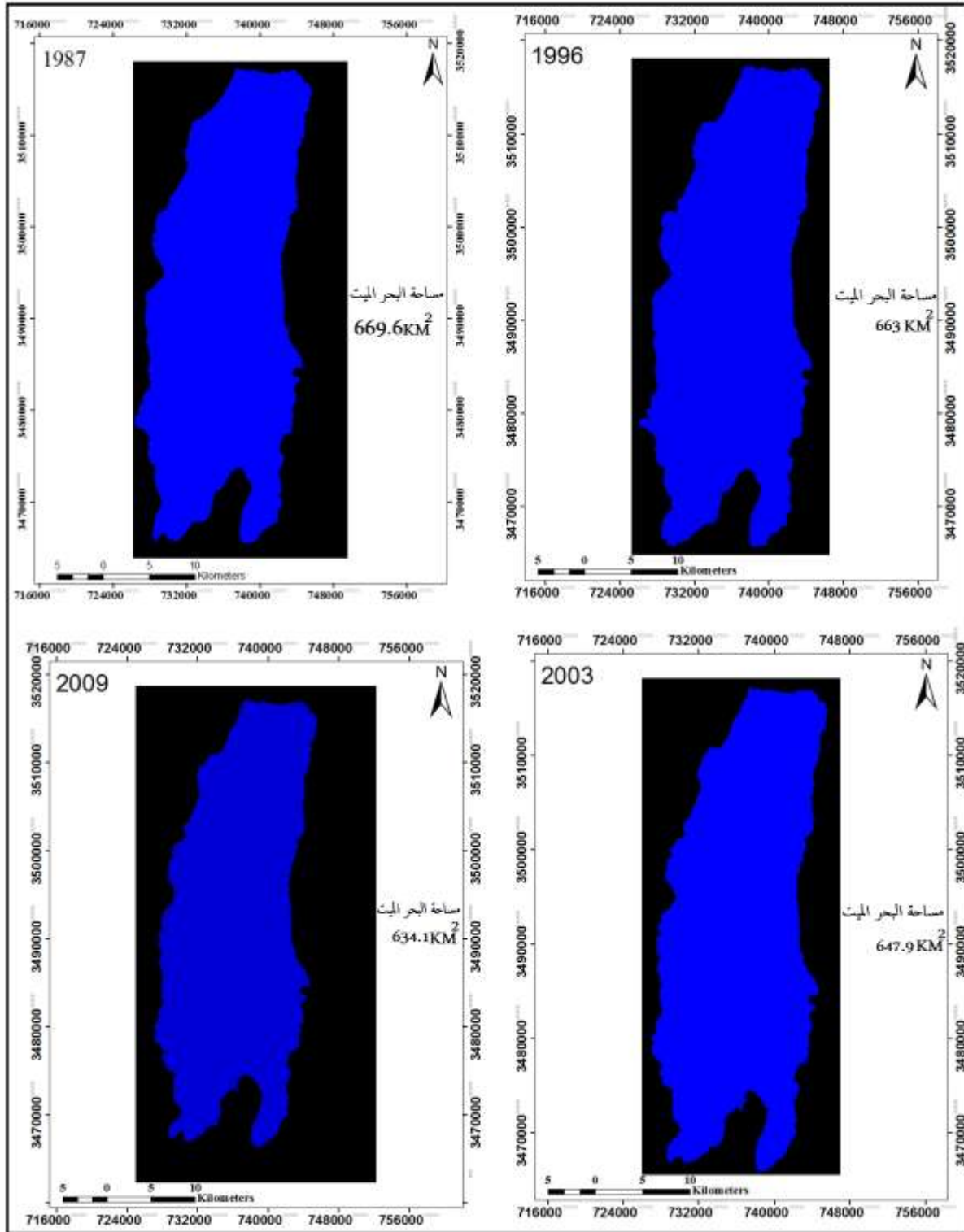
باستخدام برمجية Geomatica PCI طبقت المعادلة السابقة وحسبت مساحة البحر الميت، وكانت النتائج كما في الشكل (4 - 7) الذي يوضح شكل التناقص بين فترات الدراسة المحسوبة، حيث بلغت مساحة البحر الميت المحسوبة عام 1987 حوالي 669.61 كم² وفي عام 1996 بلغت حوالي 663 كم² أما مساحة البحر لعام 2003 وصلت الى حوالي 647.91 كم² أما في عام 2009، فوصلت مساحته المحسوبة حوالي 634.13 كم² وقد استخدمت هذه المعادلة من قبل بعض الباحثين لإستخلاص المياه من المناطق المزروعة .

وتميزت هذه الطريقة، امكانية استخلاص المياه وحساب مساحتها وخصوصا في المساحات التي تكون فيها نسبة من المناطق المزروعة، لكن الدقة في استخلاص المياه تكون اقل من المطلوب، حيث تختلط بعض المناطق المبنية مع المياه مما يصعب حساب المساحة بشكل دقيق، أما الشكل (4-8) يوضح المساحات والخرائط المستخلصة للبحر الميت بهذه الطريقة .



الشكل (4-7) قيم المساحات المستخلصة باستخدام مؤشر الاختلاف المائي (NDWI) .

المصدر : إعداد الباحثة



الشكل (4 - 8) الخرائط المستخلصة باستخدام مؤشر الاختلاف المائي المعايير

المصدر : إعداد الباحثة

4 - 3 - 3 مؤشر الاختلاف المائي المعايير المعدل

(The Modified Normalized Differences Water Index (MNDWI))

ومعادلتها تكون كمايلي :

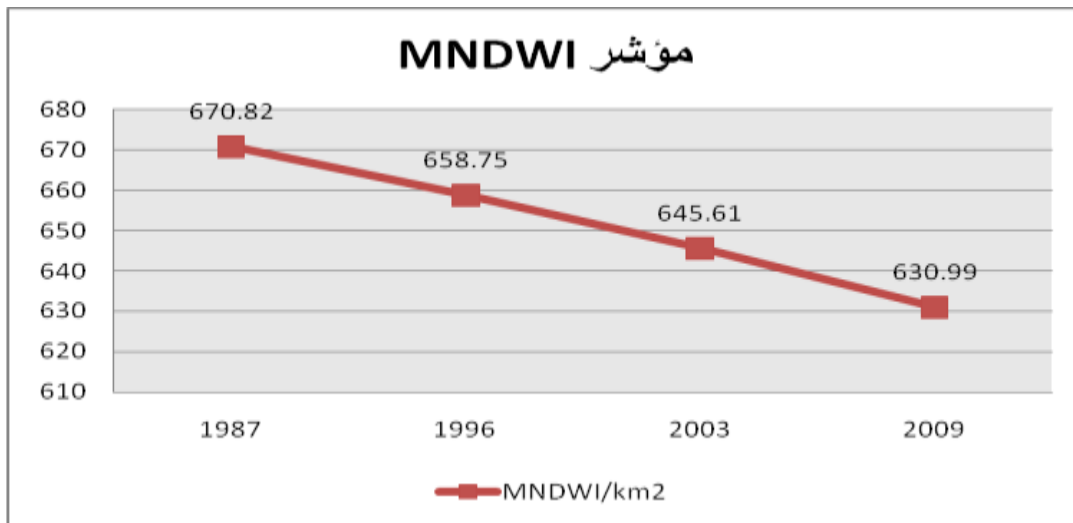
$$\text{MNDWI} = (\text{Green} - \text{MIR}) / (\text{Green} + \text{MIR})$$

(Xu.H,2006)

وتمثل في Landsat TM

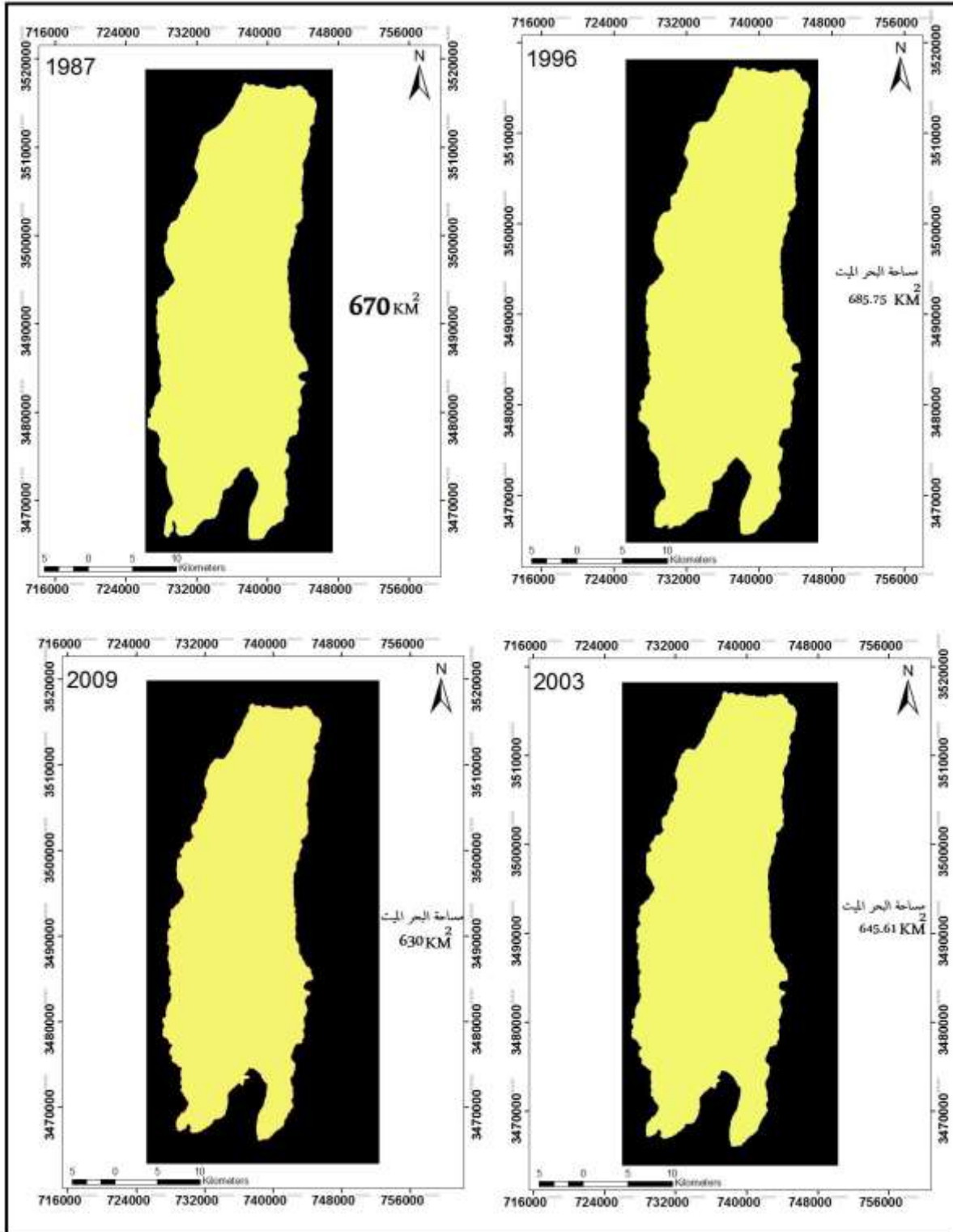
$$\text{MNDWI} = (\text{TM B 2} - \text{TM B 5}) / (\text{TM B 2} + \text{TM B 5})$$

من خلال المعادلة السابقة استخلصت المياه باستخدام الطيف الأخضر والطيف تحت الأحمر المتوسط، لاستخلاص مساحة المياه بدون اختلاطها بالأنماط الأخرى، وبالتالي حساب مساحتها بدقة .



الشكل (4 - 9) قيم المساحات المحسوبة باستخدام مؤشر الاختلاف المائي المعايير المعدل .

المصدر : إعداد الباحثة.



الشكل (4 - 10) الخرائط المستخلصة باستخدام طريقة MNDWI .

المصدر : إعداد الباحثة

الشكل (4 - 9) يوضح قيم المساحات المحسوبة والشكل (4 - 10) يوضح الخرائط المستخلصة بواسطة هذا المؤشر، والتي يتضح فيها مدى الدقة في تحديد منطقة الساحل وبالتالي سهولة حساب مساحات البحر الميت بدقة، ما يميز هذه الطريقة إمكانية إستخلاص المياه دون اختلاطها بالأنماط الأخرى، مما يمكننا من حساب المساحات بدقة أعلى، لذا إعتمدت الدراسة على هذا المؤشر لحساب مساحة البحر الميت وإعتباره الطريقة الأفضل التي يمكن استخدامها في حساب مساحات المسطحات المائية ومعرفة مقدار التغير عليها، وقد استخدم في دراسة (Xu.H,2006) حيث توصلت الدراسة الى مقدار دقة كلية عالية في استخلاص المياه تصل الى 99.85% باستخدام هذا المؤشر ومقارنة بمؤشر NDWI وصلت الدقة فيه حوالى 77.25% و الفرق الدقة يوضح افضلية مؤشر MNDWI .



الشكل (4- 11) نتائج الطرق الأربعة المتبعة في حساب مساحة البحر الميت

المصدر : اعداد الباحثة

وبمقارنة نتائج هذه الطرق نلاحظ مدى تقارب القيم المحسوبة لمساحة البحر الميت، ولكن في كل طريقة كانت مشكلة تداخل المياه مع نمط اخر ففي طريقة GIS لاحظنا مدى الدقة ارتبط بقدرة المحلل على رسم المنطقة بدقة عالية بحيث تحول دون فقدان اي من البيانات ، وبالمقابل تحتاج الى جهد ووقت حتى يتمكن المحلل من تأكيد دقة النتائج ، في حين طريقة التصنيف الغير موجه نلاحظ تداخلا بين منطقة التبخر ومياه البحر الميت حيث اعطيت مناطق التبخر القريبة من البحر قيمه مقاربة لقيمة المياه مما تعذر اعتمادها وبالتالي استخدم مؤشر NDWI الذي

يمكن استخلاص المياه لكن الدقة فيه ايضا محدودة، لوجود بعض مناطق المياه المتناثره في اطراف المنطقة فتحسب من ضمن مياه البحر الميت، أما مؤشر MNDWI استخلص أكبر نسبة إنعكاس للأشعة على المياه . من خلال هذه النتائج تعتبر هذه الطريقة الأفضل ويمكن الإعتماد عليها كطريقة سهلة وميسره لحساب المساحات وصلت الى دقة عالية باستخلاص المياه وحسابها والشكل (4 – 11) والذي يوضح نتائج مساحة البحر الميت المحسوبة بالطرق الاربعة لفترات الدراسة المستخدمه، حيث بلغت مساحة البحر الميت المحسوبة عام 1987 حوالي 670 كم² أما في عام 1996 بلغت حوالي 658.75 كم²، ويتضح مدى التناقص في الفترة بين العامين 1987 و 1996 بحدود 12 كم² وفي عام 2003 بلغت مساحة البحر الميت 645.61 كم² وفي عام 2009 بلغت مساحته حوالي 630.99 كم²، أما بالنسبة لمقدار التناقص بين عامي 1987 و 2009 بلغ حوالي 40 كم² .

4 - 3 أنماط الغطاء الأرضي في منطقة البحر الميت :

- تمهيد :

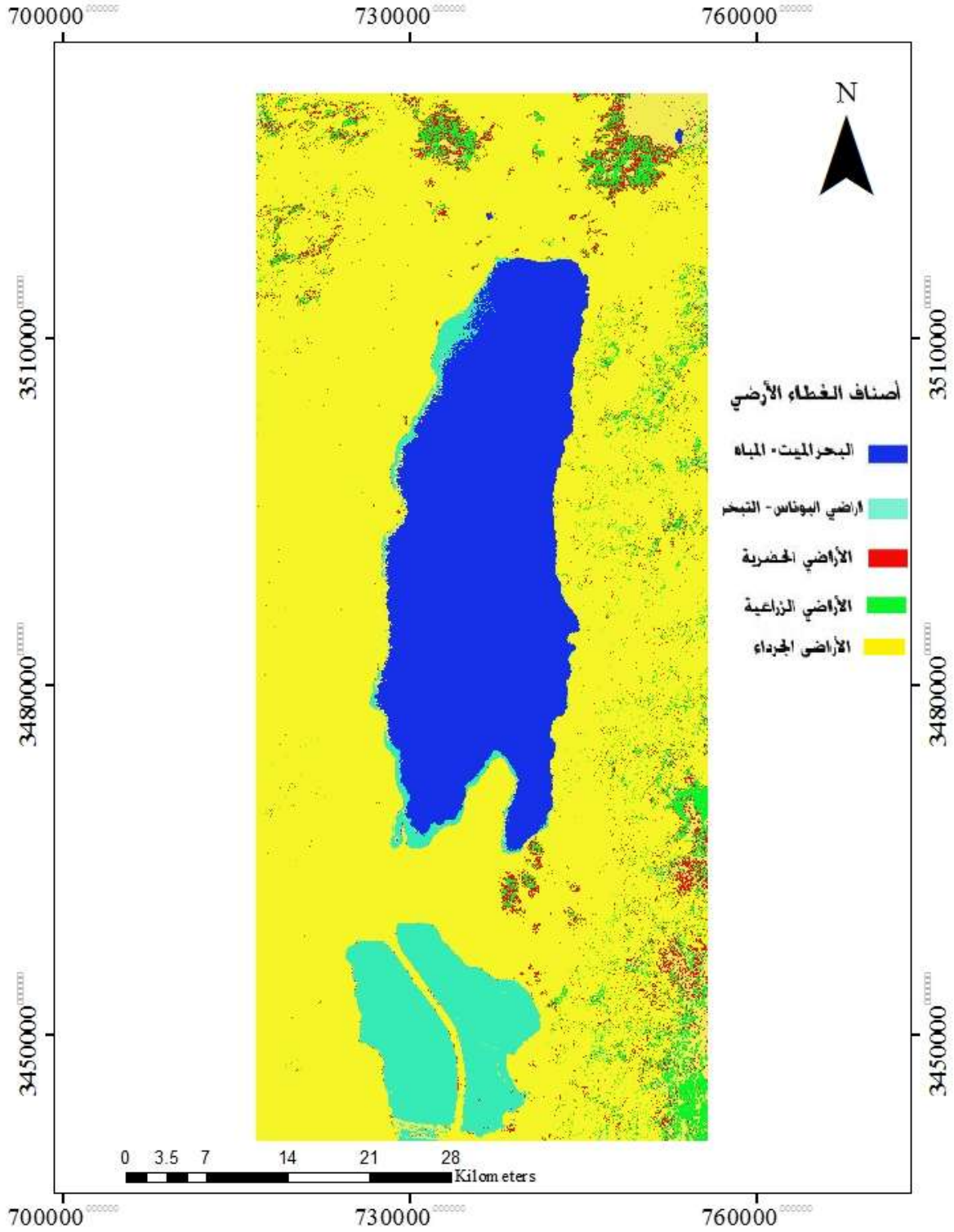
أظهرت نتائج التصنيف الموجه للمرئيات الفضائية 1987 و 2009 م للقمر الصناعي Landsat TM الخاصة بمنطقة البحر الميت باستخدام طريقة غاوس العظمى Maximum Likelihood Classifier ، إذ استخدمت ست أحزمة طيفية واستثناء الحزام الطيفي الحراري للموجه تحت الحمراء، واستخدمت عينات التدريب نفسها المستخدمة في التصنيف، وعرضت التغيرات في أنماط الغطاء الأرضي الناتجة عن تناقص مساحة البحر الميت لهذه الفترة ، ثم استعراض نتائج دقة التصنيف للمرئيتين الفضائيتين المستخدمتين في إجراء التصنيف .

4 - 3 - 1 أنماط الغطاء الأرضي في منطقة البحر الميت عام 1987 :

أظهرت نتائج التصنيف الرقمي أنماط الانتشار المكاني المساحي لأنماط الغطاء الأرضي في منطقة البحر الميت وهي المياه ، ومنطقة التبخر (البوتاس) والأراضي الحضرية والأراضي الزراعية والأراضي الجرداء . والشكل (4 - 12) يظهر التوزيع المكاني لهذه الأنماط ، كما تم استخراج مساحات هذه الأصناف ونسبها من نتائج التصنيف الرقمي كما في الجدول (4 - 1)

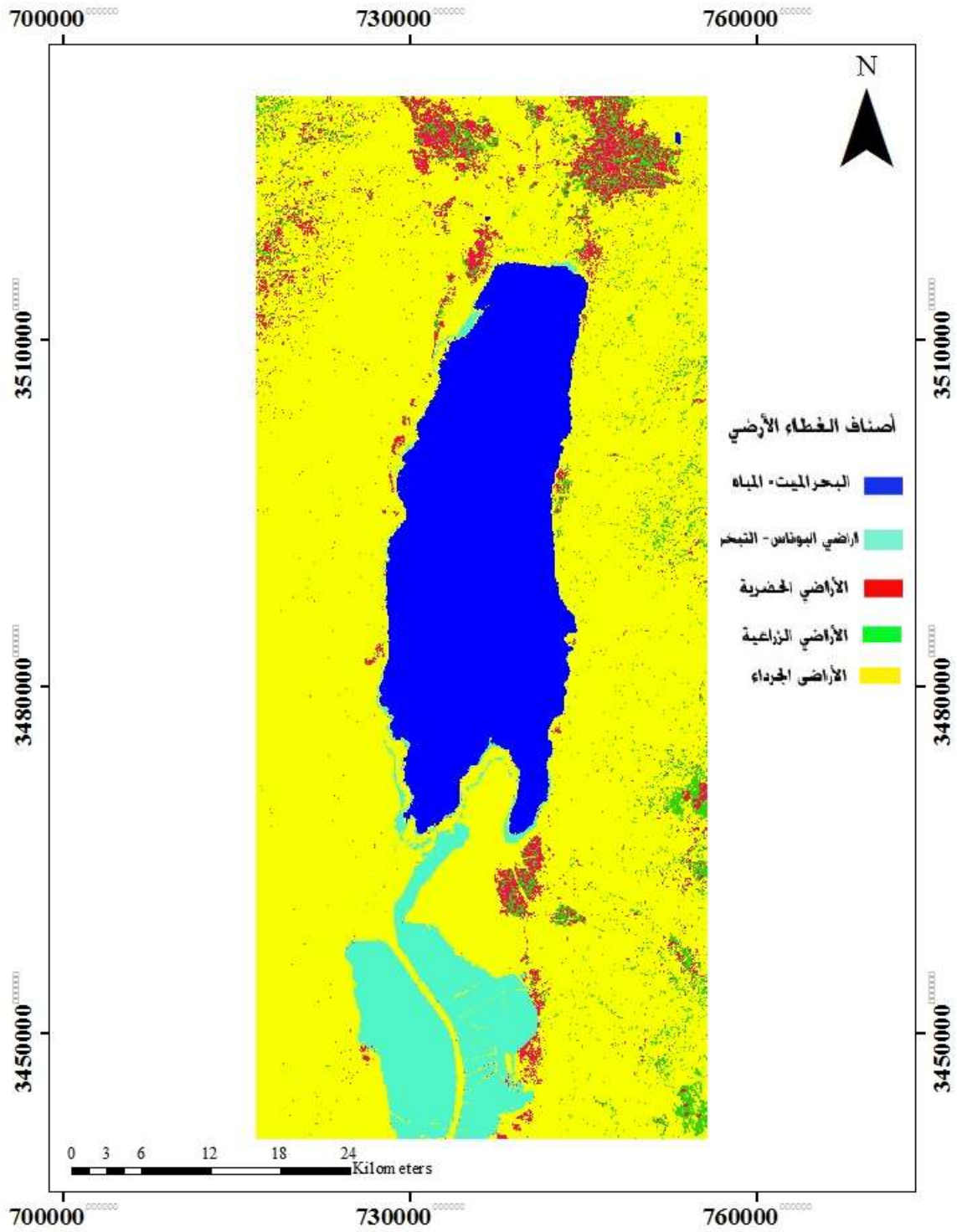
4 - 2 - 2 الغطاء الأرضي في منطقة البحر الميت عام 2009 :

كشفت نتائج التصنيف الرقمي أنماط الانتشار المكاني المساحي لأنماط الغطاء الأرضي في منطقة البحر الميت لعام 2009 وهي المياه ، ومنطقة التبخر (البوتاس) ، والأراضي الحضرية والأراضي الزراعية، والأراضي الجرداء والشكل (4 - 13) يوضح التوزيع المكاني لهذه الأنماط ، وقد تم استخراج النسب ومساحات كل صنف من الأصناف من نتائج التصنيف الرقمي كما في الجدول (4 - 2) حتى يتم تحليل ومعرفة التغيرات على مساحات الغطاء الأرضي في المنطقة .



الشكل (4 - 12) أنماط الغطاء الأرضي في منطقة البحر الميت لعام 1987

المصدر : إعداد الباحثة



الشكل (4 - 13) أنماط الغطاء الأرضي في منطقة البحر الميت لعام 2009 .

المصدر: اعداد الباحثة

4 - 2 - 3 التغيرات في انماط الغطاء الأرضي في منطقة البحر الميت خلال الفترة بين

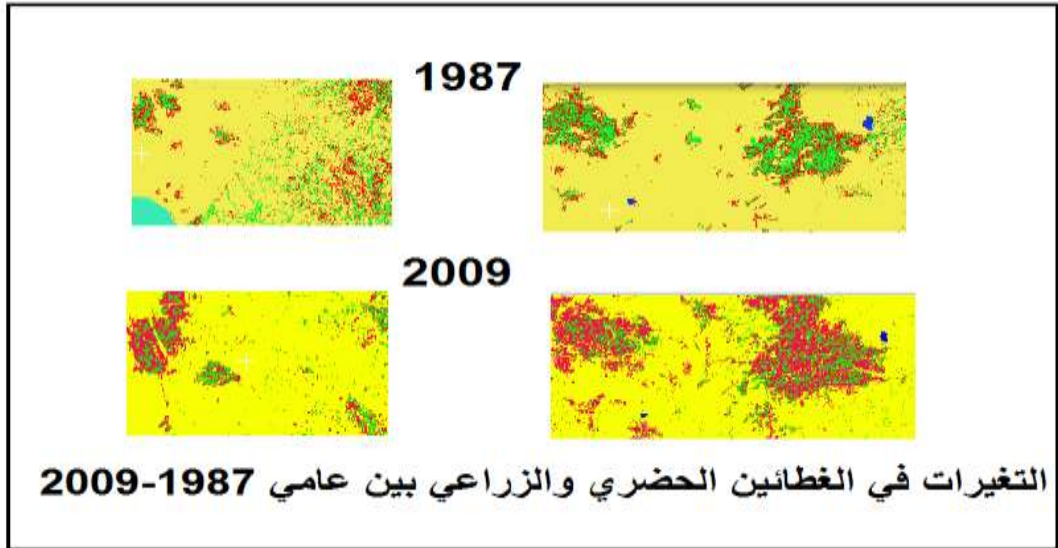
: 1987 - 2009

تم استخدام منهج كشف التغير بطريقة المقارنة لفترات زمنية بين (1987 - 2009) بهدف تحديد المساحات التي تعرضت للتغير في منطقة البحر الميت، والتناقص وتحليل الآثار البيئية التي نتجت عن هذا التدهور في مساحتها .

أفرزت نتائج هذا التصنيف خمسة أنماط من الغطاء الأرضي في منطقة البحر الميت وهي : البحر الميت (المياه) ، وأراضي البوتاس (التبخر) ، والأراضي الحضرية، والأراضي الزراعية والأراضي الجرداء، والشكلان (4 - 12 و 4 - 13) يوضحان التوزيع المكاني لهذه الأنماط ومن الجدول (4 - 2) يتضح مدى التغير في مساحة البحر الميت بين عامي الدراسة حيث بلغت مساحته عام 1987 حوالي 670 كم² وتناقصت هذه المساحة حوالي 40 كم² بنسبة 2.02 % بسبب عوامل بشرية وعوامل طبيعية التي تم الإشارة إليها سابقا ، مما ترتب على هذا التناقص عدد من التغيرات البيئية منها، فقدان ثلث مساحة البحر الميت عما كانت عليه في ستينيات القرن الماضي و ظهور بعض الظواهر الجيولوجية من حفر بالوعية وانهدارات وانزلاقات في بعض المناطق وظهور ظاهرة الشواطئ المتعددة وغيرها . لم يقتصر التناقص في مساحة البحر الميت بل امتد إلى مساحة الأراضي الزراعية حيث تناقصت مساحة الأراضي الزراعية عما كانت عليه عام 1987 حوالي 71 كم² بنسبة 2.04% كما في الشكل (4-14) والسبب نقص كميات مياه الري التي كانت تضخ للأراضي الزراعية ونقص المياه الجوفية، وبالتالي تدهور الأراضي الزراعية بفعل الإستغلال الجائر لهذه الأراضي و التملح وظهور الحفر بالوعية التي تظهر فجأة فيها مما يضطر كثير من المزارعين الى هجرة هذه الأراضي ، وتنتشر هذه الحفر في منطقة غور حديثة على الجانب الشرقي ومسعده وعين الجدي في الجانب الغربي ، كما أظهرت نتائج التصنيف زيادة في مساحات كل من الأراضي الحضرية وأراضي البوتاس (التبخر) والمناطق الجرداء حيث بلغت نسبة الزيادة في الأراضي الحضرية حوالي 1.2% عما كانت عليه في عام 1987 وترجع أسباب هذه الزيادة الى زيادة الإستثمارات والمشاريع السياحية التي اقيمت في المنطقة بناء عدد من الفنادق الفخمة على شواطئ البحر الميت للإستفادة من ميزاته الإستشفائية، ووجود بعض المعالم الدينية مثل موقع المغطس

بالقرب من منطقة البحر الميت الذي جعل منه مقصد الآف السياح المسحيين بقصد الحج ،بالإضافة إلى تنامي المشاريع الصناعية ، وزيادة استثماراتها وبالتالي زيادة مساحاتها كما في زيادة مساحة إمتياز شركة البوتاس العربية (منطقة التبخر) وارتباط هذه الزيادة بتناقص مساحة البحر الميت، حيث وصلت كمية الإستهلاك من مياه البحر الميت بحدود 2.5 مليون متر مكعب سنوياً لكلا من شركات البوتاس العربية والإسرائيلية (البوتاس العربية ،2010)

أما آخر الأنماط التي أفرزتها نتائج التصنيف الموجه كانت الأراضي الجرداء التي تزايدت وتمددت على حساب الأراضي الزراعية وتناقص مساحة البحر الميت ، وتدهورت الأراضي الزراعية بفعل ارتفاع نسبة الملوحة فيها وتناقص مياه الري بالإضافة الى الآثار البيئية المتمثلة في الانخسافات والحفر البالوعية الناتجة عن تناقص مساحة البحر الميت، وتراجع مساحات واسعة عن الشاطئ مكونة عددا من الشواطئ في منطقة غير مستقرة تكتونيا .



الشكل (4 – 14) التغيرات في النمطين الحضري والزراعي بين الاعوام 2009-1987

المصدر: اعداد الباحثة

4 – 2 – 3 تقييم دقة التصنيف :

أما بالنسبة لطرق تقييم دقة التصنيف للمرئيات المستخدمة في الدراسة فتم تطبيق الدقة الكلية Overall Accuracy ودقة المستخدم ودقة المنتج ، والجدولان (4 – 3 و 4 – 4) يوضحان مصفوفة الخطأ ونتائج تقييم دقة البيانات الرقمية المستخدمة في الدراسة للسنوات 1987 و 2009 م .

الجدول (4 - 2) نتائج تصنيف الغطاء الأرضي في حوض البحر الميت .

| معدل التغير | | تصنيف عام 2009 | | تصنيف عام 1987 | | أصناف الغطاء الأرضي |
|-------------|-------------------------|----------------|-------------------------|----------------|-------------------------|---------------------------|
| النسبة % | المساحة كم ² | النسبة % | المساحة كم ² | النسبة % | المساحة كم ² | |
| -2.02 | -40 | 17.05 | 630 | 19.07 | 670 | البحر الميت -المياه |
| +0.53 | +19 | 6.93 | 244 | 6.40 | 225 | أراضي البوتاس - التبخر |
| +1.2 | +41 | 4.93 | 173.5 | 3.75 | 132 | الأراضي الحضرية |
| -2.04 | -71 | 3.52 | 124 | 5.56 | 196 | الأراضي الزراعية |
| +2.35 | +81.2 | 67.57 | 2379 | 65.22 | 2297 | الأراضي الجرداء |

بعد إجراء التصنيف الموجه تظهر لدينا نتائج التصنيف على هيئة مصفوفة تسمى مصفوفة الخطأ والتي يمكن من خلالها حساب الدقة الكلية ودقة المنتج ودقة المستخدم في هذه الدراسة تم الاعتماد على نتائج الدقة الكلية Overall accuracy والتي بلغت في عام 1987 حوالي 82.8 % بينما بلغت 82 % في عام 2009، وتفسر هذه القيمة أن نتائج التصنيف قد تفادت 82.8 % من الخطأ لعام 1987 و 82% لعام 2009 ولقد واجهت الدراسة صعوبة في تصنيف مساحات الأراضي الحضرية من الأراضي الزراعية لتداخل الإستخدامين ومحدوبيتهما في منطقة الدراسة، والتجانس في أغلب الأنماط وبالنسبة لنتائج دقة المنتج ودقة المستخدم التغيرات التي حصلت على مساحات كل نمط كما في الجدولين (4 - 1 و 4 - 2) ، ففي مناطق المياه وصلت دقة المستخدم لعام 1987 حوالي 94 % وبلغت 95% لعام 2009 ، أما دقة المنتج له عام 1987 بلغت 64% و 69% على التوالي ويعزى الإنخفاض في نسبة الخطأ لعام 2009 إلى التداخل بين الإستخدامات في المكان الواحد بحيث تقترب من اللون نفسه، وبالتالي تتشابه الخصائص الانعكاسية لبعض الخلايا على بعض الأنماط مما تعطيها القيمة نفسها لذلك تم الاعتماد على نتائج الدقة الكلية .

الجدول (4 - 3) مصفوفة الخطأ ونتائج تقييم الدقة للتصنيف الموجه لمرئية لاندسات 1987

| أصناف الغطاء الأرضي | البحر الميت المياه | أراضي البوتاس -التبخر - | الأراضي الحضرية | الأراضي الزراعية | الأراضي الجرداء | مجموع الصفوف | دقة المستخدم % |
|-----------------------|--------------------|-------------------------|-----------------|------------------|-----------------|--------------|----------------|
| البحر الميت -المياه | 47 | 3 | 0 | 0 | 0 | 50 | 94 |
| أراضي البوتاس -التبخر | 0 | 14 | 0 | 0 | 0 | 14 | 100 |
| الأراضي الحضرية | 0 | 0 | 20 | 12 | 1 | 33 | 60 |
| الأراضي الزراعية | 0 | 0 | 11 | 32 | 6 | 49 | 65 |
| الأراضي الجرداء | 0 | 0 | 4 | 6 | 94 | 104 | 90 |
| مجموع الأعمدة | 47 | 17 | 35 | 50 | 101 | 250 | 250 |
| دقة المنتج % | 100 | 82.35 | 57.14 | 64 | 93.06 | | |

الجدول (4 - 4) مصفوفة الخطأ ونتائج تقييم الدقة للتصنيف الموجه لمرئية لاندسات 2009

| أصناف الغطاء الأرضي | البحر الميت المياه | أراضي البوتاس -التبخر - | الأراضي الحضرية | الأراضي الزراعية | الأراضي الجرداء | مجموع الصفوف | دقة المستخدم % |
|-----------------------|--------------------|-------------------------|-----------------|------------------|-----------------|--------------|----------------|
| البحر الميت -المياه | 37 | 1 | 0 | 0 | 1 | 39 | 95 |
| أراضي البوتاس -التبخر | 0 | 18 | 0 | 0 | 0 | 18 | 100 |
| الأراضي الحضرية | 0 | 0 | 30 | 7 | 4 | 41 | 75 |
| الأراضي الزراعية | 0 | 0 | 6 | 17 | 3 | 26 | 73.7 |
| الأراضي الجرداء | 0 | 2 | 7 | 14 | 103 | 126 | 81.7 |
| مجموع الأعمدة | 37 | 21 | 43 | 38 | 111 | 250 | 250 |
| دقة المنتج % | 100 | 85.71 | 69.76 | 44.73 | 92.72 | | |

المصدر : إعداد الباحثة

4 - 4 التغيرات البيئية على مساحة البحر الميت :

إن الحد الأعلى من فقدان المياه في البحار بحيث لا تؤثر على توازنها هو ميلتر واحد لكل عشرة أعوام، أما في البحر الميت فالنسبة عشرة آلاف ضعف.

(Closson and Abu-karaki, 2008) هذا يوضح مدى التأثير الذي قد يحدث على البيئة المحيطة بالبحر الميت والتغير الذي أصبح واضحاً من جراء تناقص مساحته والمتمثلة بما يأتي:

- تناقص مساحة البحر الميت :

لقد تآثر منسوب البحر الميت وتناقصت مساحته لأسباب بشرية تمثلت في تحويل مصادر المياه المغذية للبحر الميت، وإقامة المشاريع المائية و زيادة كميات إستخراج المعادن من البوتاس وبروميد وملح وغيرها، مما أدى الى تسارع تناقص مساحته، إضافة إلى العوامل الطبيعية والمتمثلة بزيادة مجموع التبخر الكامن حتى وصل الى 2200 ملم/سنواتاً مقترن بارتفاع درجات الحرارة والتي ساهمت في رفع كميات التبخر حيث وصلت درجات الحرارة في بعض السنوات إلى 46 درجة مئوية مع تناقص كميات الأمطار التي لا تزيد عن 90 ملم بالمعدل سنوياً مما أدى الى تسارع تناقص مساحة البحر الميت الى 40 كم² بين أعوام 1987 و 2009 ، وما زال مستوى مياهه مستمر بالهبوط حتى وصل بالمعدل بين 0.80 - 1 م سنوياً، مما يعني استمرار تناقص مساحته، وبالتالي تزايد التغيرات والآثار البيئية على المنطقة .

- هبوط مستوى سطح المياه الجوفية :

لقد هبط مستوى سطح المياه الجوفية بمحاذاة الشواطئ نتيجة إنخفاض منسوب المياه مما أدى الى تدفق المياه العذبة من المياه الجوفية، واختلاطها بالمياه المالحة، وبالتالي تزايدت الأخطار البيئية على المنطقة، وكذلك جفاف الينابيع مما أدى إلى تهديد النظام الحيوي من كائنات حية نادرة كانت تستوطن المنطقة وبالتالي هجرتها، حتى ان البكتيريا التي تتحمل الملوحة الشديدة مع نقصان مساحته تزداد الملوحة مما جعلها غير قادره على تحملها فأصبحت في خطر (خرفان ، 2004) .

- ظاهرة الحفر البالوعية (الانخسافية) Sinkholes

لهذه الظاهرة عدة مسميات منها الحفر البالوعية، الحفر الانخسافية وحفر الإذابة والحفر الغاطسة، حيث تحدث حفر في الأرض قد تكون بشكل تشققات صغيرة على سطح التربة أو كبيرة بمساحة تصل لعشرات الأمتار وبعمق يصل الى ثلاثين متراً أو أكثر

(Abelson. et al., 2009) ، وتحدث في العديد من المناطق المحيطة بالبحر الميت في غور حديثة وغور المزرعة وغور عسال وغور نميره وفي بعض مناطق إمتياز البوتاس أما على الجانب الغربي فتظهر بأعداد كبيرة تصل الى مئات في مناطق مسعده عسال وزوهار، وعين الجدي وشرق جبل أصدم (Yechieli.et.2003) ، هذه المناطق كانت قريبة من البحر الميت، أما الآن أصبحت تبعد مئات الأمتار عن الشاطئ الحالي للبحر، وسبب حدوثها في هذه المناطق هو تربتها الرملية التي تحتوي على نسبة عالية من الأملاح، و تتكون عندما يقوم المزارعون بسقاية مزروعاتهم باستخدام المياه العذبة حيث تنوب الأملاح الموجودة في التربة وبسبب ابتعاد المنطقة عن البحر فان البحر يقف عاجزا عن تعويض هذه الأملاح، فتصبح التربة هشة وخفيفة الوزن فتتخفص الى الأسفل مكونه حفرة كبيرة غير واضحة لأنها تكون مغطاة بقشرة رقيقة من التربة، وعند مرور (آليات او حيوانات) فوق هذه الحفرة تنهار القشرة وتظهر الحفرة، من الآثار البيئية التي تسببها هذه الحفر إلحاق الضرر بالمنشآت والبنية التحتية، وخاصة الطرق الممتدة على كلا جانبي البحر ولعل أكثر ما يندر بالخطر هو تفاقم انتشارها في محيط الطريق الرئيس رقم 90 الممتد بمحاذاة البحر الميت عند الشاطئ الغربي، كما تترك أضرارا متفاقمة في محطات البوتاس الأردنية ومناطق المساحات المجففة من القسم الجنوبي من البحر الميت (Rybakov et al., 2005)، وهي ذات أثر كبير على كل الكائنات الحية في المنطقة وعلى الأراضي التي هجرها سكانها رغم انها كانت تزرع بمحاصيل متنوعة وبعضها يحتوى على اشجار النخيل.

- الشواطئ المتعددة او المصاطب البحرية للبحر الميت :

ظهرت هذه الظاهرة بتزايد تقلص مساحة البحر الميت، حيث تراجع مساحة البحر تظهر شواطئ من الرمال المختلطة بالأملاح بذلك تكونت المصاطب البحرية كما في الشكل

(4 - 13) يوضح ظاهرة الشواطئ المتعددة والتي يصعب على الانسان التحرك فيها .



الشكل (4 - 13) ظاهرة الشواطئ المتعددة - الصورة ملتقطة بتاريخ 27 - 3 - 2010

- الأثر البيئي على اقتصاد المنطقة :

قطاع السياحة : أقيمت العديد من الفنادق على شاطئ البحر الميت على الجانبين ، ويظهر تأثير انحسار البحر الميت في زيادة التكاليف؛ للمحافظة على ثبات الشواطئ ومنع تعرضها للتعرية الشاطئية حيث، تحتاج عملية المحافظة على هذه الفنادق مبالغ من المال .

استخراج المعادن : إن إنحسار البحر الميت له تأثير إيجابي للشركات المستخرجة للبوتاس حيث تزداد نسبة الملوحة، وكثافة مياه البحر مما يقلل من مدة الترسيب للمعادن في الملاحات، وبالمقابل هناك أخطار بيئية تواجه الجسور التي أنشأتها شركة البوتاس مما يزيد من أعباء تكاليف الضخ في بعض مناطق استخراج المعادن لقد خططت بحيث تعمل على تغيير ملاحاتها كل فترة بسبب انخفاض مستوى سطح البحر (شركة البوتاس العربية ، 2010) .

المشروع المقترح للمحافظة على البحر الميت من الانحسار :

يعد البحر الميت من البحيرات المغلقة ، والتي تنقسمه ثلاث دول عدا عن امتداد ما يرفده في دولة رابعة ، وقد شغلت عملية تعويض البحر الميت ما يفقده من المياه سنويا بال الكثير من الباحثين والمهتمين على جميع المستويات، من أهم المقترحات لحل مشكلة تناقص مساحة البحر الميت هو مشروع قناة البحرين . سمي هذا المشروع بقناة البحرين لتزويد البحر الميت بالمياه من البحر الأحمر، ويشمل المشروع مرحلتين الأولى ربط البحر الأحمر بالبحر الميت بأنابيب طولها حوالي 180 كيلومتر والثانية يتم انشاء محطة لتوليد الكهرباء ومحطات لتحلية المياه (وزارة المياه والري الأردنية 2010)، هذا المشروع يواجه إنتقادات منها التخوف من عدم الإبقاء على مميزات البحر الميت بسبب الاختلافات في طبيعة التركيب الكيميائي للمياه، بالإضافة لما يعانيه البحر الأحمر من تلوث .

الفصل الخامس

النتائج و التوصيات

5 - 1 النتائج

5 - 2 التوصيات

5 - 1 النتائج

1 . توصلت الدراسة إلى تطوير طريقة يمكن من خلالها حساب مساحة البحر الميت باستخدام تقنيات الاستشعار عن بعد بحيث تعطينا مساحة المياه دون اختلاطها بأي نمط آخر بطريقة سهلة وميسرة وأكثر دقة باستخدام مؤشر الاختلاف المائي المعايير المعدل MNDWI باستخدام نسبة الانعكاسات الطيفية عند الطول الموجي الأخضر والطول الموجي الأحمر المتوسط ، وهذه الطريقة قابلة للتحديث والتطوير مع الزمن.

2 . قدمت الدراسة عدداً من الطرق التي يمكن من خلالها حساب مساحة البحر الميت ، وتوضيح التغيرات البيئية الناتجة عن تناقص مساحته ، مدى التقارب في النتائج لكن من خلال التحليل تبين أن هناك عدة طرق يمكن من خلالها حساب مساحة المسطحات المائية ولكل طريقة مميزات التي تختلف هذه الطرق في دقة نتائجها ، مما يمكن الاستفادة من كل طريقة بتطبيقها على ظاهرة معينة .

3 . توصلت الدراسة إلى تصنيف الغطاء الأرضي وكشف التغير في مساحات الغطاءات المكونة لمنطقة الدراسة حيث تزداد مساحات بعض الانماط وتتناقص مساحات أخرى:

4. تناقص مساحة البحر الميت من عام 1987 وحتى عام 2009 حوالي 40 كم²، وتبين ان التناقص يتزايد من سنة لآخرى وبالتالي زيادة انخفاض مستوى مياهه من 405 تحت مستوى سطح البحر عام 1987 الى 423 تحت مستوى سطح البحر عام 2009 اي حوالي 18 مترا نسبة هبوط في مستوى مياه وزيادة مساحة منطقة التبخر بنسبة 0.53 ماكانت عليه عام 1987 ويعود ذلك للأسباب البشرية والطبيعية.

5. تمدد الأراضي الجرداء والأراضي الحضرية، بسبب تطور النشاطات الاقتصادية من توسعات لشركات البوتاس وزيادة الشركات المستثمرة في مجال مستحضرات التجميل بالإضافة إلى تنشيط السياحة على شاطئ البحر الميت وإنشاء عدد من الفنادق السياحية الكبرى على حساب مساحة البحر الميت التي تراجعت، ومساحة الاراضي الزراعية التي تراجعت بنسبة 2.04 % عما كانت عليه في عام 1987 .

4 . أظهرت الدراسة قدرة تطبيقات الاستشعار عن بعد على تحليل المرئيات الفضائية، لمراقبة المسطحات المائية والتغيرات عبر الزمن وإنتاج خرائط دقيقة، وحساب المساحات، وتحديد نسبة التغير واستخراج نسبة التغير في كل صنف من الأصناف المستخرجة .

5 . أوضحت الدراسة كفاءة قمر Landsat-TM في تحليل البيانات وحساب المساحات بطريقة متعددة الأطياف واستخدامه في الدراسات المماثلة .

5 - 2 التوصيات :

توصي الدراسة بمايلي :

1 - ضرورة استخدام تطبيقات الاستشعار عن بعد ونظم المعلومات الجغرافية في مراقبة التغيرات البيئية التي تحدث على المسطحات المائية، وتطوير طرق أخرى لحساب المساحات، وغيرها من التطبيقات الخاصة بالبيئات البحرية .

2 - تكثيف الدراسات الخاصة باستخدام التقنيات المعتمدة على المرئيات الفضائية لمراقبة انحسار مساحة البحر الميت وإيجاد الحلول الناجعة لوقف التدهور السريع في البيئة المحيطة به، وسد النقص في البيانات وتقديم النتائج الى صناع القرار للمساهمة في تنمية المناطق وإدارتها .

3 - ضرورة توفير بيانات الأقمار الاصطناعية للباحثين بحيث يتسنى لهم اجراء الدراسات الحديثة ومواكبة التطور بمثل هذا العلم وتطبيقاته .

4 - توصي الدراسة باعتماد هذه الطريقة لاستخلاص مساحة البحر الميت بحيث تعطي قياسات دقيقة لمساحة البحر الميت في كل عام .

المصادر والمراجع:

المراجع العربية :

- ابو العنين، حسن سيد، (1976) ، أصول الجيومورفولوجيا دراسة الأشكال التضاريسية لسطح الأرض ، (ط 5) ، بيروت : دار النهضة العربية .
- الحسن، عصمت (2007) ، معالجة الصور الرقمية في الاستشعار عن بعد ، جامعة الملك سعود ، مركز الابحاث الرياض ، السعودية .
- الجنيدى، محمود (1993) ، نباتات الأردن ، عمان الاردن .
- الروسان، نايف (2001) ، جغرافية الأردن، دار الشروق للنشر والتوزيع ، عمان، الاردن.
- الروضان، عبيد (2002) ، المخاطر التي تتهدد البحر الميت نتيجة الممارسات الإسرائيلية (ط1) ، مركز زايد للتنسيق والمتابعة .
- السلال ، فارس (2010) ، تطبيقات الاستشعار عن بعد ونظم المعلومات الجغرافية لدراسة التغيرات في استعمالات الأرض والغطاء الأرضي في لواء سحاب خلال الفترة (1989-2006) رسالة ماجستير غير منشوره ، الجامعة الأردنية .
- القضاة، بكر و الريحاني ، امجد (1995) التربة في الأردن /انواعها وتصنيفاتها، موارد الارض نحو استخدام امثل ، الاسبوع العلمي الأردني الثالث، المجلد الخامس
- المقطيري، عبده (2004) ،أسس ومفاهيم الاستشعار عن بعد، صنعاء :وزارة الثقافة والسياحة اليمنية.
- النواصرة، عواد (2006) ، اثر انخفاض منسوب سطح البحر الميت على جيومورفولوجية الأحواض الأودية : الكرك ، الحماد ، الجرة ، الشقيق ، الموجب، رسالة ماجستير غير منشوره، جامعة مؤتة،الأردن.
- النواصرة، عواد (2009) ، البحر الميت دراسة جغرافية تاريخية، ط1، دار فضاءات للنشر

- الوحوش، خلدون صبري (2005)، **حفر الإذابة جنوب شرق البحر الميت**، رسالة ماجستير غير منشورة، مؤتة، الأردن.
- بحيري، صلاح الدين (1991) ، **الأردن دراسة جغرافية**، (ط1)، عمان ، الأردن .
- بظاظو، ابراهيم (2011)، **تطبيقات تقنيات الاستشعار عن بعد ونظم المعلومات الجغرافية في التخطيط السياحي دراسة تطبيقية على الساحل الشرقي للبحر الميت،مجلة جامعة الملك سعود م23 ، السياحة والآثار (1) الرياض.**
- بورجي، ياسر احمد (2005)، **تطبيق الاستشعار عن بُعد في رصد وتقييم التغيرات بساحل الحديدة – الجمهورية اليمنية**، رسالة ماجستير غير منشورة .
- تقارير الأمم المتحدة للتنسيق الشؤون الإنسانية (2007)، **لمنطقة الشرق الأوسط .**
- جمبي، سحر (2008) ، **التصنيف النمطي لتحليل الغطاء الأرضي في صور الأقمار الصناعية** ، رسالة ماجستير غير منشورة ، الجامعة الأردنية .
- حبيب، رضوان و إبراهيم، والكيلاني (2007)، **جفاف البحر الميت وقناة البحرين (الأحمر الميت) ،مجلة العلوم الإسلامية، العدد، 2، ص283-317.**
- خرفان، ماري، (2004) ، **انحسار البحر الميت وتأثيره على المنطقة المحيطة، مجلة المقياس ، المركز الجغرافي الملكي الأردني، عمان ، ص 47 – 60 .**
- دائرة الإحصاءات العامة (2010)، **بيانات احصائية غير منشورة، الأردن .**
- دائرة الأرصاد الجوية (2010) ، **بيانات مناخية نشرات غير منشورة ، الأردن .**
- سلطة المصادر الطبيعية (2010) ، **خرائط جيولوجية لوحات مادبا والربة والكرك مقياس 1:50000 ، عمان ، الأردن .**
- شحاده ، نعمان (1991) ، **مناخ الأردن ، (ط1)، عمان : دار البشر .**
- شركة البوتاس العربية (2010) **بيانات غير منشورة، الأردن .**

- عابد ، عبد القادر (1985)، **جيولوجية البحر الميت نشأته ومياهه وأملاحه وقناة البحرين** ، الطبعة الأولى ، عمان، دار الأرقم.
- عابد، عبد القادر (2000)، **جيولوجية الأردن وبيئته ومياهه**، ط1 ، عمان : دار الارقم .
- عرنوس، عبد الكريم (2006)، **دراسة التغيرات النباتية في البادية الأردنية باستخدام صورالماسح الغرضي المحمول على قمر لاندسات**، رسالة ماجستير غير منشوره، الجامعة الأردنية .
- عواوده، محسن (2005)،**الآثار الجيومورفولوجية لعدم الاستقرارية على بعض أودية البحر الميت في الأردن** ، رسالة دكتوراه غير منشوره، الجامعة الأردنية .
- عوده، سميح و أبو سمور، حسن (1997)، **اثر التغيرات الجيومورفولوجية في تغير توزيع وحالة الغطاء النباتي في دلتا الموجب، مجلة جامعة النجاح**، نابلس، فلسطين.
- عوده، سميح (2005) ، **أساسيات نظم المعلومات الجغرافية وتطبيقاتها في رؤية جغرافية** ، عمان : المسيرة للنشر والتوزيع .
- فرحان، يحيى (1971) ، **حوض وادي الموجب والكرك : دراسة جيومورفولوجية**، رسالة ماجستير غير منشوره، جامعة القاهرة، مصر .
- فرحان، يحيى (2007)، **الاستشعار عن بعد وتطبيقاته الصور الجوية**، عمان : جهينه للنشر والتوزيع .
- مركز البحوث والتنمية الدولية – كندا (1998) **دراسة " بحر عطش ونهر ملوث"**، برنامج الفقر الريفي .
- وزارة البيئة (2008) ، **التقرير الأول لحالة البيئة في المملكة الأردنية الهاشمية**، عمان .
- وزارة الزراعة، **مديرية التحريج والغابات (1993)**، المشروع الوطني لخارطة التربة واستعمالات الأراضي مقياس 250000/1، عمان .

المراجع الأجنبية:

- Abelson, M., Gabay, R., Shalev, E., Yechieli, Y.2009,Sinkholes hazard around the evaporation ponds Dead Sea southern. basin.. **Geological Survey of Israel. Jerusalem.**
- Abu karaki,N.Closson,D.Salameh,E.(2005),Natural, Induced and - Environmental hazards along the Dead Sea Coast, **Jordan ,hydrogeologic,1-25 pp .**
- Abu Ghazleh ,SH. Hartmann,J, Kempe, S.(2009), Water input requirements of the rapidly shrinking Dead Sea, **Springer, Naturwissenschaften , 96:637–643.**
- Abu Ghazleh ,SH,. Hartmann, J, Kempe, S.(2010), Rapidly Shrinking Dead Sea Urgently Needs Infusion of0.9 km³/a from Planned Red-Sea Channel: Implication for Renewable Energy and Sustainable Developmen, **Jordan Journal of Mechanical and Industrial Engineering**, Vol 4,NO1.
- Abu-Sharar, T.M. (2005), Current and future challenges of water resources management in Jordan, **Jordan Journal of Agricultural Sciences**, Volume 1, No. 1.
- AL-bilbisi,H.and .Makhamreh,Z.(2010),A comparison of Pixel – Based and Object –Based Classification Approaches in Arid and Semi- Arid Areas of Dead Sea Region Using Landsat Imagery ,**Dirasat , Human and Social Sciences ,VOL 37 ,NO.3 .**
- AL-bilbisi,H.and Tateishi,R.(2003),Using Satellite Remote Sensing Data to Detect Land Use / Cover Changes and to Monitor Land Degredation in Central Jordan. **Journal of the Japan Society of Photogrammetry and Remote Sensing**, 42(6),1 – 18 .
- AL-Eisawi.D.(1996),**Vegetation of Jordan**,UNESCO-Cairo Office.

- Alhanbali, A , Al-bilbisi,H .and kondoh,A.(2006), Monitoring the Dead Sea Area Changes Using Remote Sensing and GIS, **Journal of Japan Society of Hydrology & Water Resources** , VOL.19,NO.6,page.483-490.
- AL-Khlaifat ,A,(2008) ,Dead Sea Rate of Evaporation, **American Journal of Applied Sciences** 5 (8): 934-942.
- Alesheikh A, Ghorbanali, A. Nouri, N.(2007), Coastline change detection using remote sensing, **Int. J. Environ. Sci. Tech.** 4 (1): 61-66
- Alpert, P,and ,Shafir, H.(1997) **Recent in the Climate at the Dead Sea– A preliminary Study**, Dead Sea Works, Research Department, South Dead Sea, Israel.
- Anti,D,Shasha,S . (1989), Dead Sea Surface Level Changes, **Israel. earth sci.** 38pp.20-32 .
- Arkin, Y. Gilat, A. (2000), Dead Sea Sinkholes – an ever - Developing Hazard, **Environmental Geology** ,39,pp,711-722.
- Closson,D,Abu karaka.(2008), Human –Induced Geological Hazards a long the Dead Sea Coast ,**Environmental Geology** ,pp371-380.
- Congalon , R .G . (1991) A review of assessing the accuracy of remotely sensed data . **Remote Sensing of E nvironment** 37, 35 -46
- Curran, P.J. (1985), **Principles of Remote Sensing**, Longman, London.
- Finch, J.W. (1997),Monitoring Small Dames in Semi-Arid Regions Using Remote Sensing and GIS, **Journal of hydrology** 195. 335-351.
- Frumkin, A, Elitzur,Y.(2002), Historic Dead Sea Level Fluctuations Calibrated with Geological and Archaeological Evidence, **Quaternary Research** 57, 334–342.
- Kiro, Y. Yeshieli , Y.(2008), Time Response of The Water Table and Saltwater Transition Zone to a Base Level Drop, **water resources research** , VOL.44,w12442,doi:10.1029l2007wr006752.

- lipchin , C .(2004), A Future for the Dead Sea Basin: Water Culture among Israelis, Palestinians and Jordanians, **arava institute for environmental studies ,ketura**, Israel D.N.Hevel EILLOT 88840,Israel .
- Neev,D and Emery, K.O.(1967), **The Dead Sea** ,geological survey of Israel ball ,pp.41-147.
- Odeh .S.and Salameh ,H.(1996), Geomorphology Effect of the Dead Sea level Lowering Upon the Mujib Delta between (1953 -1993) ,**muta**, vol.(11,5.pp.157-188 .
- Qudah, O. Harahsheh, H.(1994), Recession of Dead Sea Through the Satellite Images, **Royal Jordanian Geographic Centre** ,Amman-Jordan.
- Salameh, E.and El-Naser, H. (2000),Changes in the Dead Sea Level and Their Impacts on the Surrounding Groundwater Bodies. **Acta Hydrochim. Hydrobiol.** 28, 24-33.
- Salameh, E and El-Naser, H.(2009) ,Restoring the Shrinking Dead Sea The Environmental Imperative, **Springer link journal**,pp,1-16 .
- Shalev,E.and Yechieli,Y.(2009),The Effect of Dead Sea Level Fluctuation on the Discharge of Thermal Springs . **Israel .J. earth sci.**56:pp,19-27.
- Victorov,S.(2008), Remote Sensing and GIS for Coastal Zone, **American Institute of Pliysics**, 978-0-7354-052.
- Salameh,H,(1997),Geomorphology of the Easten Coast of the Dead Sea,Jordan,**Geo Journal** 41.3:255 – 266 .
- Shalaby, A . and Tateishi , R. (2007) Remote Sensing and GIS for Mapping and Monitoring land Cover and Land – use Changes in the Northwestren Coastal Zone of Egypt . **Applied Geography** , 27 :28 -41 .

- Shirman, B., Rybakov, M(2009). Sinkholes along the Dead Sea Coast and Their Development. Coastal Zone Management. **FIG Working Week. Eilat** (3-8 May 2009).
- Singh, A. (1989), Digital Change Detection Techniques Using Remotely Sensed Data. **Int. J. of Remote Sensing**, Vol. 10(6): 989-1003.
- Sabins , F. (1997) , **Remote Sensing Principles and Interpretation** . New York : Freeman publications .
- Lillesand , T.M.,Kiefer, R.W,and Chipmanm,W. (2004) , **Remote Sensing and image interpretation** .(5th ed), New York: John Willey and sons .
- Rababa 'a,M and AL-Bakri , J.(2006) , Mapping land cover in the Dead Sea Baisn From Landsat Imagery, **Dirasat,Agriculture Sciences**,vol 33,NO 2.
- **Rybacov,M.**, Rotsten, Y., Shirman, B., Al-Zoubi, A. (2005). Cave detection near the Dead Sea- a micromagnetic. The Leader Edge. 7p
- Jackson.T.Cosh .M .(2003) ,Smex02 Iowa Satellite Vegetation and and Water I NDEX (NDVI and NDWI) Data . Boulder,CO:**National Snow and Ice Data Center** .Digital Media.
- Joint Synthesis Report.(2002),A Future for the Dead Sea Basin: Options for a More Sustainable Water Management ,**INCO International Scientific Cooperation**
- GAO,B.C.(1996),(**NDWI- a normalized difference water index for remote sensing of vegetation liquid water from space** .remote sensing of environment ,**58,pp.257-266.**

- - Luay , S. (2006), **Assessment of Land use / cover Changes in the Zarqa Baisn using Remote Sensing and Markov Model** , University of Jordan ,Amman .
- Xu, Hanqiu.(2005), A study on Information of Water Body with the Modified Normalised Difference Water Index (MNDWI). **Journal remote sensing** .
- Xu, Hanqiu.(2006),Modification of Normalised Difference Water Index (MNDWI) to Enhance Open Water Features in Remotely Sensed Imagery , **International Journal of Remote Sensing** ,vol,27,IS 14. P3025 – 3033 .
- Yuan, F. (2008), Land – Cover Change and Environmental Impact Analysis in the Greater Mankato area of Minnesota using remote sensing and GIS modeling . **International Journal of Remote Sensing** ,29(4),1169- 1184.
- Yechieli ,Y.(2006), Response of The Groundwater System to Changes in the Dead Sea level, **Geological Society of America Special Papers**, 401, p. 113-126.

روابط الكترونية مهمة :

[http : //www.foeme.org/projects.php?ind=21](http://www.foeme.org/projects.php?ind=21)

<http://www.deadseaproject.org> .

[http : //www.earthexplorer.usgs.org](http://www.earthexplorer.usgs.org) .

[http://www.googleearth .com](http://www.googleearth.com) .

<http://www.sterGdem.com>

Monitoring and Analyzing Environmental Changes of the Dead Sea using GIS and Remote Sensing (RS)

By

Haifa Ahmmad AL- Mohammad

Supervisor

D. Hussam H. Al-bilbisi

Co- Supervisor

Prof. D .Hasan Y. Abu Sammour

Abstract

The aims of this study were to develop a method to calculate the changes in the area of the Dead Sea as well as monitoring and analyzing the changes in the area of the Dead Sea and the surrounding area which have been occurred in the

period between 1987– 2009 by using remote sensing (RS) and GIS techniques.

For this purpose four Landsat TM images acquired in 1987, 1996, 2003 and 2009 were used .However, four approaches were applied Normally : geographic information systems(GIS) ,unsupervised classification, MNDWI index and NDWI index approach .

Supervised classification was used to detect the changes in the land cover patterns for the basin of the Dead Sea during the period 1987 and 2009.

The results, also indicated a significant land cover changes the in classes in the study area where Dead sea had an area of (670km²) in 1987 decreased to (630km²) in 2009, which indicate a decreament by 2.02% , the agriculture land also decreased by 2.04% where ,it

On the other hand , the urban class were increased for the same period by (1.2 %) .

The shrinkage of the Dead sea and the land cover changes which have occurred have a negative changes and more pressure at the environmental of study area such as , appearance of sinkholes, deterioration of ecology , dryness of same springs and many of the environmental impact .

